



Optimización dinámica de procesos

Prof. Cesar de Prada

Dpt. Ingeniería de Sistemas y
Automática

Universidad de Valladolid



Indice



- ✓ Industria de procesos
- ✓ Optimización de procesos
- ✓ Optimización dinámica
- ✓ Como resolver estos problemas
- ✓ Como aplicar las soluciones
- ✓ Ejemplo: Papelera
- ✓ Problemas abiertos

Conclusión:

Aunque hay muchos problemas abiertos, los últimos avances hacen de la optimización una tecnología que puede usarse para la operación óptima de procesos



Industria de procesos

Mas tecnología

Procesos mas complejos

Menos personal

Mas normas y especificaciones

Situaciones cambiantes

Mas datos que nunca

Mas competencia





Pirámide del control

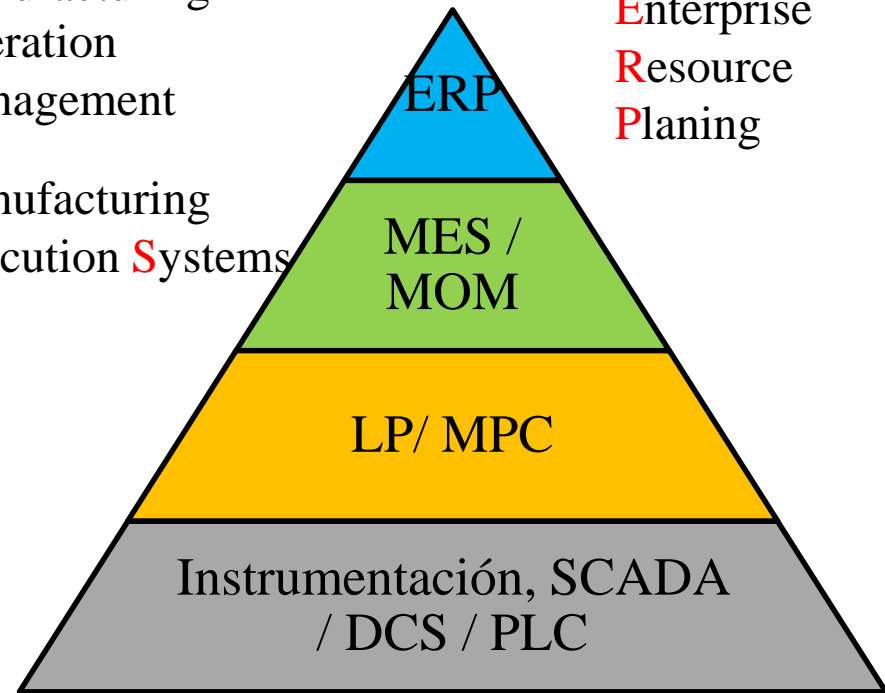


Capas funcionales
Punto de vista academico

Manufacturing
Operation
Management

Manufacturing
Execution Systems

Decisiones
complejas
organizadas en
diferentes niveles



Enterprise
Resource
Planing

Software / Hardware
Punto de vista industrial



Los sistemas ERP manejan la planificación de la producción, logística, suministros de materiales y recursos, contabilidad,, etc.

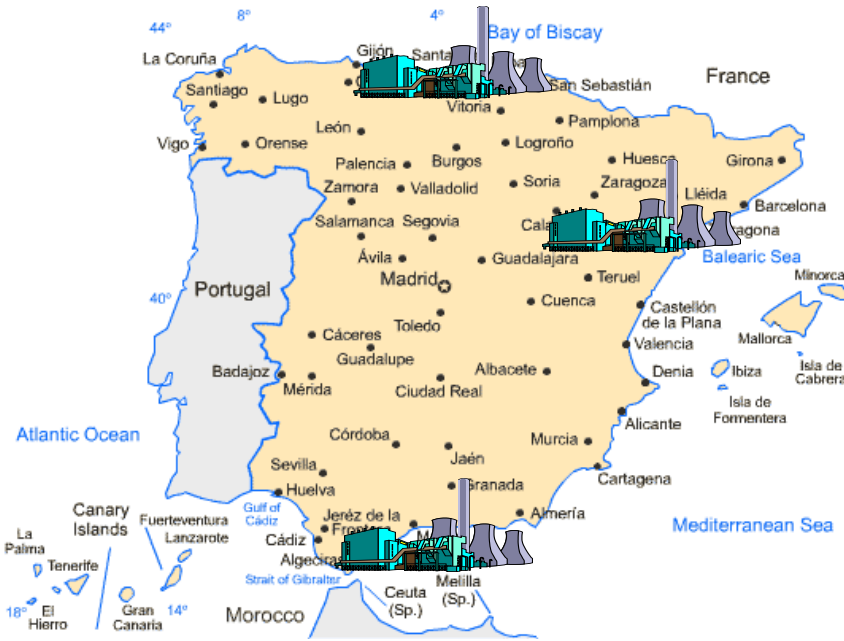
ERP



Planificación de la empresa

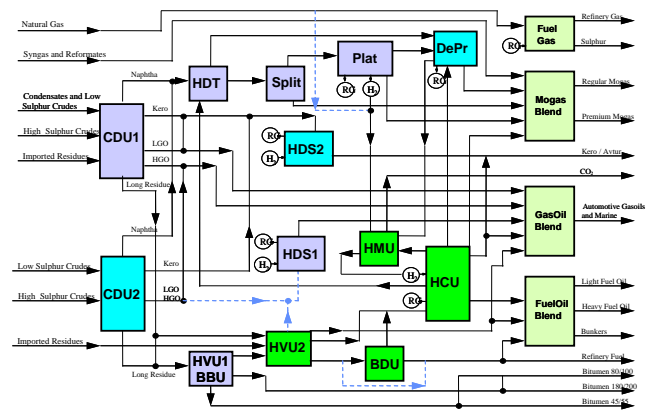
Planificación de la factoría

Refinamiento a corto plazo



Objetivos de producción a corto plazo para las plantas calculados con modelos sencillos (LP)

El mantenimiento de los modelos es difícil y requiere información adecuada y herramientas





Transporte óptimo



Distintos puntos de inyección de gas

Varios consumidores que deben recibir cantidades determinadas en ciertos plazos

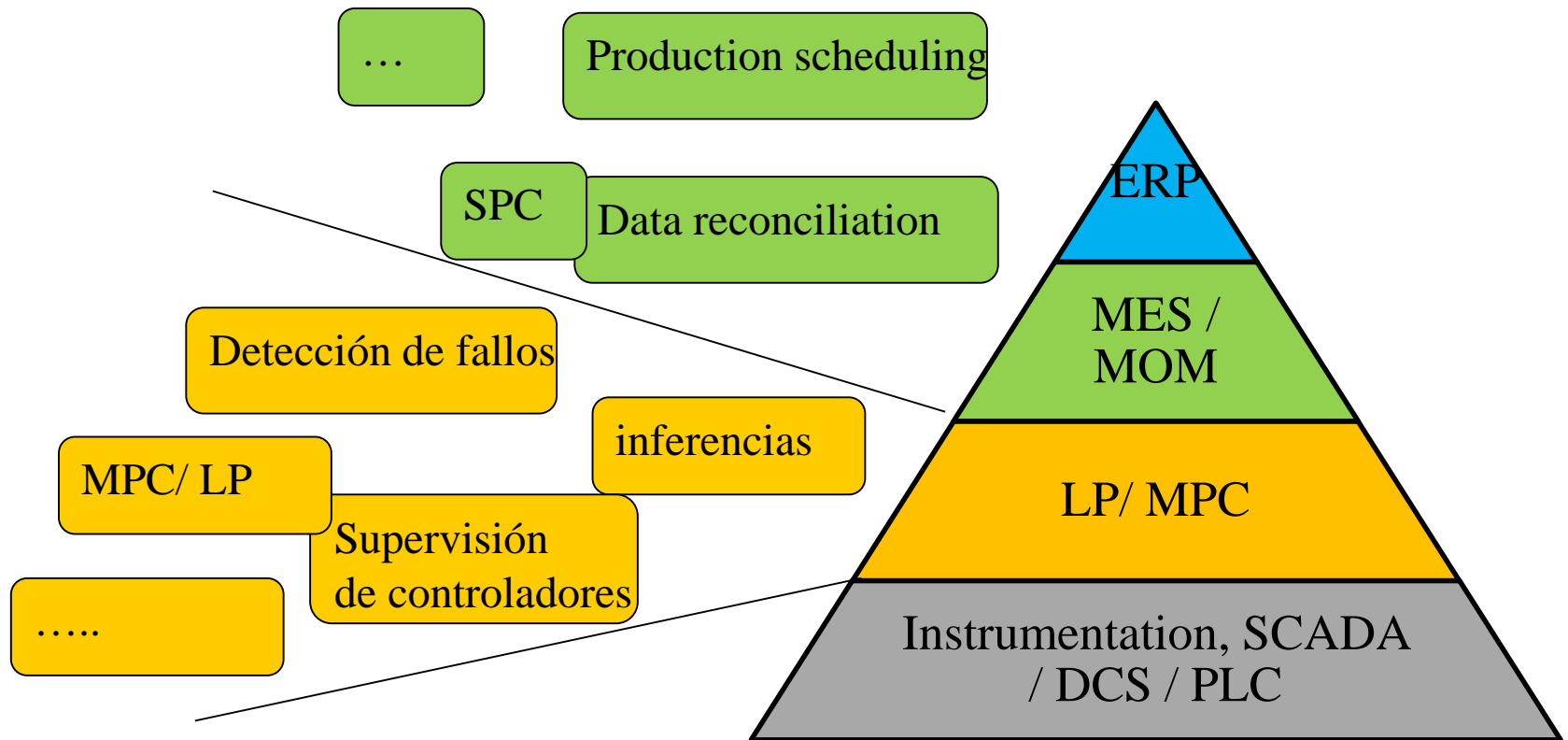
Decidir sobre donde y cuanto gas inyectar y el funcionamiento de los compresores para minimizar el costo de transporte satisfaciendo la demanda de los consumidores y las restricciones técnicas de transporte

Problema de gran dimensión
Modelado adaptado al problema
Compromiso sencillez / representación de la realidad

La base de la optimización es el modelado



Funcionalidades

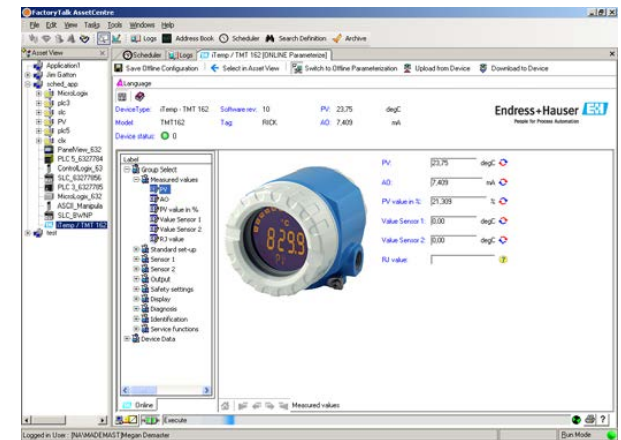
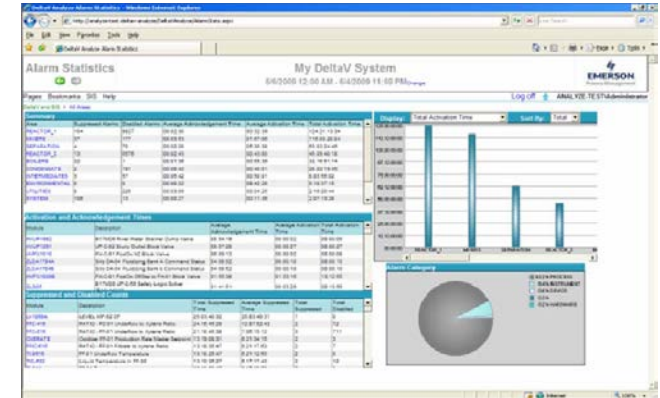
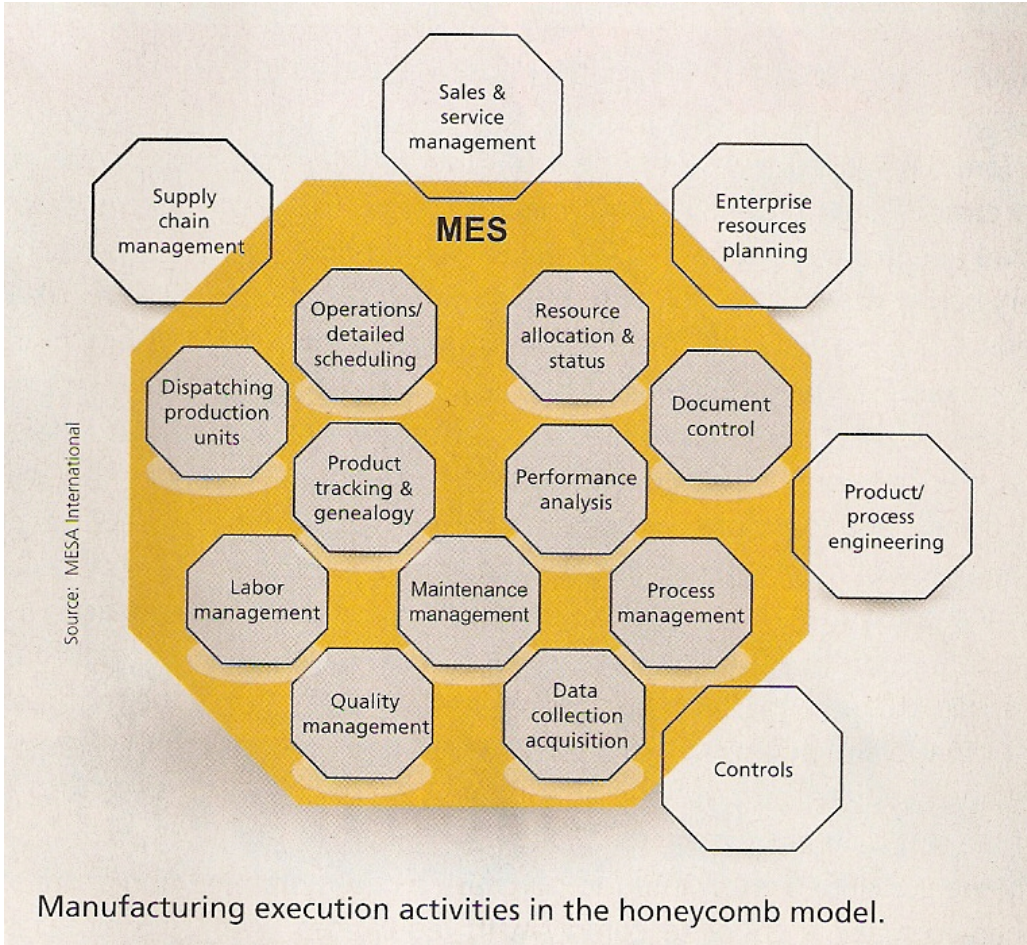




MES



Gestión estadística de alarmas

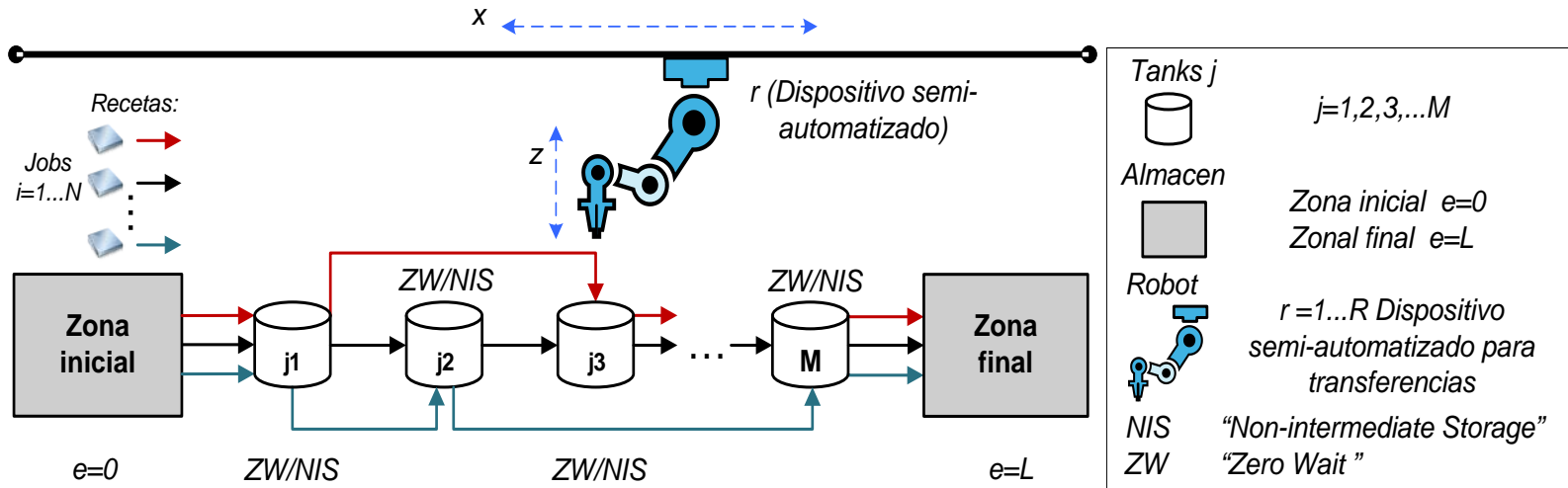


El elemento clave son los sistemas integrados de información

Sistemas de gestión de activos

Secuenciamiento

Lógica asociada



Distintos tratamientos de distintas piezas que deben efectuarse siguiendo una secuencia determinada con ciertos tiempos de operación en cada nodo.

¿Como organizar el secuenciamiento de modo que se minimice el tiempo total de proceso y todas las piezas reciban el tratamiento adecuado, compatible con la operación del robot?





Ejemplo: Operación óptima

¿Que punto de operación maximiza el beneficio?

$$J = q c_B p_1 - q c_{A_i} p_2 - F_r p_3$$

$$0 = q(c_{A_i} - c_A) - V\beta e^{-E/RT} c_A$$

$$0 = q\rho c_p (T_i - T) + Vkc_A H - UA(T - T_r)$$

$$0 = F_r \rho_r c_{pr} (T_{ri} - T_r) + UA(T - T_r)$$

$$c_B = c_{A_i} - c_A$$

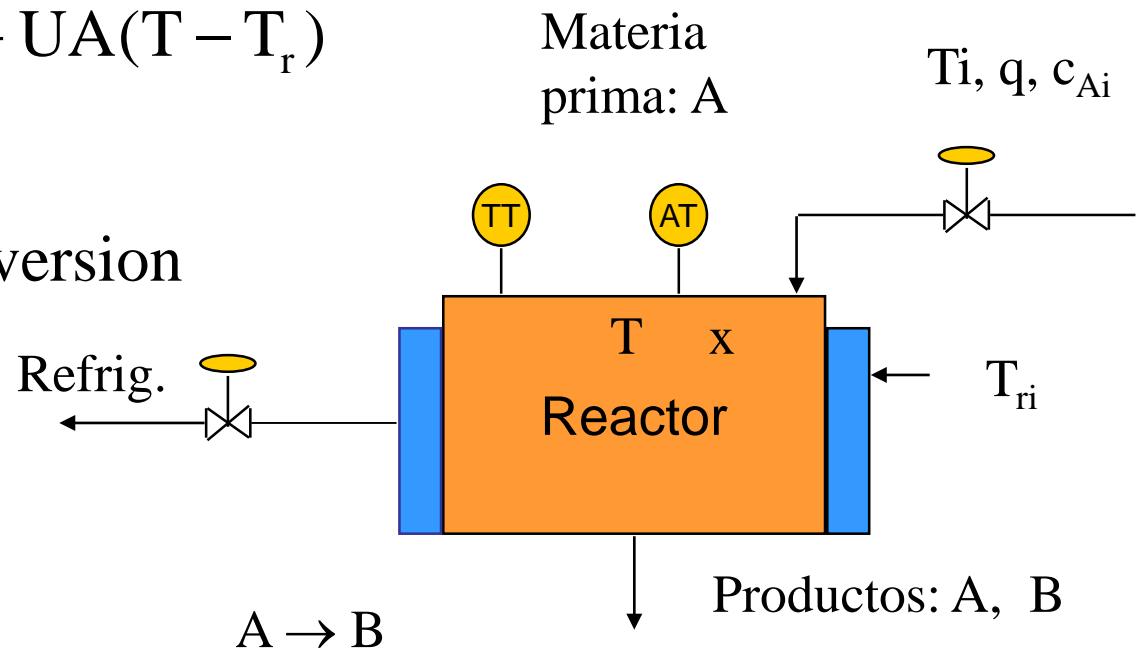
$$x = c_B / c_{A_i} \quad x \text{ conversion}$$

$$T_{\min} \leq T \leq T_{\max}$$

$$x_{\min} \leq x \leq 1$$

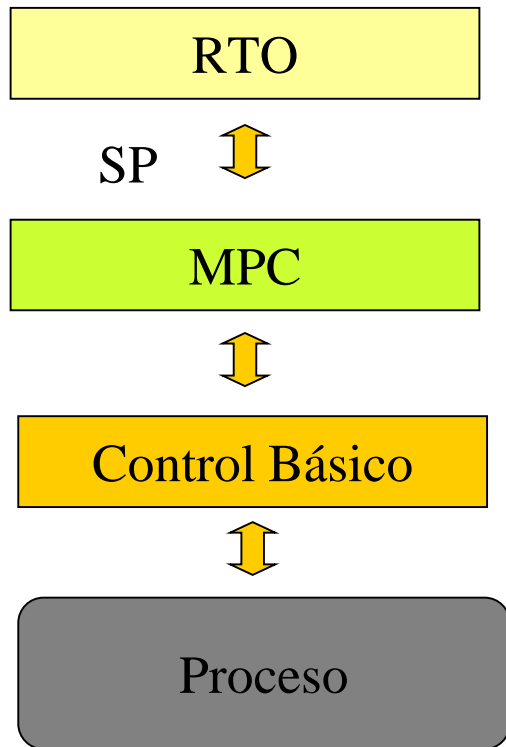
$$q_{\min} \leq q \leq q_{\max}$$

$$F_{r \min} \leq F_r \leq F_{r \max}$$



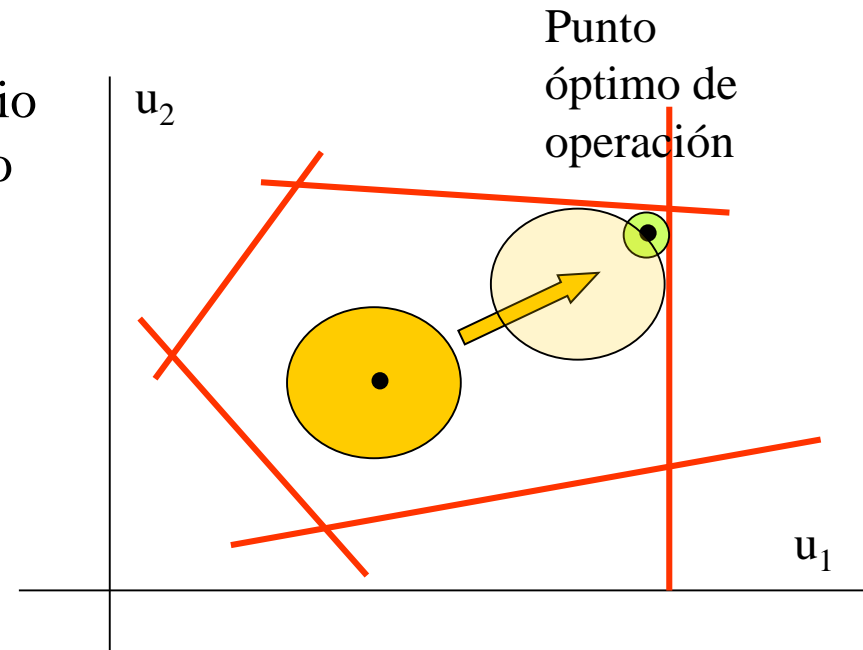


Real Time Optimization (RTO)



Problema estacionario económico

Problema dinámico

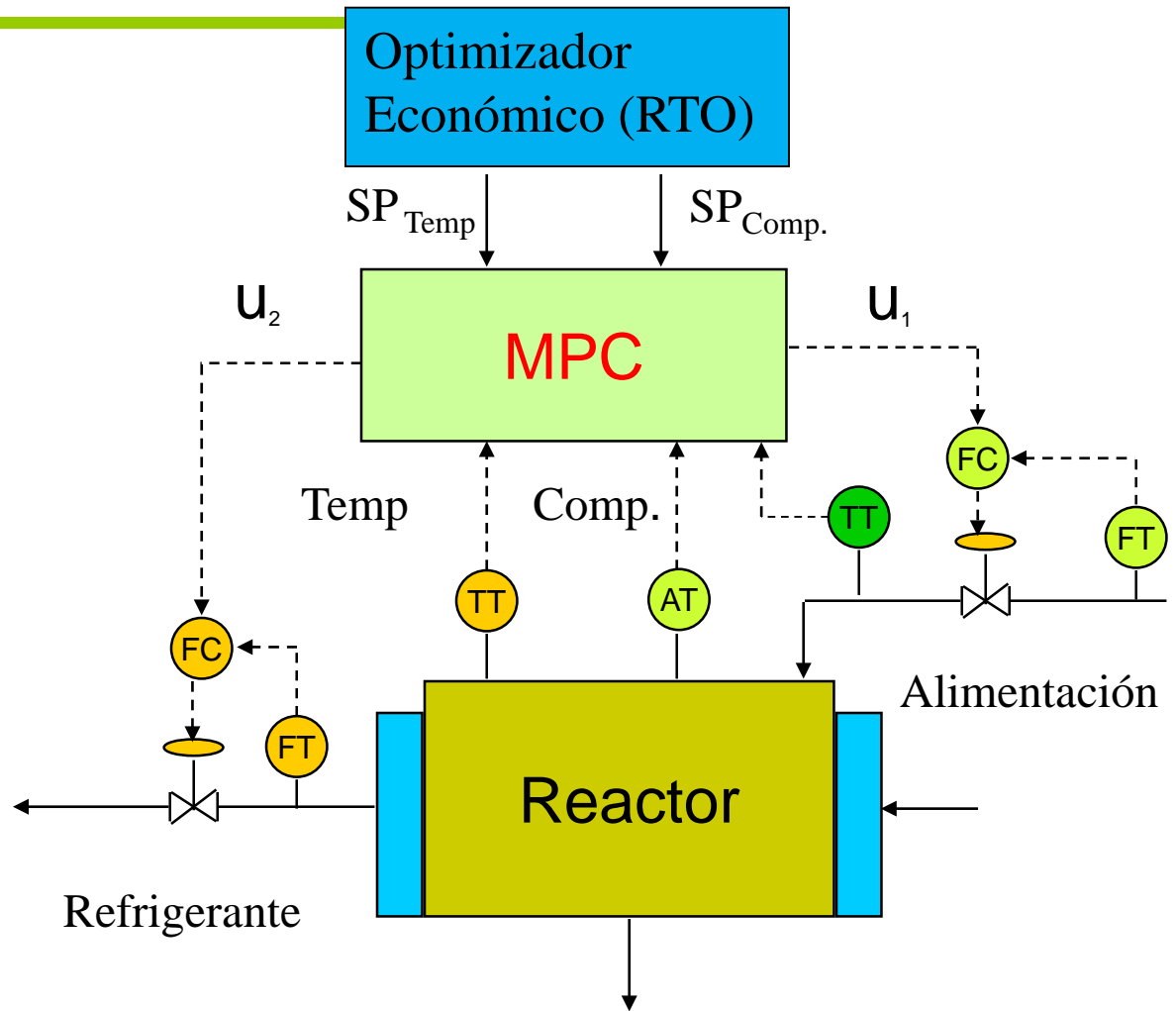


RTO: Modelos del proceso y especificaciones + software de optimización + implementación



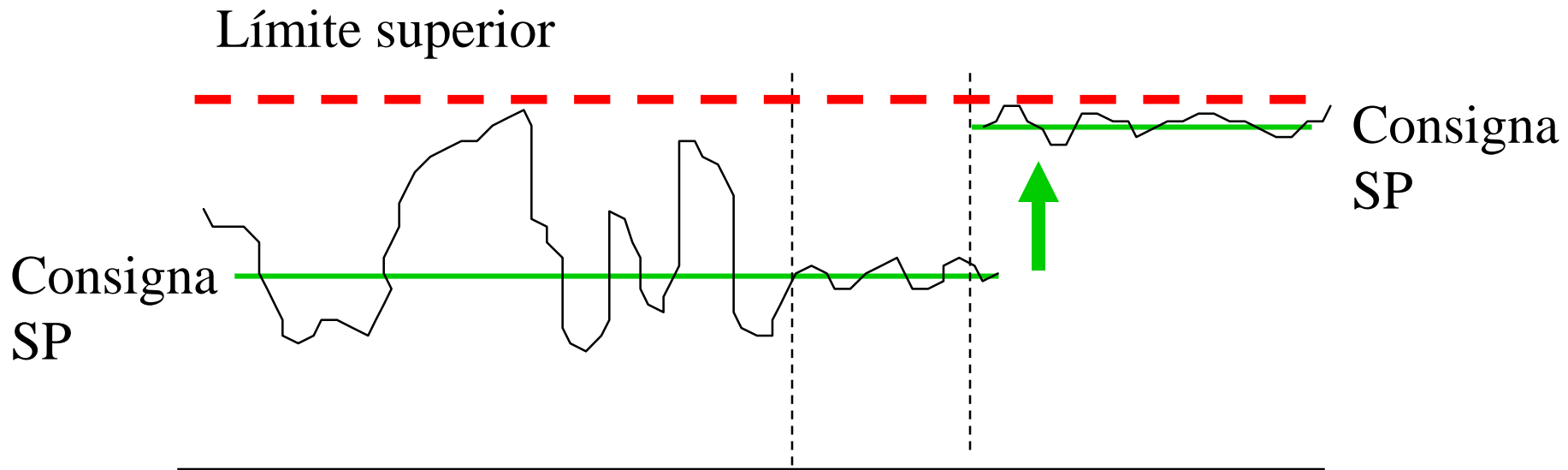
Operación óptima (económica)

Los cálculos del nivel RTO deben implementarse mediante la capa de control





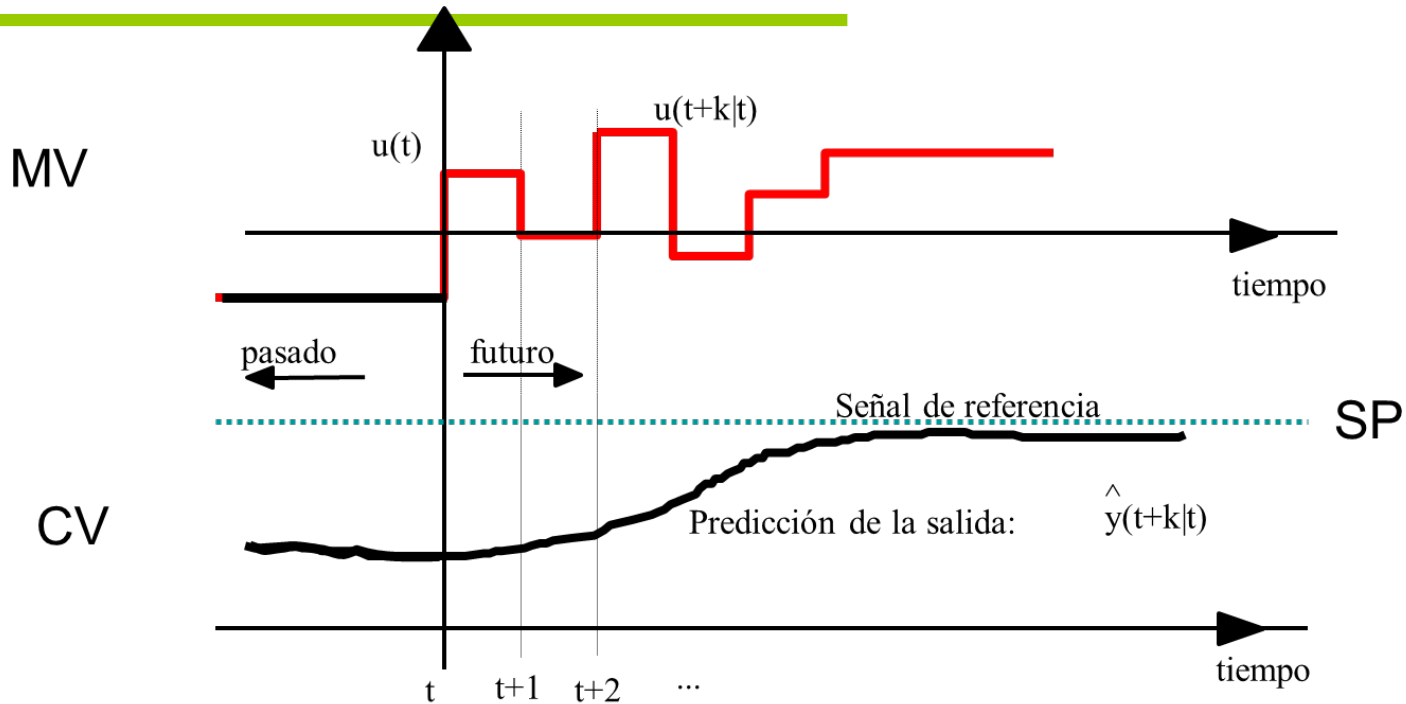
Optimización económica y control



- Mejor control implica menor variabilidad en torno al valor de consigna
➡ mejor calidad
- La reducción de varianza permite mover la consigna a otro punto de operación respetando las restricciones y creando espacio para la optimización



Control Predictivo (MPC)



$$\min_{u(t), u(t+1), \dots} J = \sum_{j=N1}^{N2} [\hat{y}(t+j) - w(t+j)]^2 + \sum_{j=0}^{Nu-1} [\beta \Delta u(t+j)]^2$$

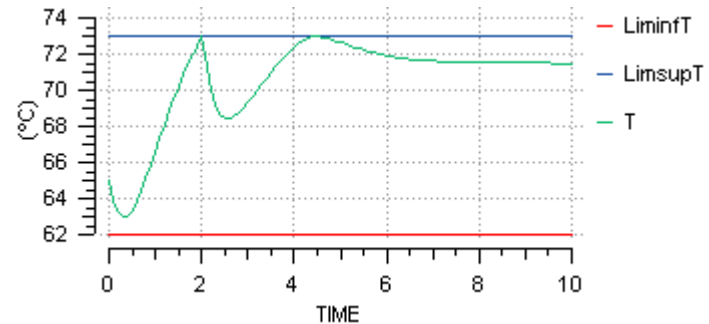
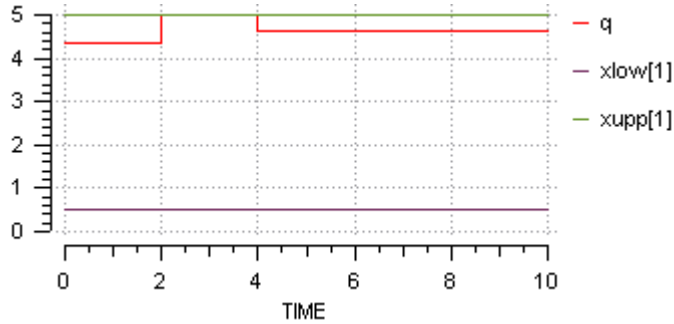
Modelo
lineal:
QP

Sujeto al modelo dinámico del proceso

Cumpliendo unas restricciones sobre las MV y CV (OP/PV)



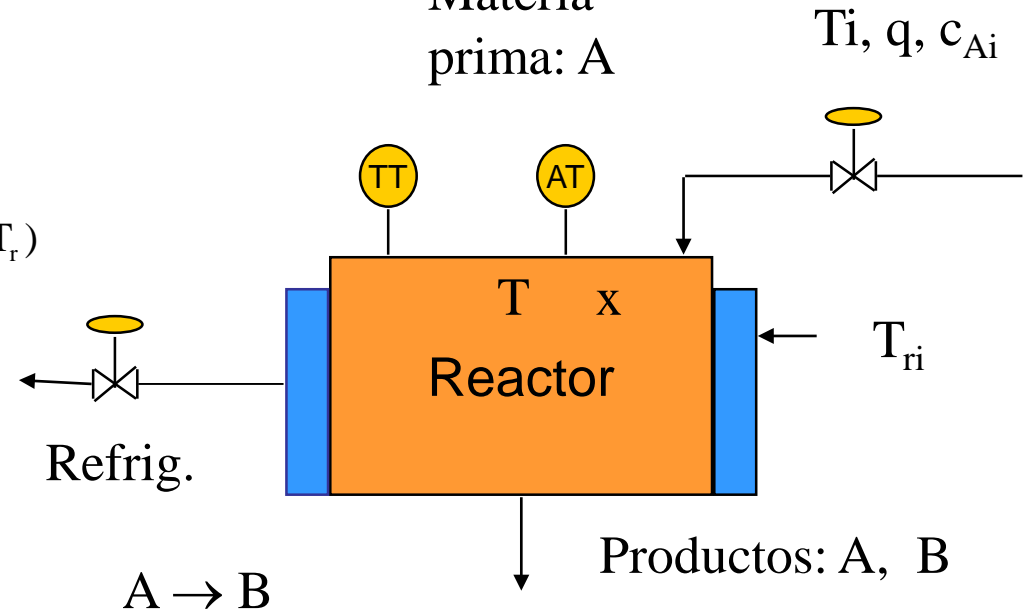
NMPC



$$V\rho c_p \frac{dT}{dt} = q\rho c_p (T_i - T) + Vkc_A H - UA(T - T_r)$$

$$V_r \rho_r c_{pr} \frac{dT_r}{dt} = F_r \rho_r c_{pr} (T_{ri} - T_r) + UA(T - T_r)$$

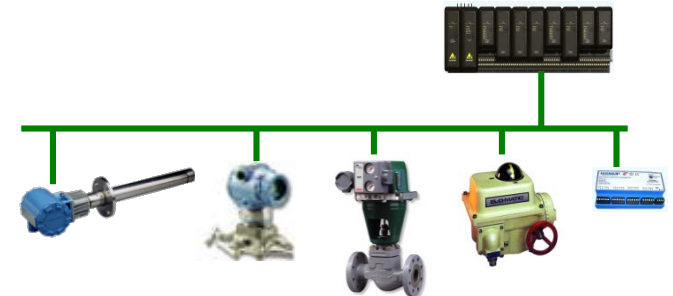
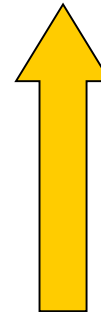
$$V \frac{dc_A}{dt} = q(c_{Ai} - c_A) - V\beta e^{-\frac{E}{RT}} c_A$$





Operación y Control de procesos

- ✓ La operación/ coordinación se hace a menudo manualmente desde la sala de control
- ✓ Tendencia: Del seguimiento de consignas y el rechazo de perturbaciones a operar una planta dinámicamente con un objetivo económico
- ✓ Operación óptima de procesos
- ✓ El desarrollo de este tipo de sistemas es complejo y a veces específico, pero hay herramientas y desarrollos que lo empiezan a hacer posible





Optimización de planta completa



Recursos compartidos /
Gestión de vapor, agua,...

Cuellos de botella

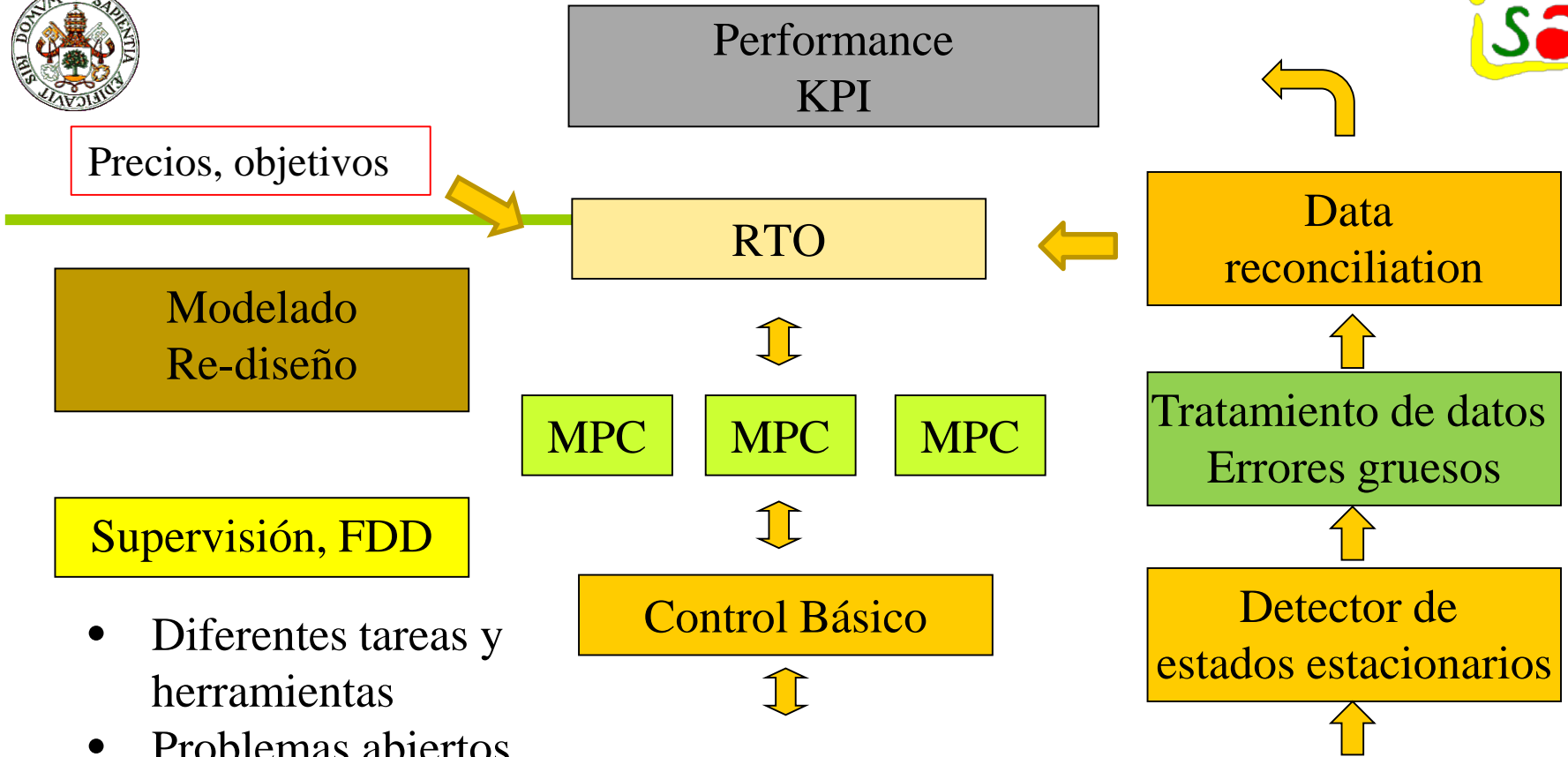
Ahorro energético

Transiciones suaves / rápidas

Scheduling de la producción

- ✓ Hay un gran potencial en la operación óptima (económica) de los procesos.
- ✓ Requiere una integración entre el análisis de la operación de los procesos, la toma de decisiones y su implementación.
- ✓ Los modelos (e incertidumbres) juegan un papel fundamental
- ✓ Control avanzado (MPC) y RTO son las herramientas clave
- ✓ Campo abierto para la cooperación industria-academia
- ✓ La aceptación industrial suele estar ligada a la existencia de referencias previas y a las expectativas de beneficio.





Supervisión, FDD

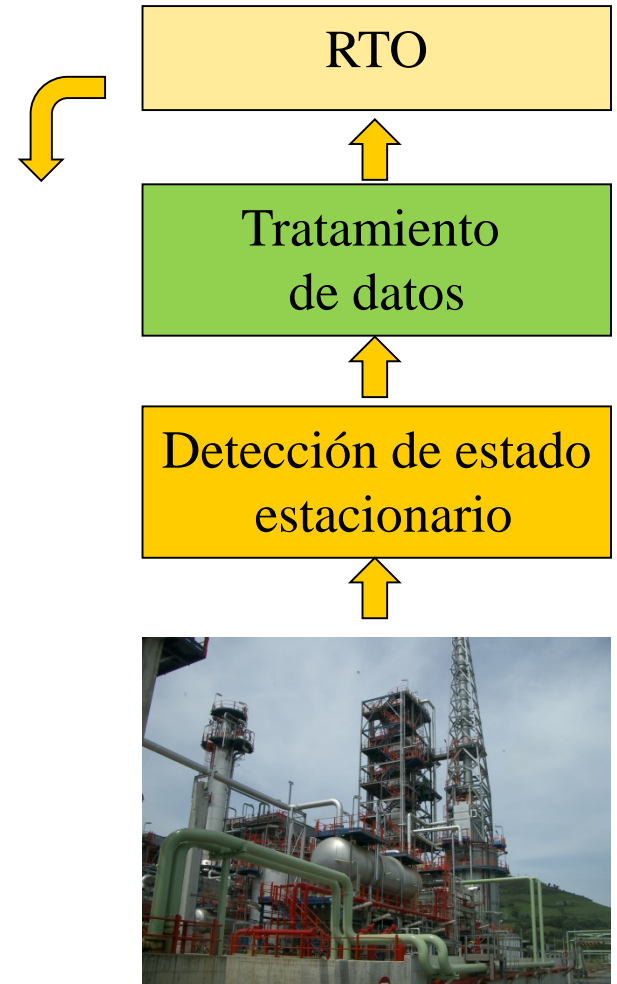
- Diferentes tareas y herramientas
- Problemas abiertos
- Entornos de diseño integrado
- Mantenimiento: Integración con el nivel MES
- Educación y entrenamiento





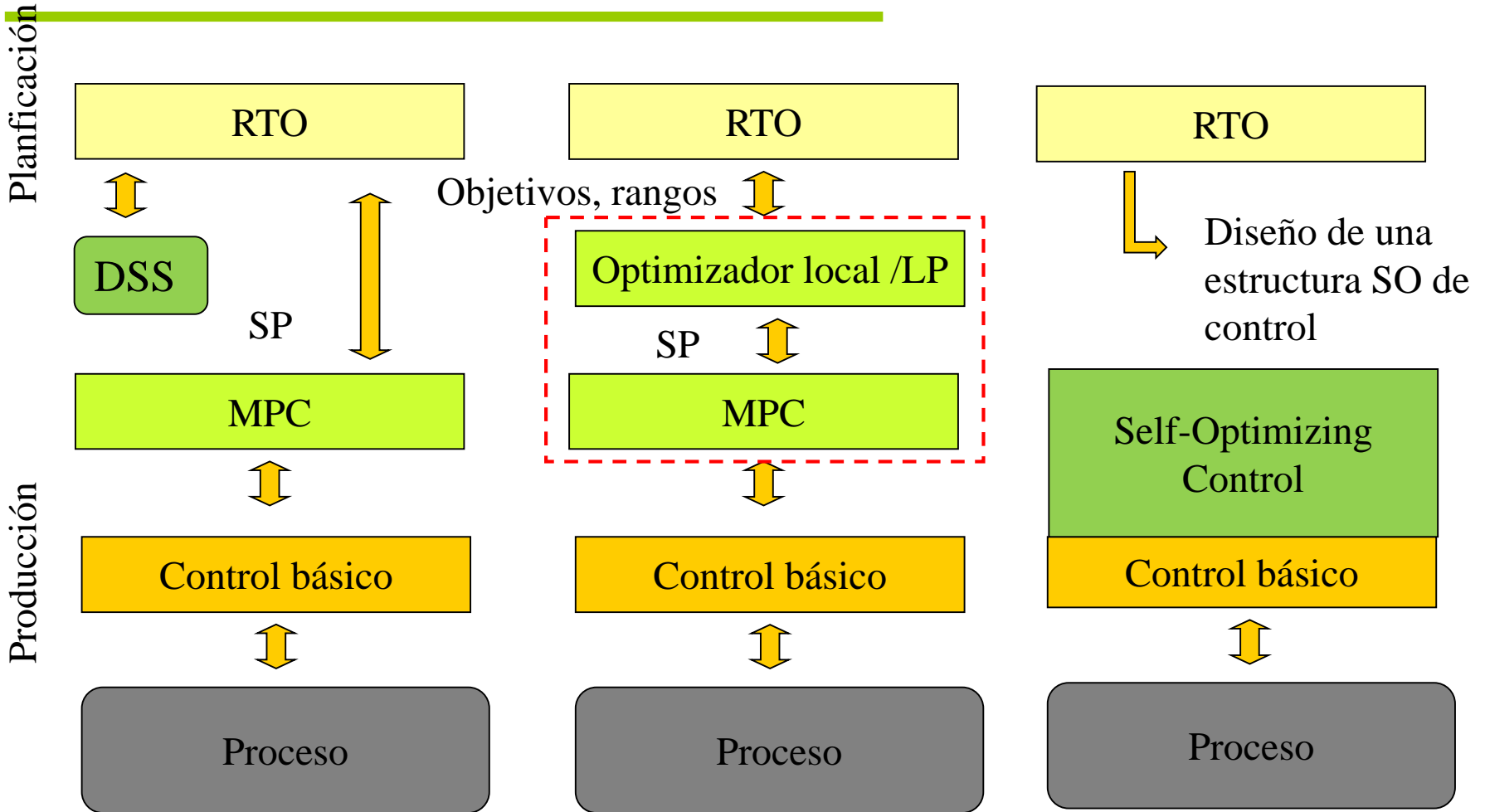
Implementación

- ✓ Una implementación exitosa puede no ser sencilla y requiere conocimiento y experiencia
- ✓ El mantenimiento es el factor mas importante: Organización interna, integración con MES/ERP, tratamiento de datos, herramientas para supervisión y diagnóstico de MPC y RTO.
- ✓ Pocas herramientas para estimar ganancias y mejoras, KPI, así como entornos de diseño y generación de aplicaciones
- ✓ Falta de personal con buena formación (teoría + proceso), tanto en usuarios finales, como en suministradores, ingenierías y el mundo académico





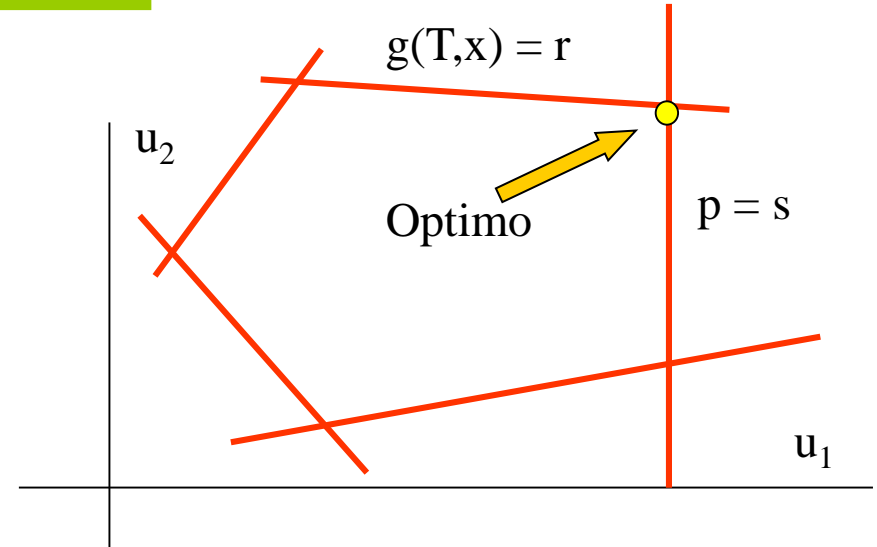
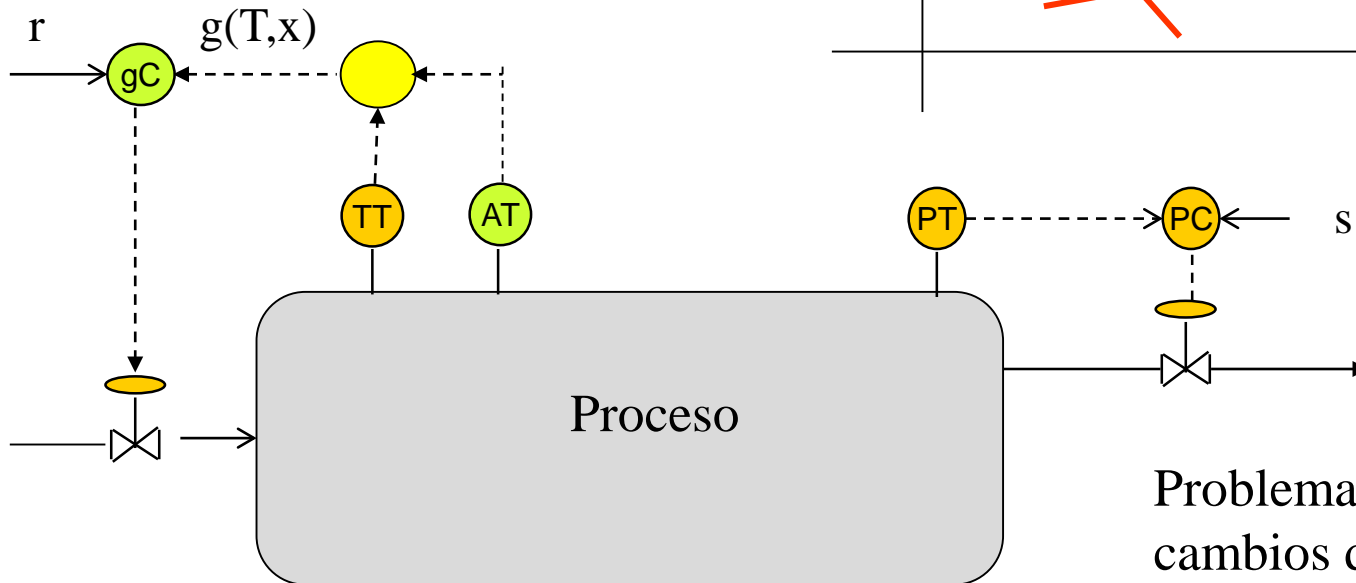
Implementación de RTO





Self-Optimizing Control SOC

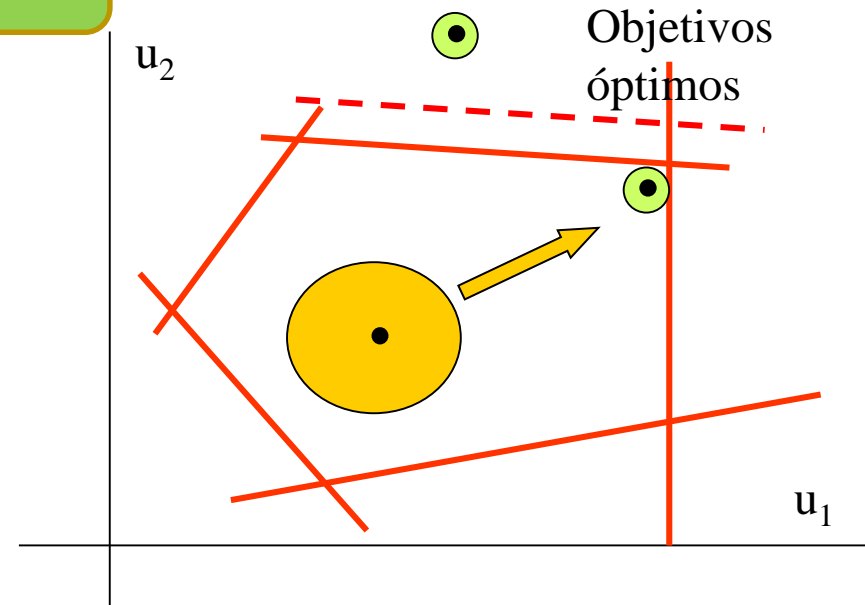
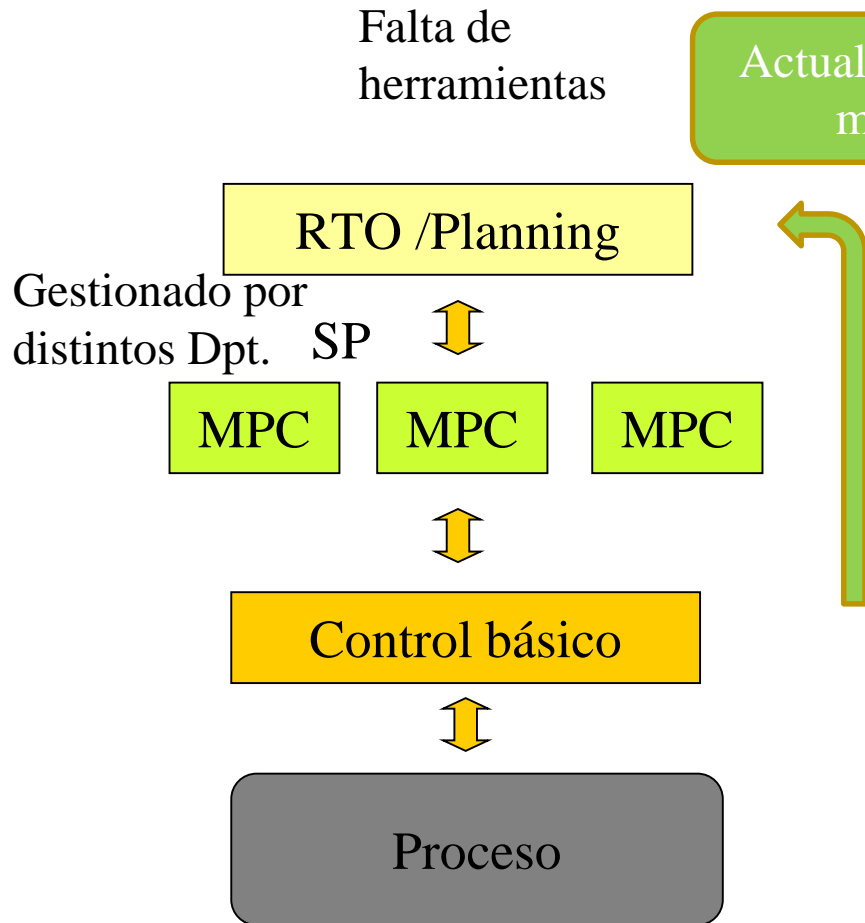
La estructura de control implementa la solución de la optimización



Problema con los cambios de restricciones activas 21



Inconsistencias entre capas



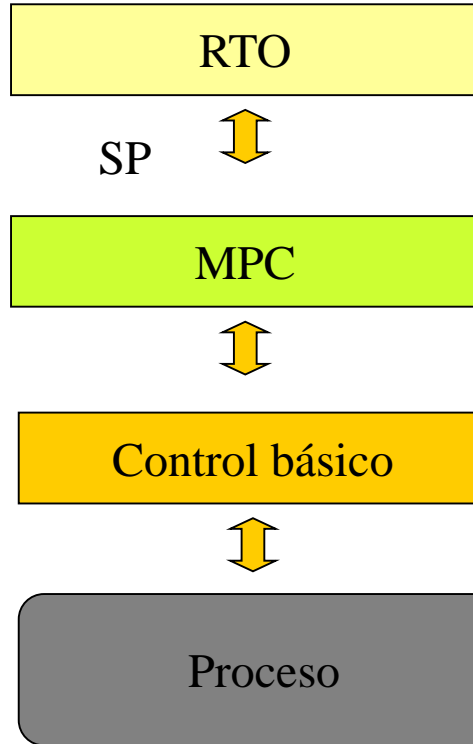
Diferentes modelos y restricciones en diferentes capas pueden generar objetivos a seguir equivocados o infactibles para la capa MPC



Operación dinámica de procesos óptima (económica)



NMPC
económico



Estático

SP

MPC

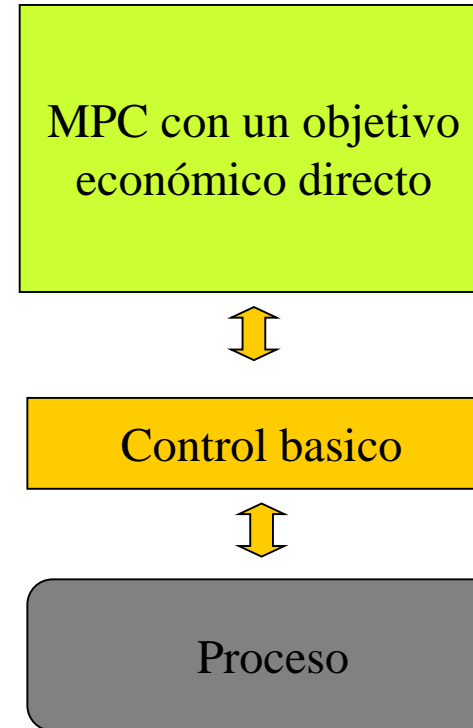
Control básico

Proceso

$$\min_{SP} J(x, SP) \quad \min_u J = \int_0^T (x - SP)^2 dt$$

$$f(x, SP) = 0 \quad F(\dot{x}, x, u) = 0$$

$$g(x, SP) \leq 0 \quad g(x, u) \leq 0$$



Dinámico

$$\min_u J = \int_0^T L(x, u) dt$$

$$F(\dot{x}, x, u) = 0$$

$$g(x, u) \leq 0$$

Función
de costo
económica



Sin estado estacionario

$$\min_{u(t)} J = -P(t_f)$$

s. t.:

$$\dot{X} = \mu X - \sigma X$$

$$X(0) = X_0$$

$$\dot{S} = -\frac{\mu X}{Y_x} + \frac{\sigma X}{Y_s} + qS_{in}$$

$$S(0) = S_0$$

$$\dot{P} = vX$$

$$P(0) = P_0$$

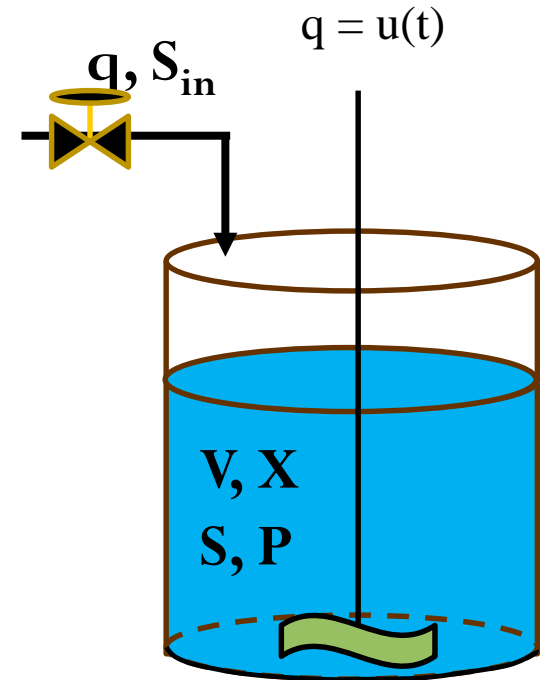
$$\dot{V} = q$$

$$V(0) = V_0$$

$$\mu = \frac{\mu_m S}{K_m + S + \frac{S^2}{K_i}}$$

$$v = \frac{v_m S}{K_o + S}$$

¿Como alimentar el reactor respetando restricciones y maximizando P en t_f ?



$$u(t) \in U$$

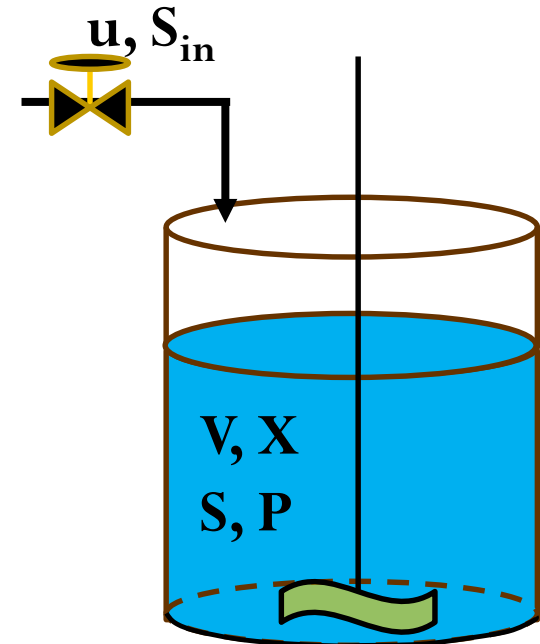
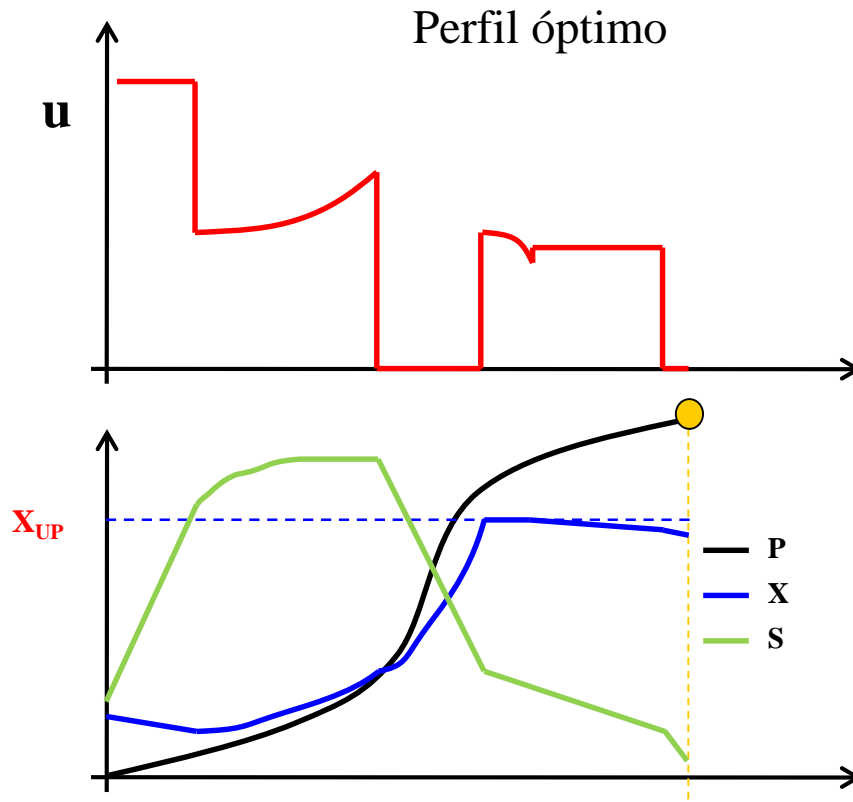
$$X(t) \leq X^{UP}$$

Restricción de camino



Soluciones no triviales

$$u(t) \in U$$



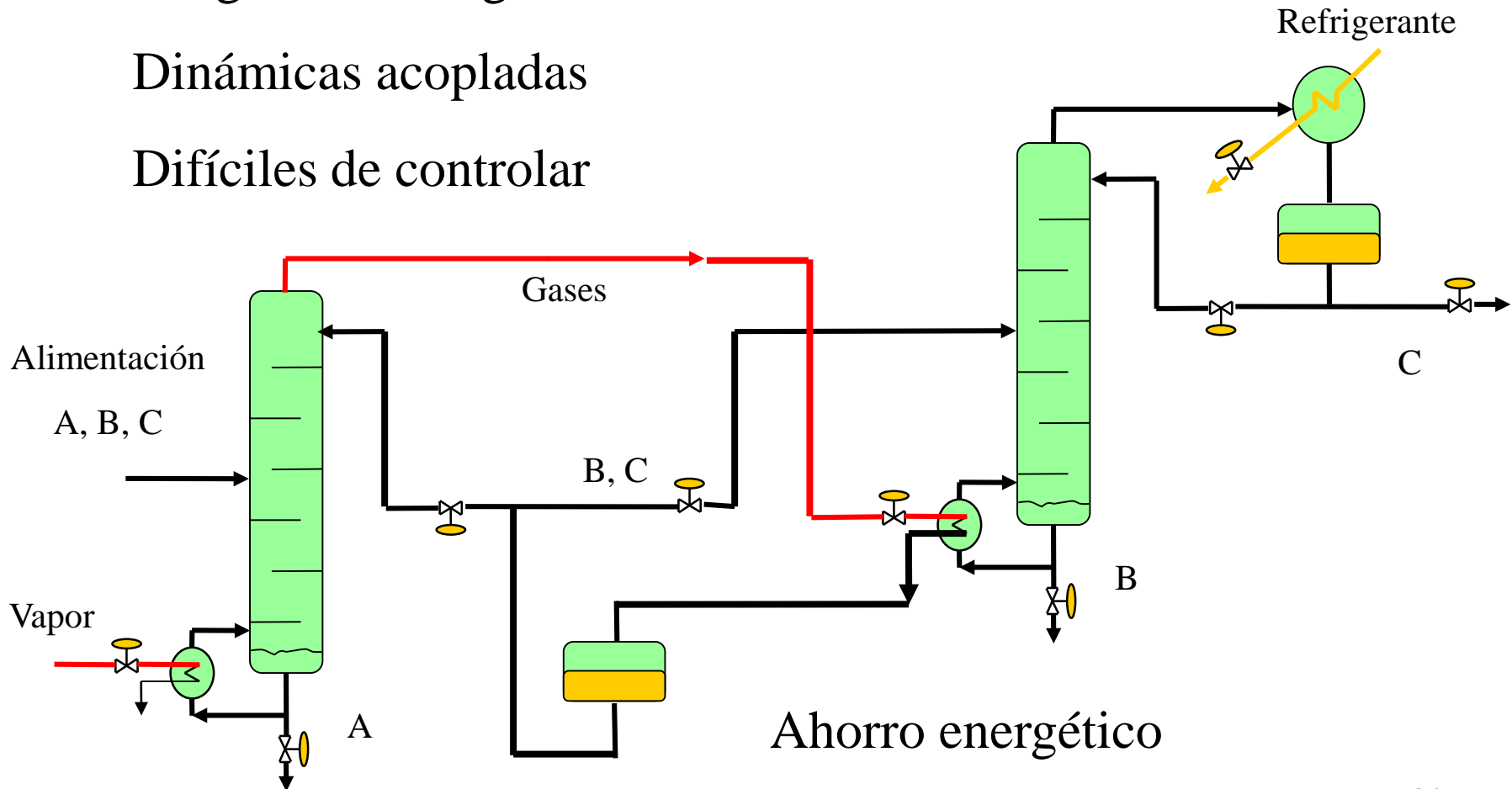


Procesos integrados

Integración energética

Dinámicas acopladas

Difíciles de controlar





Optimización dinámica (DO)

$$\min_{u(t), x_0, t_f} J(\mathbf{u}) = \int_{t_0}^{t_f} L(\mathbf{x}, \mathbf{u}) dt$$

$$\frac{d\mathbf{x}}{dt} = \mathbf{f}(\mathbf{x}, \mathbf{u}, \mathbf{z}), \quad \mathbf{x}(t_0) = \mathbf{x}_0$$

$$\mathbf{h}(\mathbf{x}, \mathbf{u}, \mathbf{z}) = \mathbf{0}$$

$$\mathbf{g}(\mathbf{x}, \mathbf{u}, \mathbf{z}) \leq \mathbf{0}$$

Son problemas mas intensivos en cálculo que los NLP

DAE

✓ Muchos tipos:

- ✓ Problemas de valor inicial
- ✓ Problemas TPBV
- ✓ Problemas de tiempo mínimo
- ✓ DAE u ODE
- ✓ Híbridos
- ✓ Coste algebraico o integral
- ✓

Dynamic Optimization (DO)

Algunas de las restricciones son ecuaciones diferenciales

Las decisiones se toman a lo largo del tiempo



Optimización dinámica

$$\min_u J(u) = \int_0^T L(x, u) dt$$

Función de coste J

x estados

$$F(\dot{x}, x, u) = 0$$

Modelo DAE

u variables

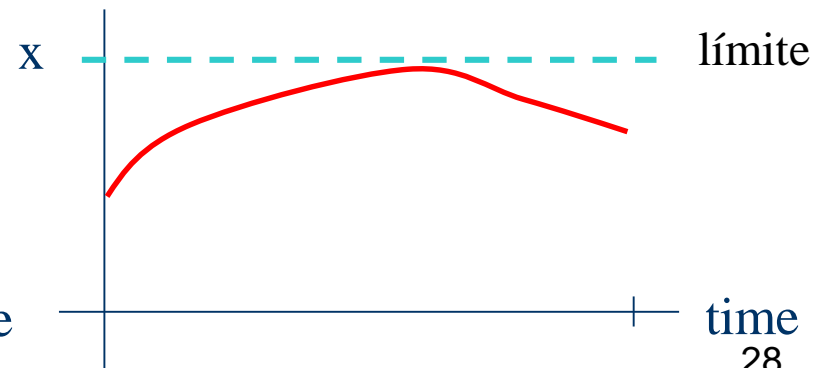
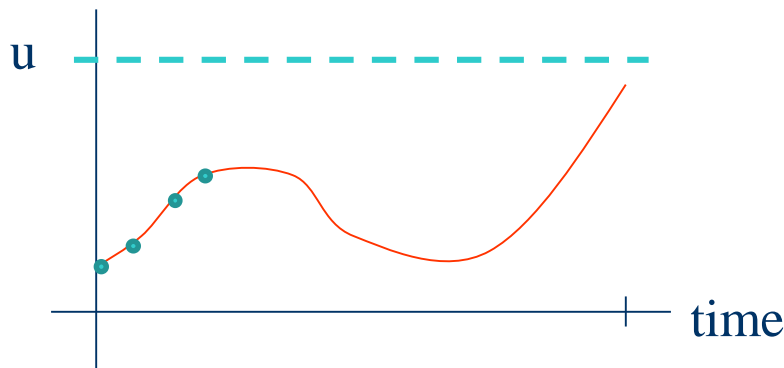
$$g(x, u) \leq 0$$

Restricciones

de decisión

u puede ser un conjunto de parámetros o un conjunto de variables que evolucionan a lo largo del tiempo

Dos problemas: Número infinito de variables de decisión y de restricciones





Métodos de solución

$$\min_u J(u) = \int_0^T L(x, u) dt$$

$$F(\dot{x}, x, u) = 0$$

$$g(x, u) \leq 0$$

Función de coste J

x estados

Modelo DAE

u variables

Restricciones

de decisión

Métodos indirectos

Se calculan las condiciones necesarias de optimalidad mediante cálculo de variaciones



Problema de contorno en dos puntos

Métodos Directos

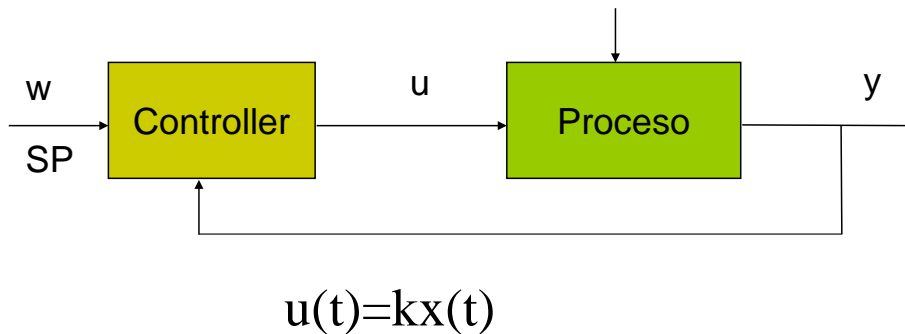
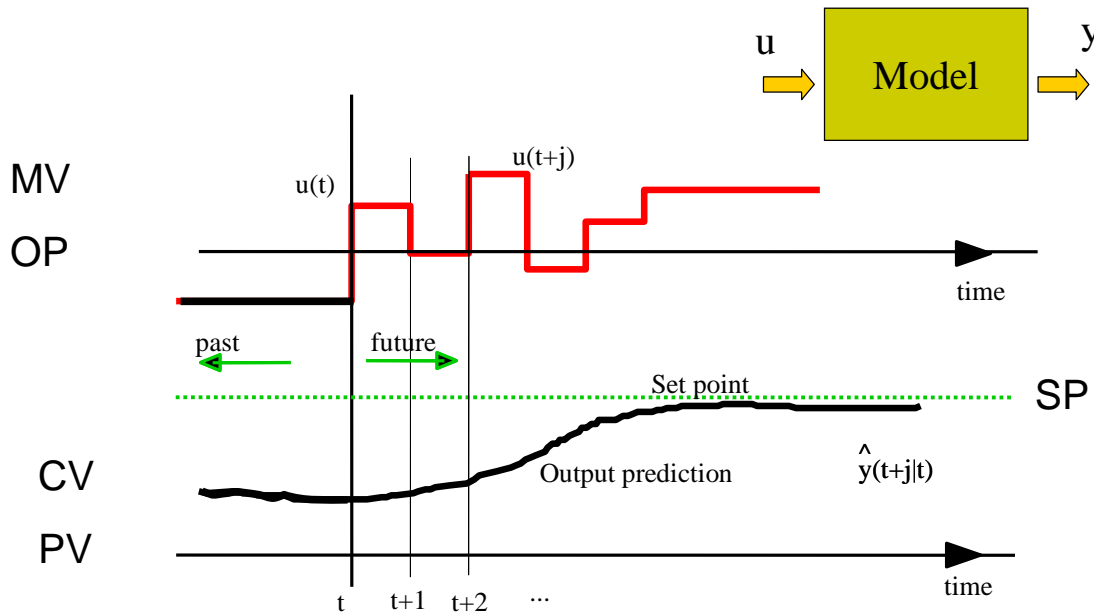
Se aproxima la solución mediante discretización de las variables dependientes del tiempo



Programación no-lineal NLP



MPC / Control óptimo



MPC **NO** es control óptimo

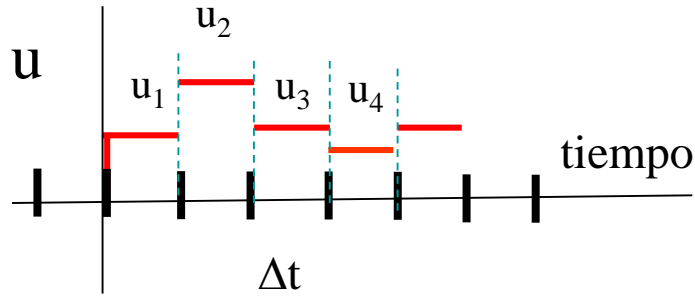
MPC: Se resuelve un problema de optimización en lazo abierto cada periodo de muestreo partiendo del estado actual

$u(t)$, $u(t+1)$, $u(t+2)$ se consideran variables independientes en el problema de optimización

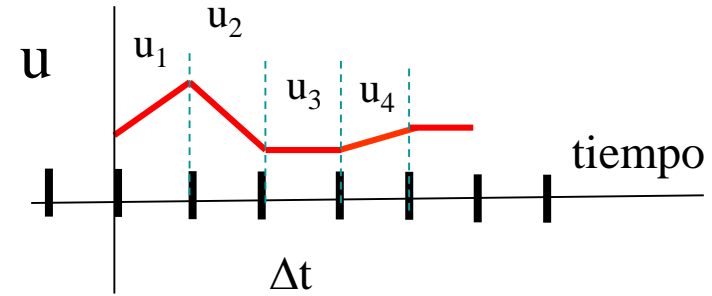
En control óptimo, las $u(t+j)$ no son independientes y el objetivo es el cálculo de la ley de control (k)



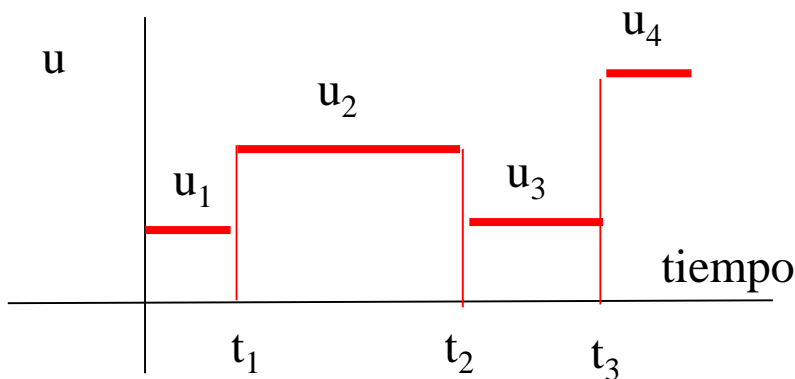
Parametrización del vector de control (CVP)



$$u_i = p_i$$



$$u_i = p_i t + b_i$$



$$p_i = u_i, t_i$$

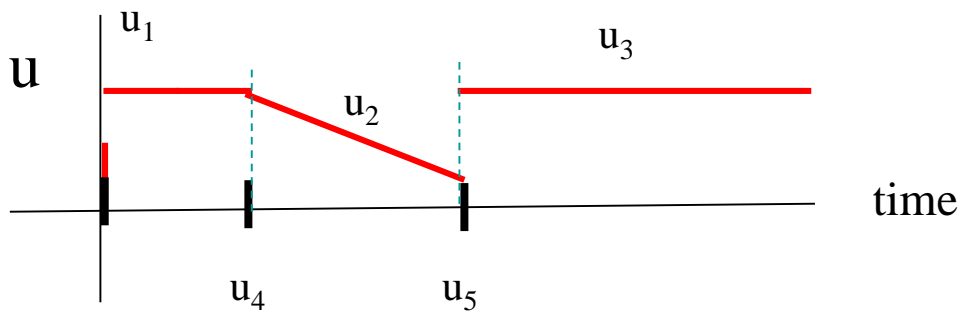
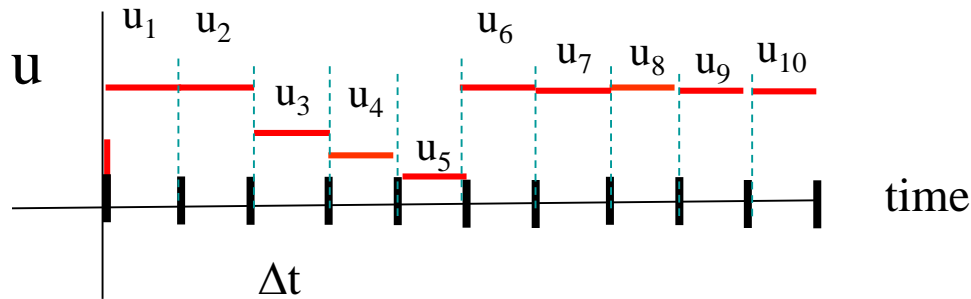
$$\min_p J(p) = \int_0^T L(x, u(p)) dt$$

$$F(\dot{x}, x, u(p)) = 0$$

$$g(x, u(p)) \leq 0$$



Parametrización



1. Comenzar con una parametrización sencilla
2. Refinarla incrementando los parámetros hasta identificar patrones
3. Redefinir la parametrización en base a los patrones para reducir el número de parámetros



Métodos de solución

Se aplica una
parametrización
 $u(p)$

$$\min_p J(p) = \int_0^T L(x, u(p)) dt$$

$$F(\dot{x}, x, u(p)) = 0$$

$$g(x, u(p)) \leq 0$$

→ NLP

Enfoque secuencial

CVP mas resolver las
ecuaciones DAE
externamente
mediante simulación

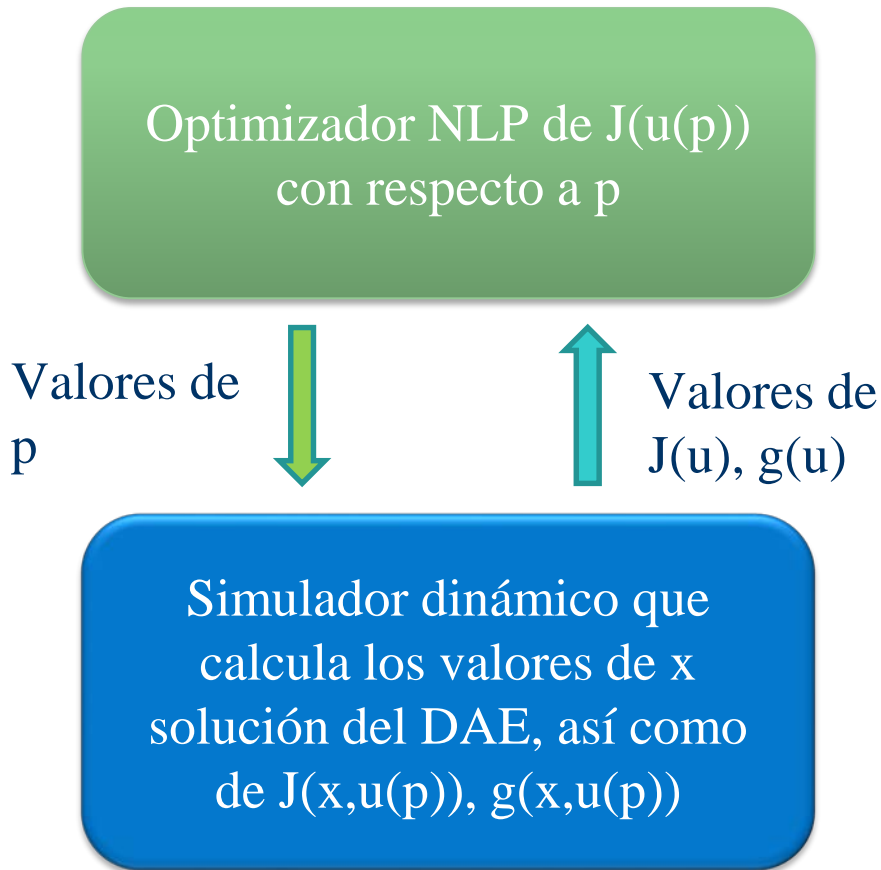
Enfoque simultaneo

Convertir el problema en
uno NLP de gran tamaño
mediante su
discretización total



Enfoque secuencial

- ✓ El optimizador solo considera a p como variables de decisión del problema
- ✓ El modelo DAE se resuelve rigurosamente
- ✓ Dificultades con las restricciones de camino, el cálculo de gradientes y sistemas inestables



$$\min_p J(p) = \int_0^T L(x, u(p)) dt$$

$$F(\dot{x}, x, u(p)) = 0$$

$$g(x, u(p)) \leq 0$$

Solución con software NLP

Múltiples llamadas al simulador desde el código NLP



Programación No Lineal NLP

$$\min_{\mathbf{x}} J(\mathbf{x})$$

$$\mathbf{h}_i(\mathbf{x}) = 0$$

$$\mathbf{g}_j(\mathbf{x}) \leq 0$$

$$L(\mathbf{x}, \boldsymbol{\lambda}, \boldsymbol{\mu}) = J + \boldsymbol{\lambda}'\mathbf{h} + \boldsymbol{\mu}'\mathbf{g}$$

$$\frac{\partial L}{\partial \mathbf{x}} = \mathbf{0}$$

$$\mathbf{h}(\mathbf{x}) = \mathbf{0}$$

$$\mathbf{g}(\mathbf{x}) \leq \mathbf{0}$$

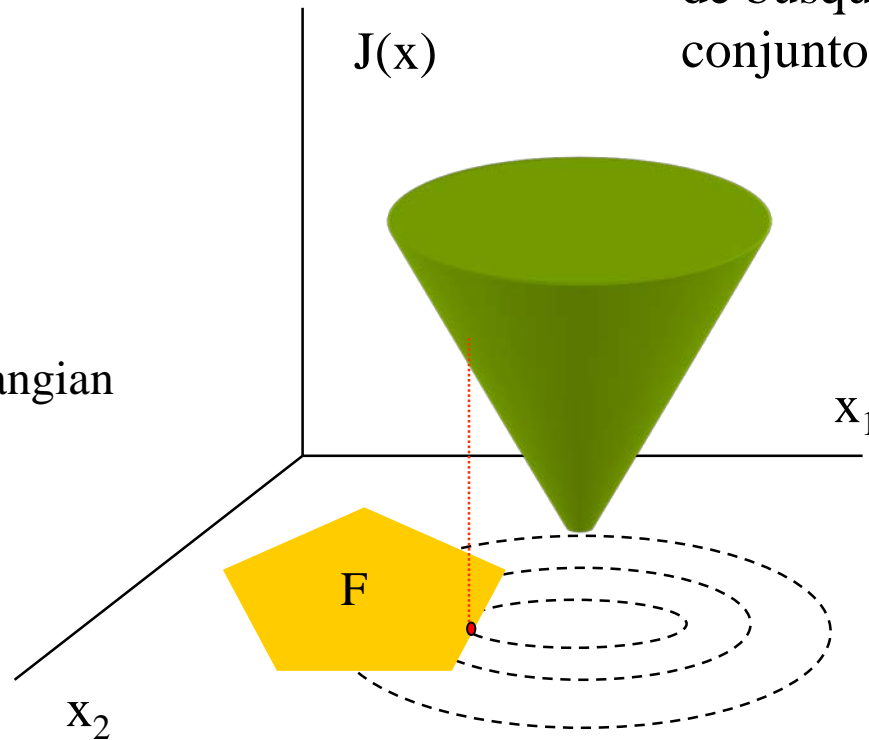
$$\boldsymbol{\mu}'\mathbf{g}(\mathbf{x}) = 0$$

$$\boldsymbol{\mu} \geq \mathbf{0}$$

Lagrangian

KKT

Las restricciones definen el espacio de búsqueda o conjunto factible F





Métodos NLP

SQP Sequential Quadratic Programming, resuelve numéricamente las condiciones KKT como una secuencia de problemas QP aproximados

$$\min_{\Delta \mathbf{x}} \nabla_{\mathbf{x}} L(\mathbf{x}_k, \boldsymbol{\lambda}_k, \boldsymbol{\mu}_k) \Delta \mathbf{x} + \frac{1}{2} \Delta \mathbf{x}' \nabla_{\mathbf{x}}^2 L(\mathbf{x}_k, \boldsymbol{\lambda}_k, \boldsymbol{\mu}_k) \Delta \mathbf{x}$$

$$\mathbf{h}(\mathbf{x}_k) + \nabla_{\mathbf{x}} \mathbf{h}(\mathbf{x}_k) \Delta \mathbf{x} = 0, \quad \mathbf{m} \leq \mathbf{x}_k + \Delta \mathbf{x} \leq \mathbf{M}$$

$$\mathbf{x}_{k+1} = \mathbf{x}_k + \sigma_k \Delta \mathbf{x}_k$$

$$\boldsymbol{\lambda}_{k+1} = \boldsymbol{\lambda}_k + \Delta \boldsymbol{\lambda}_k$$

$$\boldsymbol{\mu}_{k+1} = \boldsymbol{\mu}_k + \Delta \boldsymbol{\mu}_k$$

Códigos: NPSOL, SNOPT, MUSCOD-II, fmincon, NAG, ...



Métodos NLP

IP Interior Point incorporan las restricciones de desigualdad como funciones de barrera y resuelve una secuencia de problemas KKT relajados, por Newton- Raphson

$$\begin{array}{ccc}
 \min_x J(\mathbf{x}) & & \min_{\mathbf{x}, \boldsymbol{\varepsilon}} J(\mathbf{x}) \\
 \mathbf{h}(\mathbf{x}) = \mathbf{0} & \longrightarrow & \mathbf{h}(\mathbf{x}) = \mathbf{0} \\
 \mathbf{g}(\mathbf{x}) \leq \mathbf{0} & & \mathbf{g}(\mathbf{x}) + \boldsymbol{\varepsilon} = \mathbf{0} \\
 & & \boldsymbol{\varepsilon} \geq \mathbf{0}
 \end{array}
 \quad \longrightarrow \quad
 \begin{array}{l}
 \min_{\mathbf{x}, \boldsymbol{\varepsilon}} J(\mathbf{x}) - \eta \sum_{i=1}^{n_\varepsilon} \ln(\varepsilon_i) \\
 \mathbf{h}(\mathbf{x}) = \mathbf{0} \\
 \mathbf{g}(\mathbf{x}) + \boldsymbol{\varepsilon} = \mathbf{0}
 \end{array}$$

Secuencia de problemas con $\eta \rightarrow 0$ en cada uno de los cuales se resuelven por Newton las condiciones KKT relajadas:
Códigos: IPOPT, KNITRO,...

$$\nabla_x J(\mathbf{x}) + \boldsymbol{\lambda}' \nabla_x \mathbf{c}(\mathbf{z}) - \mathbf{v}' = \mathbf{0}$$

$$\mathbf{c}(\mathbf{z}) = \mathbf{0}$$

$$X\mathbf{v} = \eta \mathbf{e}$$

$$\mathbf{c}(\mathbf{z}) = \begin{bmatrix} \mathbf{h}(\mathbf{x}) \\ \mathbf{g}(\mathbf{x}) + \boldsymbol{\varepsilon} \end{bmatrix}$$



Sensibilidad del óptimo

$$\min_x J(\mathbf{x})$$

$$\mathbf{h}(\mathbf{x}) = \mathbf{b}$$

$$\mathbf{g}(\mathbf{x}) \leq \mathbf{c}$$

Los multiplicadores de Lagrange λ , μ proporcionan la sensibilidad de la solución óptima J^* respecto a cambios en las restricciones:

$$\frac{\partial J(\mathbf{x}^*)}{\partial \mathbf{b}} = -\boldsymbol{\lambda}^*, \quad \frac{\partial J(\mathbf{x}^*)}{\partial \mathbf{c}} = -\boldsymbol{\mu}^*,$$

Estos valores nos permiten calcular como se modifica el valor del óptimo cuando se relajan en una unidad las restricciones, lo cual puede ser importante en la toma de decisiones



Software

```
gamside: C:\Users\cesar\Documents\gams\id\projet\gmsproj.gpr
File Edit Search Window Utilities Model Libraries Help
-----
C:\GMS\GAMS64\caldera.gms
caldera.gms caldera

Variables
z funcion objetivo:

Positive Variables
x1, x2, x3:

Equations
energia define la funcion objetivo
potencia energia producida por hora
emisiones limite de emisiones:

energia.. z =e= 55*x1 + 41*x2 + 28*x3;
potencia.. 61*x1 + 45*x2 + 39*x3 =e= 14.4;
emisiones.. -2.38*x1 - 2.05*x2 + 0.3*x3 =1= 0;

Model caldera /all/;

Solve caldera using lp minimizing z;

Display x1.l, x2.l, x3.l;

No active process
caldera
--- caldera.gms(22) 3 Mb
--- 3 rows 4 columns 10 non-zeros
--- Executing CPLEX: elapsed 0:00:00.066

IBM ILOG CPLEX Jul 4, 2012 23:09.5 VEZ 36376.36401 VEZ x86_64/MS Windows
Cplex 12.4.0.1

Reading data...
Starting Cplex...
Tried aggregator 1 time.
LP Presolve eliminated 1 rows and 1 columns.
Reduced LP has 2 rows, 3 columns, and 6 nonzeros.
Presolve time = 0.00 sec.

Iteration Dual Objective In Variable Our Variable
1 10.610526 x3 potencia artific
2 10.981182 x2 emisiones slack

LP status(1): optimal

Optimal solution found.
Objective : 10.981182

--- Restarting execution
--- caldera.gms(22) 3 Mb
--- Reading solution for model caldera
--- Executing after solve: elapsed 0:00:00.318
--- caldera.gms(24) 3 Mb
*** Status: Normal completion
--- Job caldera.gms Stop 11/19/12 17:06:32 elapsed 0:00:00.323

Close Open Log Summary only Update
```

Librerías con solvers que pueden integrarse con otras aplicaciones:

NAG, CPLEX, IMSL, TOMLAB, Optimization Toolbox, WORHP,...

Requieren los gradientes o los calculan por diferencias finitas

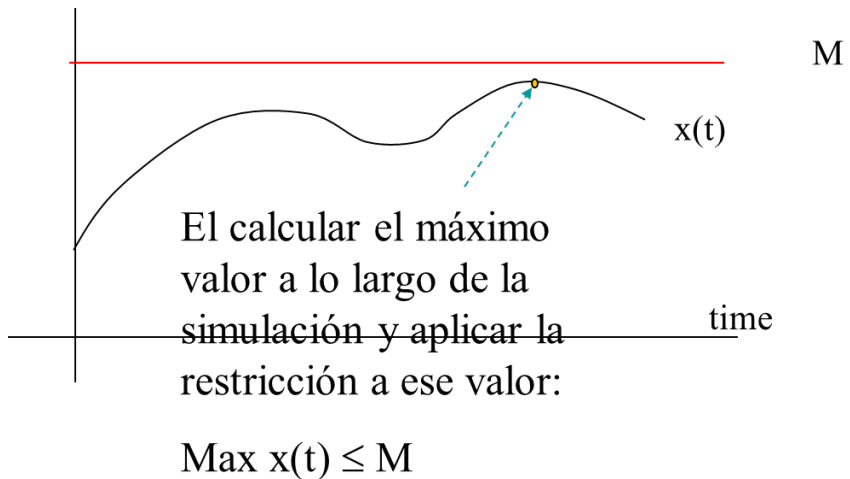
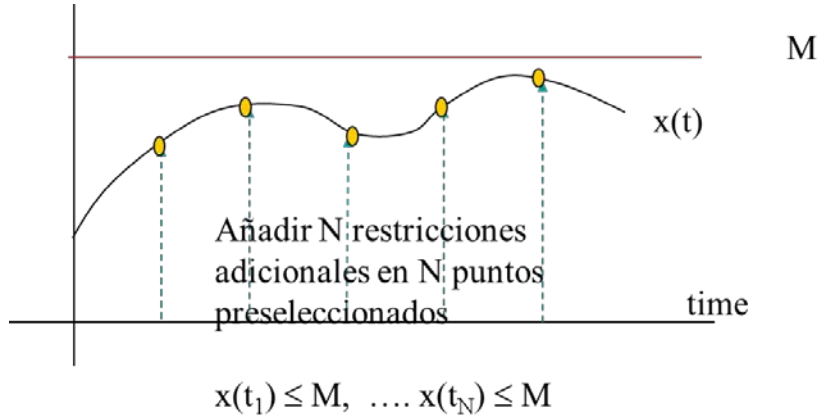
Entornos de modelado y optimización
GAMS, AIMMS, XPRESS, Gurobi,...

Fáciles de usar, muchos solvers disponibles,
calcula de derivadas automático, pero pocas facilidades de comunicación externa

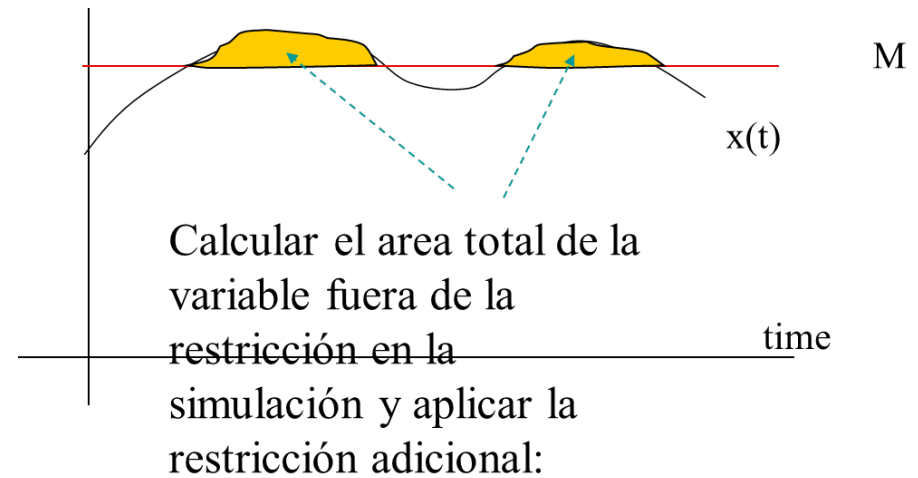


Restricciones de camino

Path Constraints



Diversas estrategias



$$\text{Area}(x) \leq 0$$

$$\int_0^T \max(0, x - M) dt \leq 0$$



Gradientes (Sistemas continuos)



$$\min_p J(p) = \int_0^T L(x, u(p)) dt$$

$$F(\dot{x}, x, u(p)) = 0$$

$$g(x, u(p)) \leq 0$$

$u(p)$ p parámetros libres

En general, problemas densos para los que los métodos SQP son adecuados

SQP y otros algoritmos NLP necesitan calcular los gradientes de la función de costo y las restricciones respecto a las variables de decisión

Métodos

- ✓ Diferencias finitas
- ✓ Ecuaciones de sensibilidad / Sistema adjunto
- ✓ Diferenciación automática, Simbólica



Ecuaciones de sensibilidad

$$\min_p J(p) = \int_0^T L(x, u(p)) dt$$

$$F(\dot{x}, x, u(p)) = 0$$

$$g(x, u(p)) \leq 0$$

$u(p)$ p parámetros libres:
variables de decisión

Cálculo de sensibilidades

$$s = \frac{\partial x}{\partial p} \quad \text{sensitivity}$$

$$\frac{dJ}{dp_i} = \int_0^T \left(\frac{\partial L}{\partial x} \frac{\partial x}{\partial p_i} + \frac{\partial L}{\partial u} \frac{\partial u}{\partial p_i} \right) dt$$

$$\frac{\partial F}{\partial \dot{x}} \frac{\partial \dot{x}}{\partial p_i} = \frac{\partial F}{\partial \dot{x}} \frac{d}{dt} \frac{\partial x}{\partial p_i} = \frac{\partial F}{\partial x} \frac{\partial x}{\partial p_i} + \frac{\partial F}{\partial u} \frac{\partial u}{\partial p_i}$$

Conjunto de ecuaciones
diferenciales lineales de
primer orden en s



Sistema extendido

$$s = \frac{\partial x}{\partial p}$$

$$\frac{\partial F}{\partial \dot{x}} \frac{ds_i}{dt} + \frac{\partial F}{\partial x} s_i + \frac{\partial F}{\partial u} \frac{\partial u}{\partial p_i} = 0$$
$$F(\dot{x}, x, u) = 0$$

- ✓ ODEs de primer orden en s .
- ✓ Las sensibilidades pueden obtenerse integrando el sistema extendido
- ✓ Muchas ecuaciones ($n_x n_p + n_F$) pero las ecuaciones de sensibilidad tienen el mismo Jacobiano que el sistema original F

Se puede hacer un cálculo eficiente de las sensibilidades reusando el Jacobiano $\partial F / \partial x$ que se usa en la integración del sistema original

Diferenciación Automática para el cálculo del Jacobiano

Pueden usarse DASPK 3.0, IDAS,... como algoritmos de integración para obtener las sensibilidades en línea.



Integración del sistema extendido



$$\frac{\partial F}{\partial \dot{x}} \frac{ds_i}{dt} + \frac{\partial F}{\partial x} s_i + \frac{\partial F}{\partial u} \frac{\partial u}{\partial p_i} = 0$$

$$F(\dot{x}, x, u) = 0 \quad s(0) = 0$$

Tras un paso de integración del DAE, todos los parámetros (tamaño del paso,...) se congelan y se calculan las sensibilidades para ese paso.

Los métodos por etapas permiten usar distintos criterios de error en el DAE y en las ecuaciones de sensibilidad.

Simultaneous corrector:

Las ecuaciones del modelo y sensibilidad se integran conjunta y simultáneamente.

Staggered methods:

Primero se integran las ecuaciones del modelo y luego las de sensibilidad

Staggered direct: La factorización del Jacobiano se hace cada paso.

Staggered corrector: La factorización del Jacobiano se hace cuando se necesita



Sensibilidades Adjoint method

$$\begin{aligned} \min_u \quad & J(u) = \int_0^T L(x, u) dt \\ & F(\dot{x}, x, u) = 0 \\ & g(x, u) \leq 0 \end{aligned}$$

El cálculo de las sensibilidades usando la integración del sistema extendido (Forward method) no es eficiente cuando la dimensión de u , n_u , es alta.

En muchos casos el interés directo no es el cálculo de las sensibilidades $s = \frac{\partial x}{\partial u}$

sino el gradiente de una variable $J(u)$

$$\frac{dJ}{du} = \int_0^T \left(\frac{\partial L}{\partial x} \frac{\partial x}{\partial u} + \frac{\partial L}{\partial u} \right) dt \quad \text{No depende de } t$$

En el caso de cálculo de la sensibilidad de una variable (independiente de t) respecto a un número de parámetros alto, es mejor usar el método del sistema adjunto (Adjoint method)



Método del sistema adjunto

Dadas las ecuaciones

$$J(u) = \int_0^T L(x, u) dt$$

$$F(\dot{x}, x, u) = 0$$

Se puede definir la función:

$$L(x, u) = J(u) - \int_0^T \lambda^* F(\dot{x}, x, u) dt$$

como $F(\dot{x}, x, u) = 0$

$$\frac{dL}{du} = \frac{dJ}{du} = \int_0^T \left(\frac{\partial L}{\partial x} \frac{\partial x}{\partial u} + \frac{\partial L}{\partial u} \right) dt - \int_0^T \lambda^* \left(\frac{\partial F}{\partial u} + \frac{\partial F}{\partial x} \frac{\partial x}{\partial u} + \frac{\partial F}{\partial \dot{x}} \frac{\partial \dot{x}}{\partial u} \right) dt$$

Integrando por partes el término

$$\int_0^T \lambda^* \left(\frac{\partial F}{\partial \dot{x}} \frac{\partial \dot{x}}{\partial u} \right) dt = \lambda^* \frac{\partial F}{\partial \dot{x}} \frac{\partial x}{\partial u} \Big|_0^T - \int_0^T \frac{d}{dt} \left(\lambda^* \frac{\partial F}{\partial \dot{x}} \right) \frac{\partial x}{\partial u} dt$$

Con $u = \lambda^* \frac{\partial F}{\partial \dot{x}} \Big|_0^T$ $dv = \frac{\partial \dot{x}}{\partial u} dt$

Resulta:



Método del sistema adjunto

$$\frac{dJ}{du} = \int_0^T \left(\frac{\partial L}{\partial u} - \lambda^* \frac{\partial F}{\partial u} \right) dt - \int_0^T \left(-\frac{\partial L}{\partial x} + \lambda^* \frac{\partial F}{\partial x} - \frac{d}{dt} \left(\lambda^* \frac{\partial F}{\partial \dot{x}} \right) \right) \frac{\partial x}{\partial u} dt - \left(\lambda^* \frac{\partial F}{\partial \dot{x}} \frac{\partial x}{\partial u} \right) \Big|_T + \left(\lambda^* \frac{\partial F}{\partial \dot{x}} \frac{\partial x}{\partial u} \right) \Big|_0$$

Selecting λ
such that

$$\lambda^* \frac{\partial F}{\partial \dot{x}} \Big|_{t=T} = 0$$

$$-\frac{\partial L}{\partial x} + \lambda^* \frac{\partial F}{\partial x} - \frac{d}{dt} \left(\lambda^* \frac{\partial F}{\partial \dot{x}} \right) = 0$$

Sistema adjunto

Integrando el modelo pueden obtenerse valores para integrar el sistema adjunto y con los valores de λ calcular el gradiente deseado. Nótese que $\partial x / \partial u = 0$ en $t = 0$. El problema se resuelve integrando el sistema adjunto hacia atrás en el tiempo con condición inicial dada en $t = T$ (para DAEs de orden 0 y 1)

$$\frac{dJ}{du} = \int_0^T \left(\frac{\partial L}{\partial u} - \lambda^* \frac{\partial F}{\partial u} \right) dt$$



Ejemplo reactor: Jacobiano

$$V \frac{dc_A}{dt} = q(c_{Ai} - c_A) - Vkc_A$$

$$k = \beta e^{-E/R(T+273.14)}$$

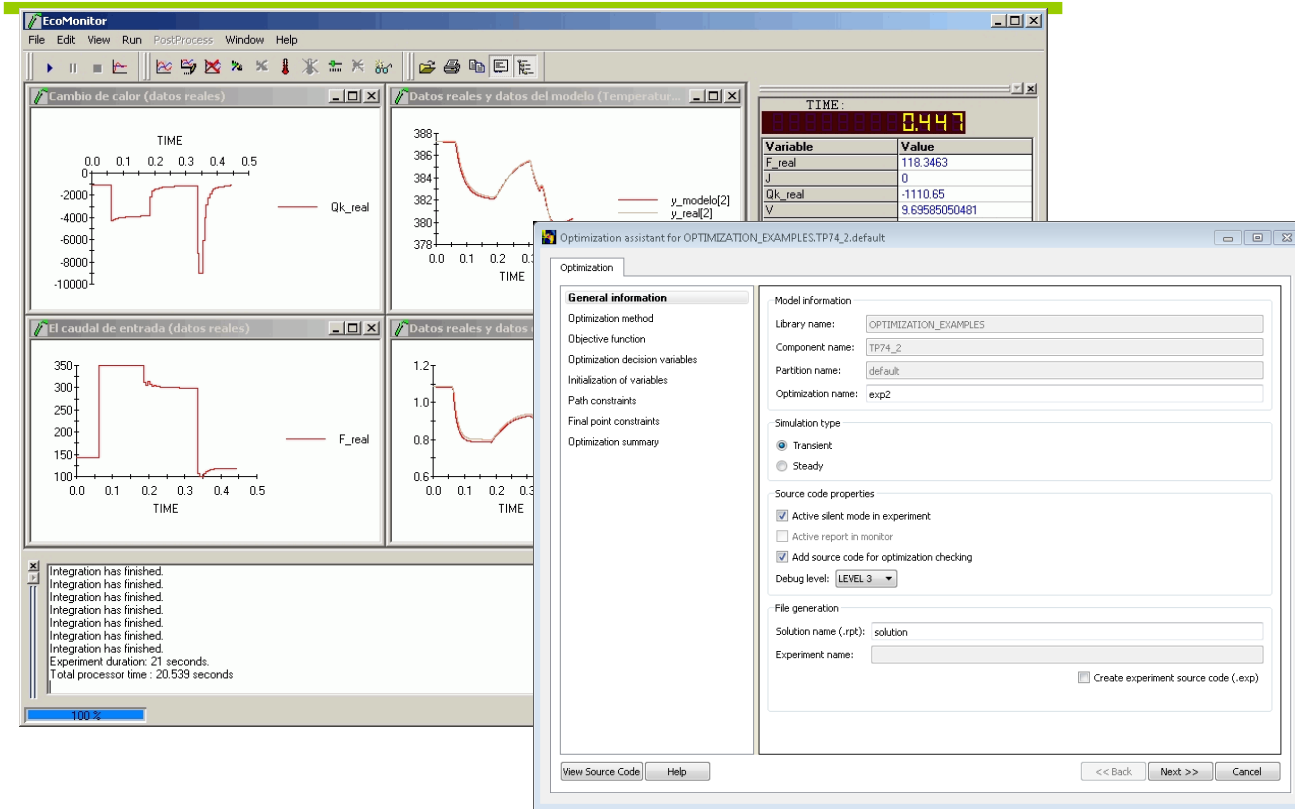
$$V\rho c_p \frac{dT}{dt} = q\rho c_p (T_i - T) - Vkc_A H - UA(T - T_r)$$

$$V_r \rho_r c_{pr} \frac{dT_r}{dt} = F_r \rho_r c_{pr} (T_{ri} - T_r) + UA(T - T_r)$$

$$\frac{\partial F}{\partial x} = \begin{bmatrix} \frac{q}{V} + k & \frac{c_A k E}{R(T + 273.14)^2} & 0 \\ \frac{kH}{\rho c_p} & \frac{q}{V} + \frac{UA}{V\rho c_p} + \frac{c_A H k E}{\rho c_p R(T + 273.14)^2} & -\frac{UA}{V\rho c_p} \\ 0 & \frac{-UA}{V_r \rho_r c_{pr}} & \frac{F_r}{V_r} + \frac{UA}{V_r \rho_r c_{pr}} \end{bmatrix}$$



Software



Entornos de simulación unidos a solvers NLP

Asistentes para la definición del problema y generación automática de código de optimización

EcosimPro, gProms, Dymola,...

Muy importante el cálculo de sensibilidades para la calidad de la solución.

Errores relativos Simulación / Optimización



Ejemplo: Reactor químico

$$\text{Max } J = q c_B$$

$$V \frac{dc_A}{dt} = q(c_{Ai} - c_A) - V\beta e^{-E/RT} c_A$$

$$V\rho c_p \frac{dT}{dt} = q\rho c_p (T_i - T) - Vkc_A H - UA(T - T_r)$$

$$V_r \rho_r c_{pr} \frac{dT_r}{dt} = F_r \rho_r c_{pr} (T_{ri} - T_r) + UA(T - T_r)$$

$$c_B = c_{Ai} - c_A$$

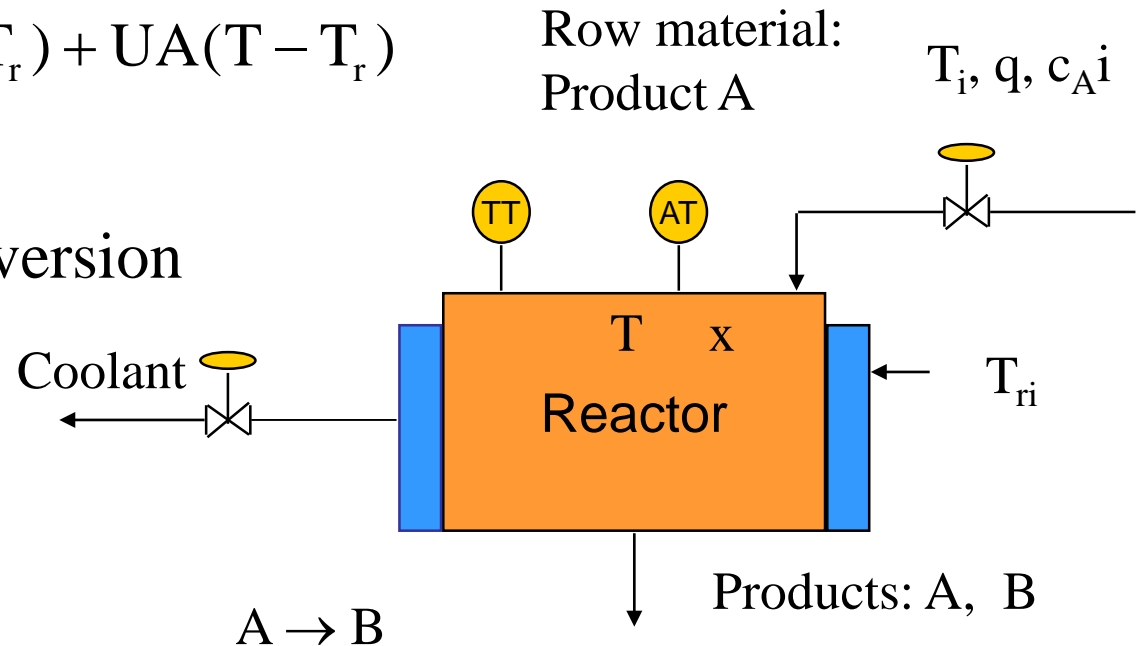
$$x = c_B / c_{Ai} \quad x \text{ conversion}$$

$$T_{\min} \leq T \leq T_{\max}$$

$$x_{\min} \leq x \leq 1$$

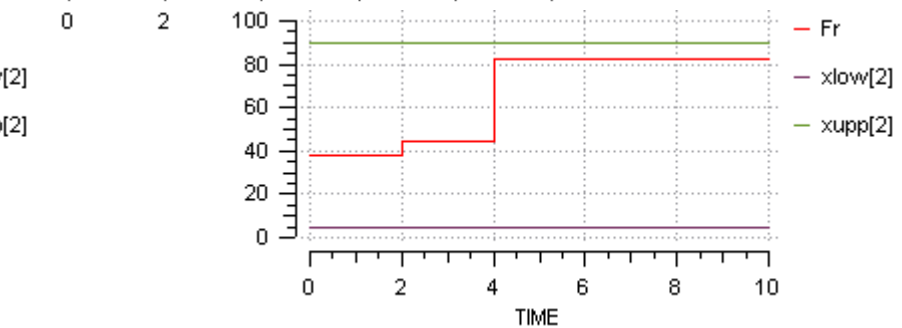
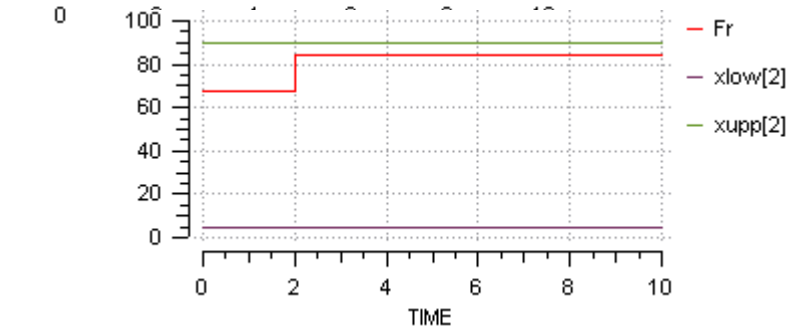
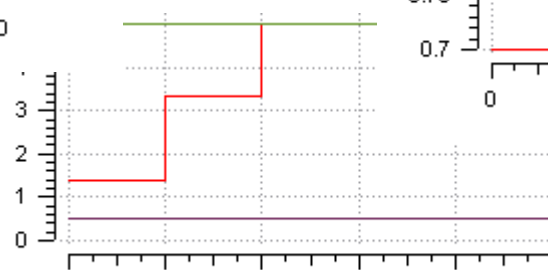
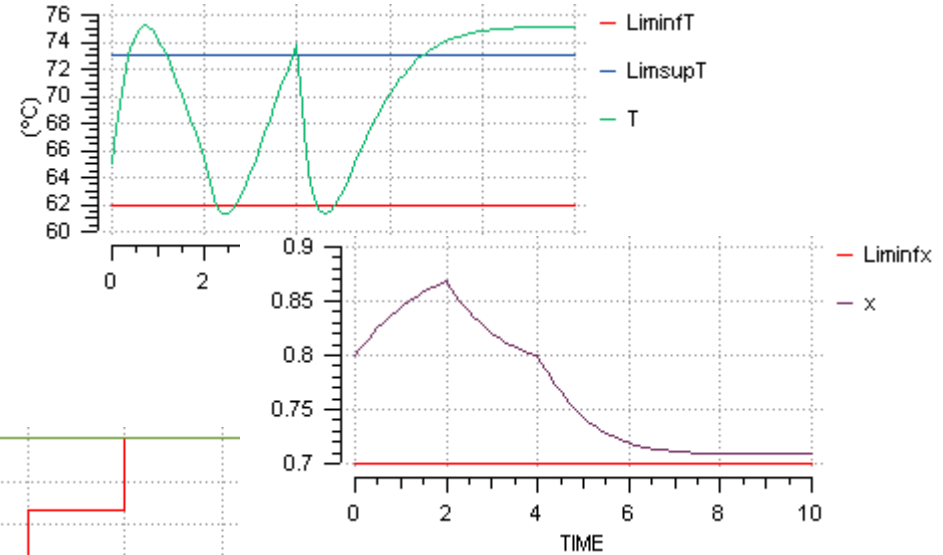
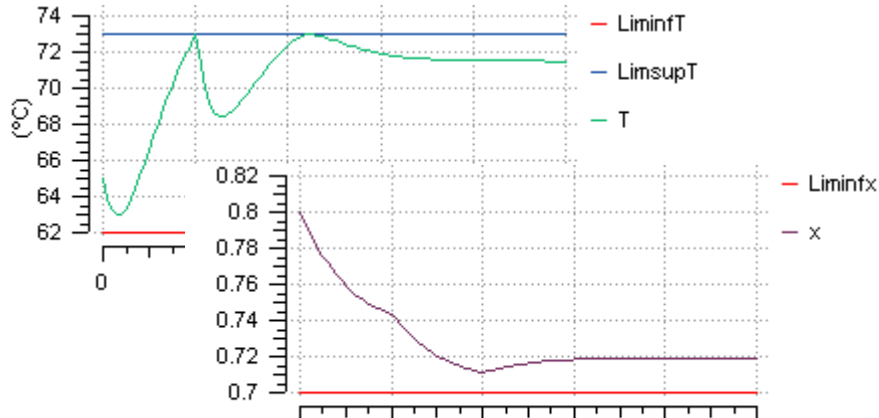
$$q_{\min} \leq q \leq q_{\max}$$

$$F_{r\min} \leq F_r \leq F_{r\max}$$





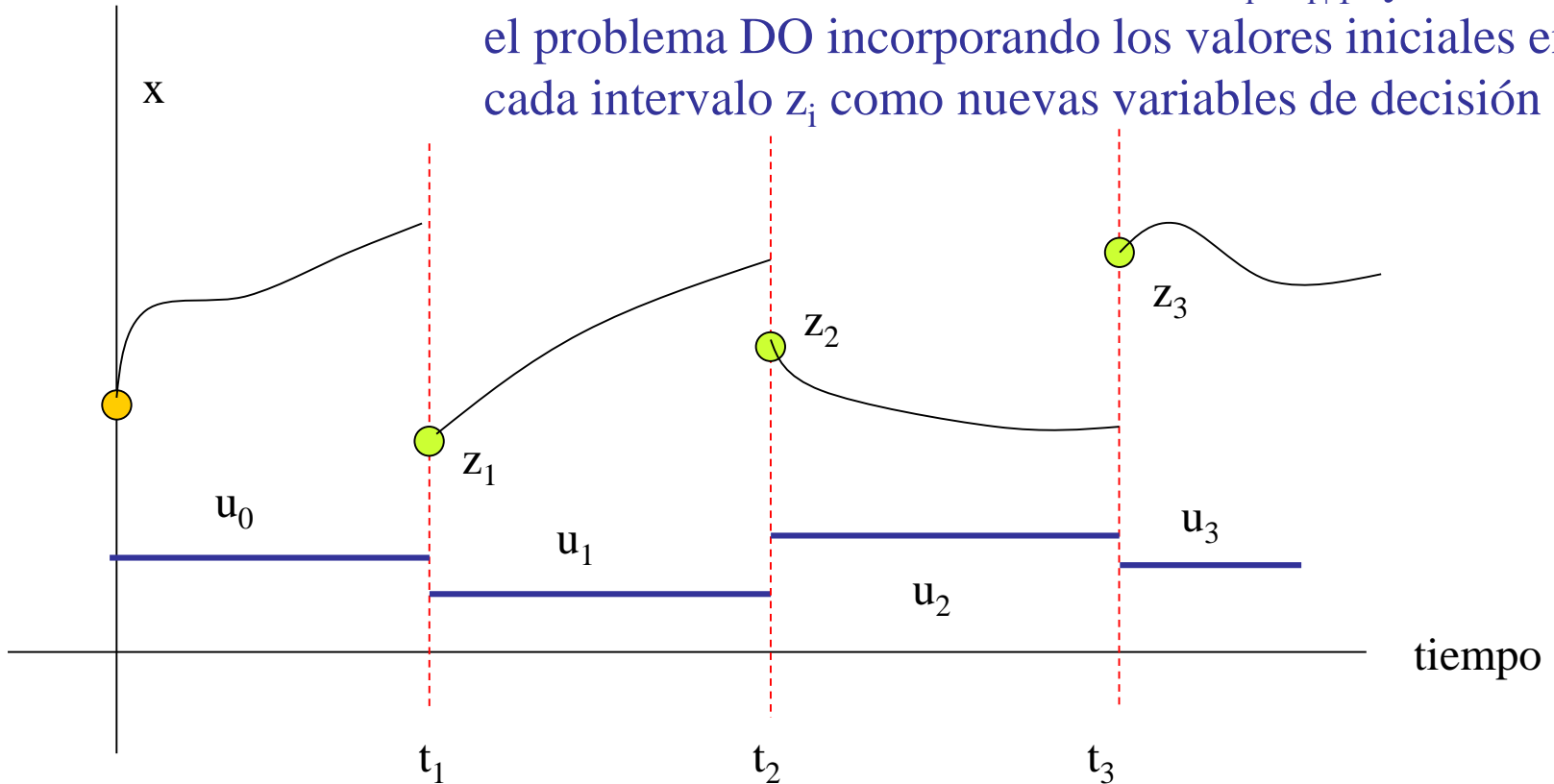
Con / sin sensibilidades





Multiple shooting

Dividir el horizonte en n intervalos $[t_i, t_{i+1}]$ y resolver el problema DO incorporando los valores iniciales en cada intervalo z_i como nuevas variables de decisión



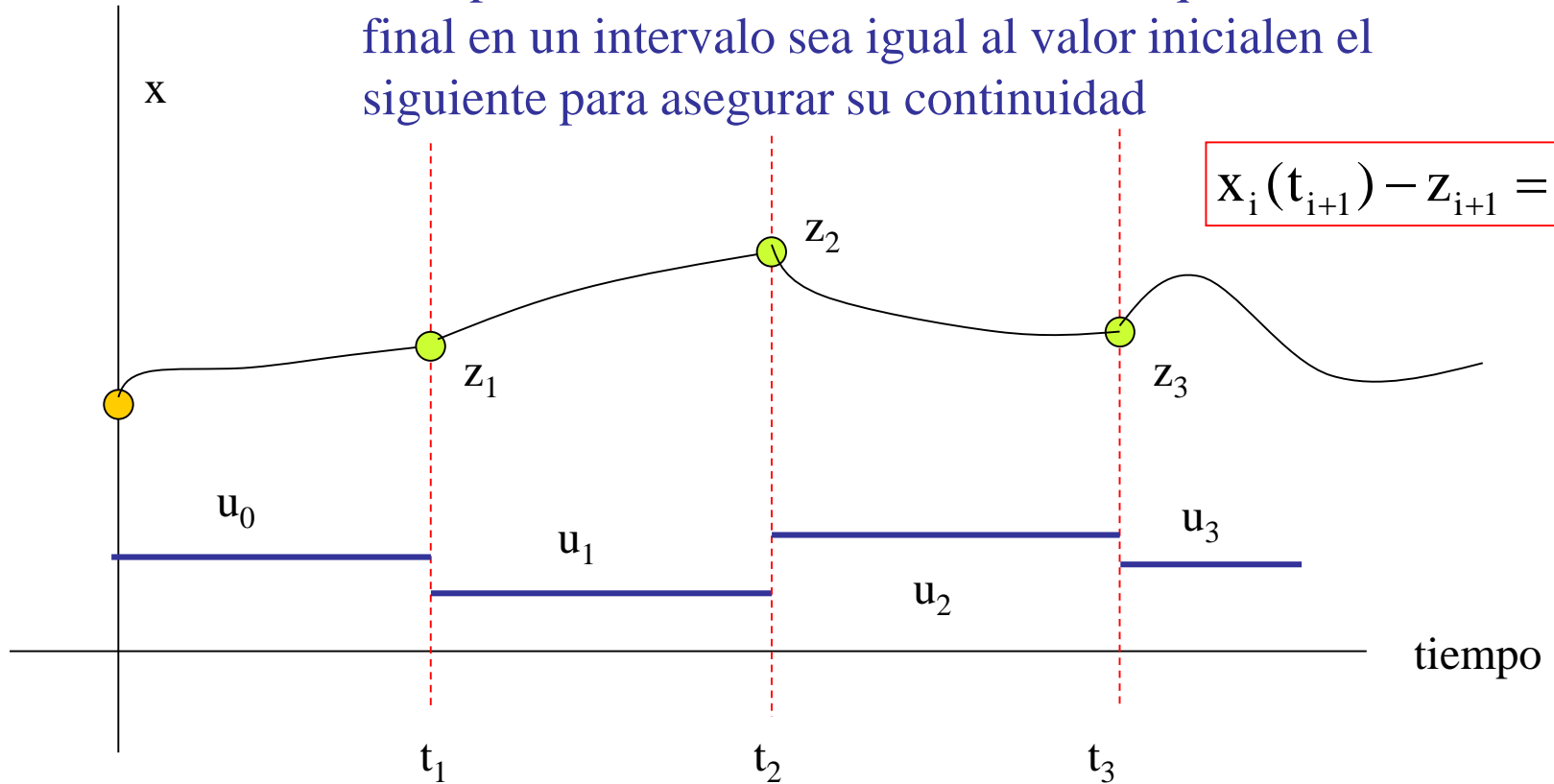
$$J = \sum_{i=0}^{n-1} \int_{t_i}^{t_{i+1}} L(x_i(t), u_i, z_i) dt$$

x_i x en el intervalo i



Multiple shooting

...Imponiendo además la condición de que el estado final en un intervalo sea igual al valor inicial en el siguiente para asegurar su continuidad





Multiple shooting

✓ Ventajas:

- La inicialización de x puede estar mas cerca de la trayectoria deseada, lo que facilita l convergencia
- Se pueden imponer restricciones de camino sobre z_i
- La evolución de la etapa i es independiente de la $i+1$
- Facilita la paralelización
- Permite usar métodos secuenciales con sistemas inestables

✓ Desventajas:

- Mayor complejidad

$$J = \sum_{i=0}^{n-1} \int_{t_i}^{t_{i+1}} L(x_i(t), u_i, z_i) dt$$

$$v = \{u_0, z_1, u_1, \dots, z_i, u_i, \dots, z_{n-1}, u_{n-1}\}$$

$$\min_v J$$

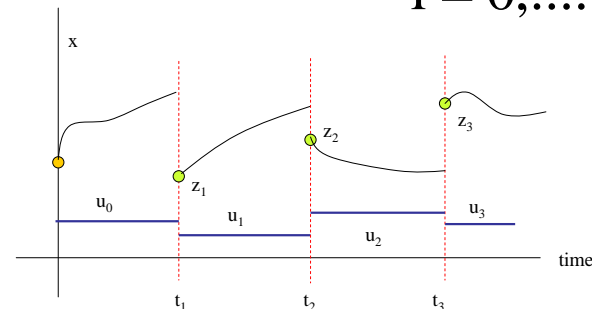
$$F_i(\dot{x}_i, x_i, u_i, t) = 0$$

$$x_i(t_i) = z_i$$

$$g_i(z_i, u_i, t_i) \leq 0$$

$$x_i(t_{i+1}) - z_{i+1} = 0$$

$$i = 0, \dots, n$$





Enfoque simultaneo

$$\min_p J(p) = \int_0^T L(x, u(p)) dt$$

$$F(\dot{x}, x, u(p)) = 0$$

$$g(x, u(p)) \leq 0$$

Discretizar
totalmente las
ecuaciones

$$F(\dot{x}, x, u(p)) = 0$$



$$F\left(\frac{x(t + \Delta t) - x(t)}{\Delta t}, x(t + \Delta t), u(p)\right) = 0$$

$$t = 0, \Delta t, 2\Delta t, \dots$$

$$\int_0^T L(x, u(p)) dt$$



$$\sum_{j=0}^N [L(x(j), u(j, p))] \Delta t$$

Sistema de ecuaciones algebraicas



Enfoque simultaneo

$$\min_p J(p) = \int_0^T L(x, u(p)) dt$$

$$F(\dot{x}, x, u(p)) = 0$$

$$g(x, u(p)) \leq 0$$



$$\min_{p,x} J = \sum_{j=0}^N [L(x(j), u(j,p))] \Delta t$$

$$F(x(1), x(0), u(0,p)) = 0$$

$$F(x(2), x(1), u(1,p)) = 0$$

$$F(x(3), x(2), u(2,p)) = 0$$

.....

$$F(x(N), x(N-1), u(N-1,p)) = 0$$

$$g(x(0), u(0,p)) \leq 0$$

$$g(x(1), u(1,p)) \leq 0$$

$$g(x(2), u(2,p)) \leq 0$$

$$g(x(N-1), u(N-1,p)) \leq 0$$

✓ El número de variables de decisión y ecuaciones se incrementa de acuerdo a la discretización.

✓ Facilita la imposición de restricciones de camino, el cálculo de gradientes y se puede usar en sistemas inestables

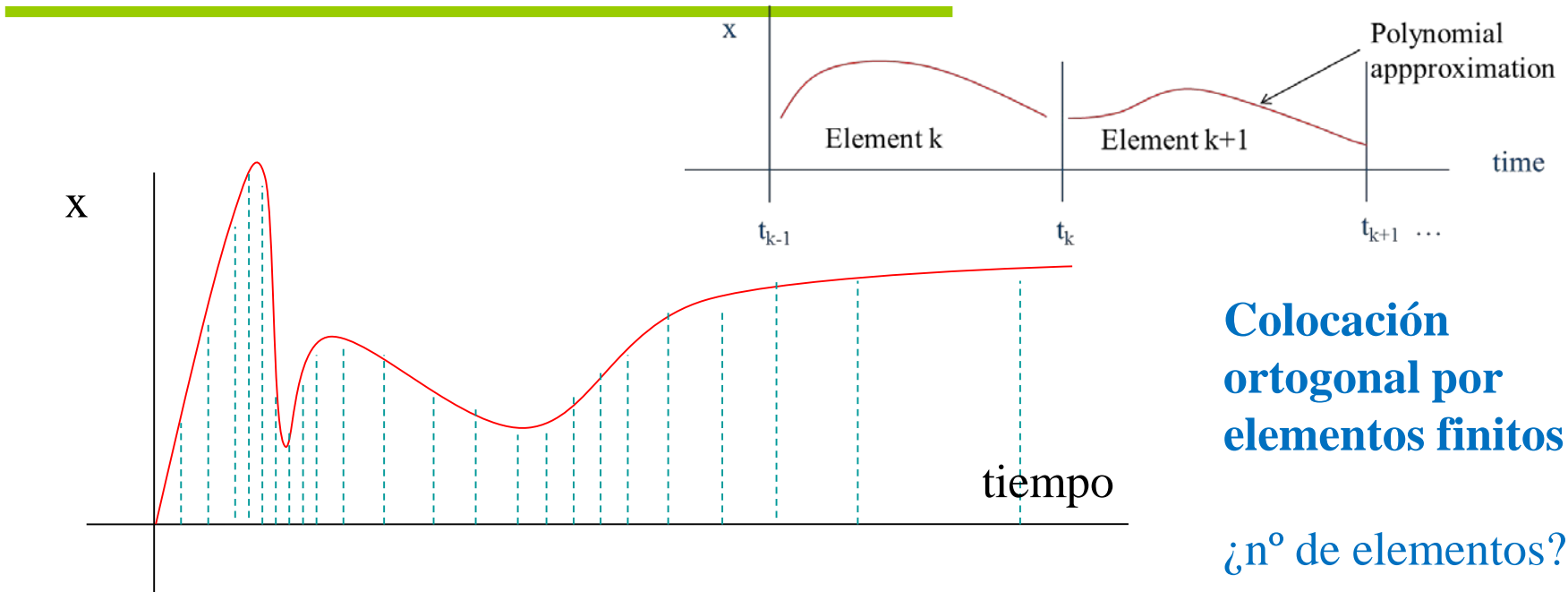
✓ Puede haber problemas con la discretización de las DAE

$x(i)$ y p son variables de decisión

Solución con software NLP



Discretización



**Colocación
ortogonal por
elementos finitos**

¿n° de elementos?

La integración de sistemas stiff usa métodos de paso y estructura variable para mantener el error de integración bajo cotas.

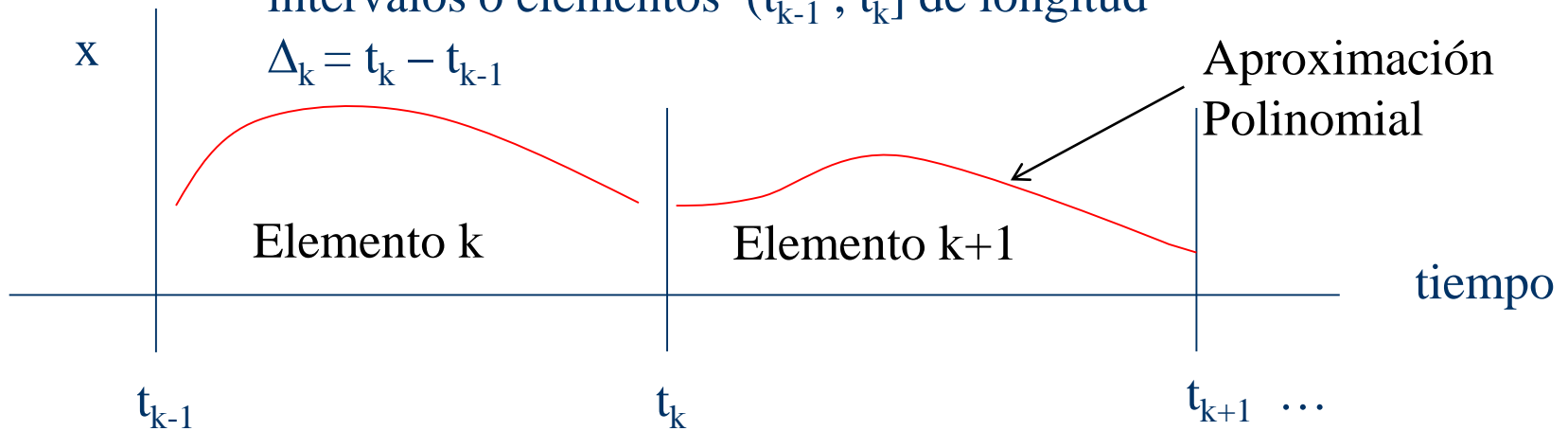
El uso de métodos de paso fijo obliga a usar un gran número de intervalos, resultando en un alto número de ecuaciones y variables y no garantiza la calidad



Colocación en elementos finitos

El horizonte temporal se divide en K intervalos o elementos $(t_{k-1}, t_k]$ de longitud

$$\Delta_k = t_k - t_{k-1}$$



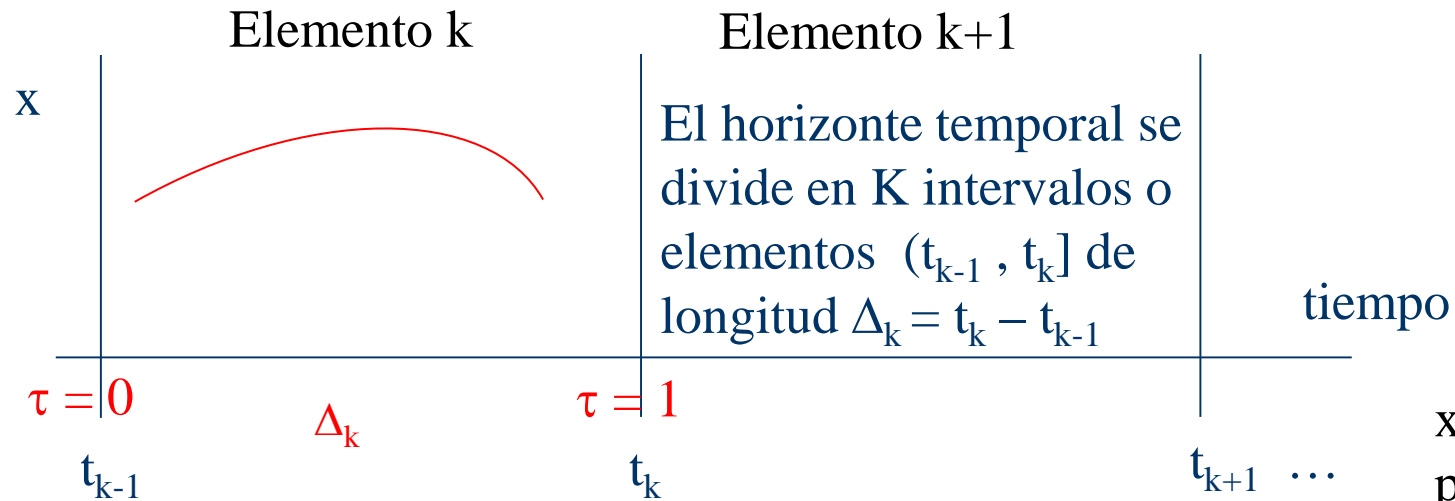
En cada intervalo $(t_{k-1}, t_k]$ la solución x se aproxima por una fórmula polinómica. Esto proporciona una aproximación suave en elemento, al tiempo que permite discontinuidades en la señal de control.

Pueden usarse muchos tipos de aproximaciones polinómicas

El número de elementos r K no tiene por que ser grande



Colocación en elementos finitos



\mathbf{x}_{kj}
parámetros
a calcular

Una posibilidad es aproximar la evolución temporal de las variables por una combinación lineal de polinomios conocidos $P_j(\tau)$ de orden P . Típicamente se usan polinomios de interpolación de Lagrange.

$$\mathbf{x}(t) \approx \sum_{j=0}^P P_j(\tau) \mathbf{x}_{kj}$$

$k = 1, \dots, K$

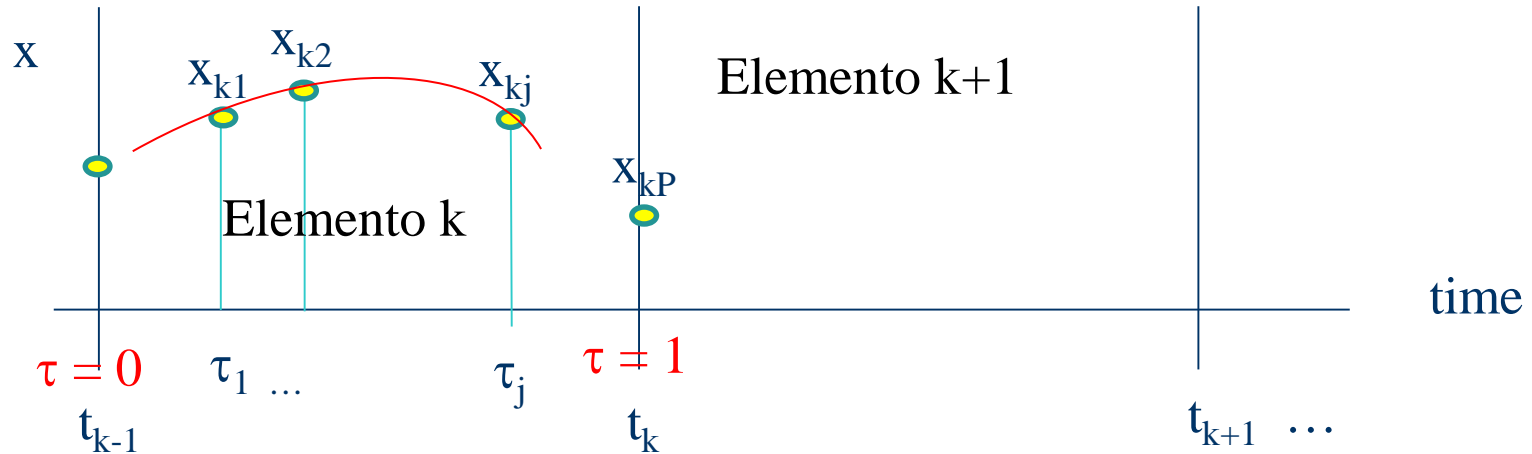
$$t = t_{k-1} + \tau \Delta_k \quad \tau \in (0, 1]$$

$$\dot{\mathbf{x}}(t) \approx \sum_{j=0}^P \frac{\dot{P}_j(\tau) \mathbf{x}_{kj}}{\Delta_k}$$

τ Tiempo
normalizado



Polinomios de interpolación de Lagrange



$$\mathbf{x}(t) \approx \sum_{j=0}^P P_j(\tau) \mathbf{x}_{kj}$$

$$P_j(\tau) = \prod_{i=0, i \neq j}^P \frac{\tau - \tau_i}{\tau_j - \tau_i}$$

Se seleccionan $P+1$ puntos de interpolación $\tau_0 = 0, \tau_1, \dots, \tau_P$

$$t = t_{k-1} + \tau \Delta_k \quad \tau \in (0,1]$$

$$\mathbf{x}(t_{kj}) = \mathbf{x}(t_{k-1} + \tau_j \Delta_k) = \mathbf{x}_{kj} \quad \tau_i < \tau_{i+1}$$

$$\dot{\mathbf{x}}(t) \approx \sum_{j=0}^P \frac{\dot{P}_j(\tau) \mathbf{x}_{kj}}{\Delta_k}$$

Los parámetros x_{kj} tienen un significado claro cuando se usan los polinomios de Lagrange



Polinomios de Lagrange

$$P_j(\tau) = \prod_{i=0, i \neq j}^P \frac{\tau - \tau_i}{\tau_j - \tau_i}$$

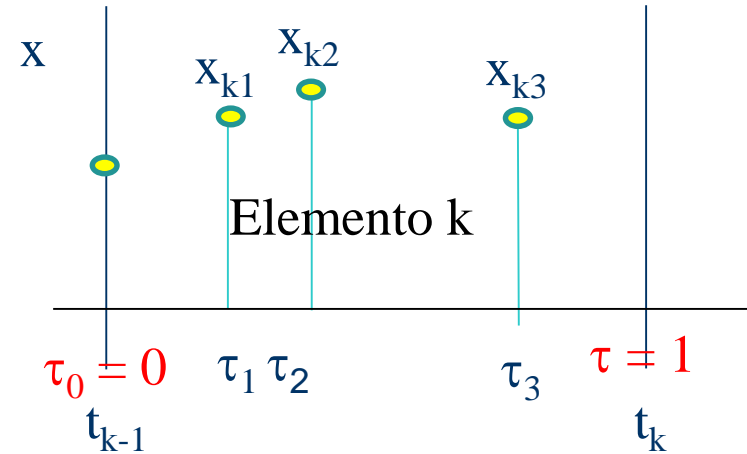
$$P_0 = \frac{\tau - \tau_1}{\tau_0 - \tau_1} \frac{\tau - \tau_2}{\tau_0 - \tau_2} \frac{\tau - \tau_3}{\tau_0 - \tau_3}$$

$$P_1 = \frac{\tau - \tau_0}{\tau_1 - \tau_0} \frac{\tau - \tau_2}{\tau_1 - \tau_2} \frac{\tau - \tau_3}{\tau_1 - \tau_3}$$

$$P_2 = \frac{\tau - \tau_0}{\tau_2 - \tau_0} \frac{\tau - \tau_1}{\tau_2 - \tau_1} \frac{\tau - \tau_3}{\tau_2 - \tau_3}$$

$$P_3 = \frac{\tau - \tau_0}{\tau_3 - \tau_0} \frac{\tau - \tau_1}{\tau_3 - \tau_1} \frac{\tau - \tau_2}{\tau_3 - \tau_2}$$

$$x(t_{k-1} + \tau_j \Delta_k) = x_{kj}$$



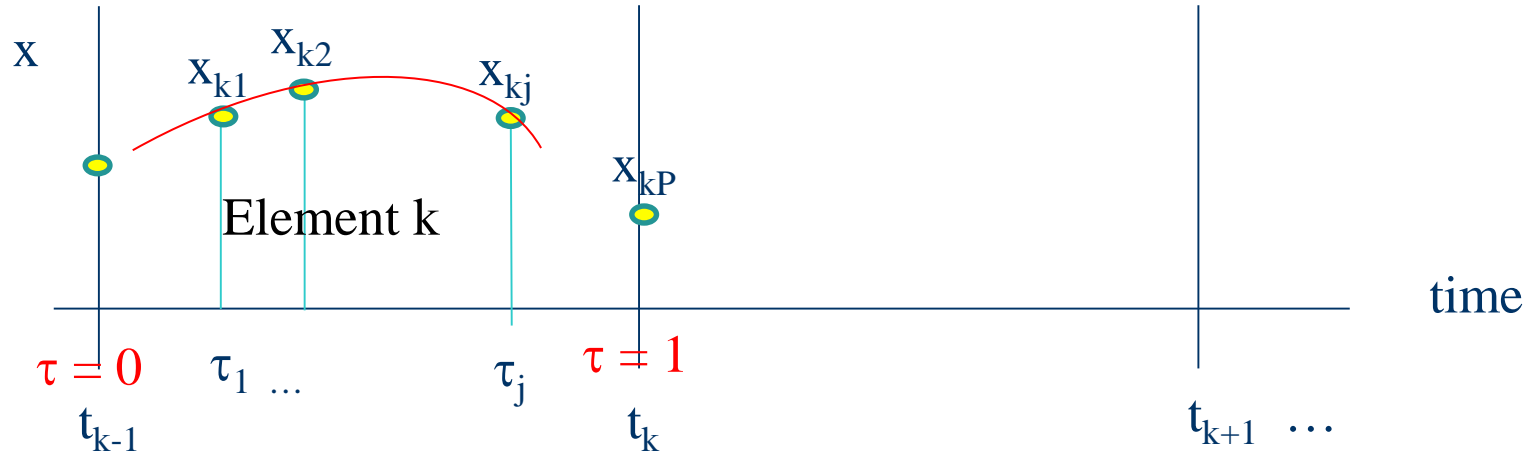
Ejemplo con $P=3$ $x(t) \approx \sum_{j=0}^P P_j(\tau) x_{kj}$

Para $\tau = \tau_1$ $P_0 = P_2 = P_3 = 0$ $P_1 = 1$

$$x(t_{k-1} + \tau_1 \Delta_k) = P_0 x_{k0} + P_1 x_{k1} + P_2 x_{k2} + P_3 x_{k3} = x_{k1}$$



Colocación en elementos finitos



Se impone que se satisfagan las ecuaciones DAE en los puntos de colocación.

Esta condición proporciona un conjunto de ecuaciones que permiten calcular los coeficientes x_{ki} desconocidos

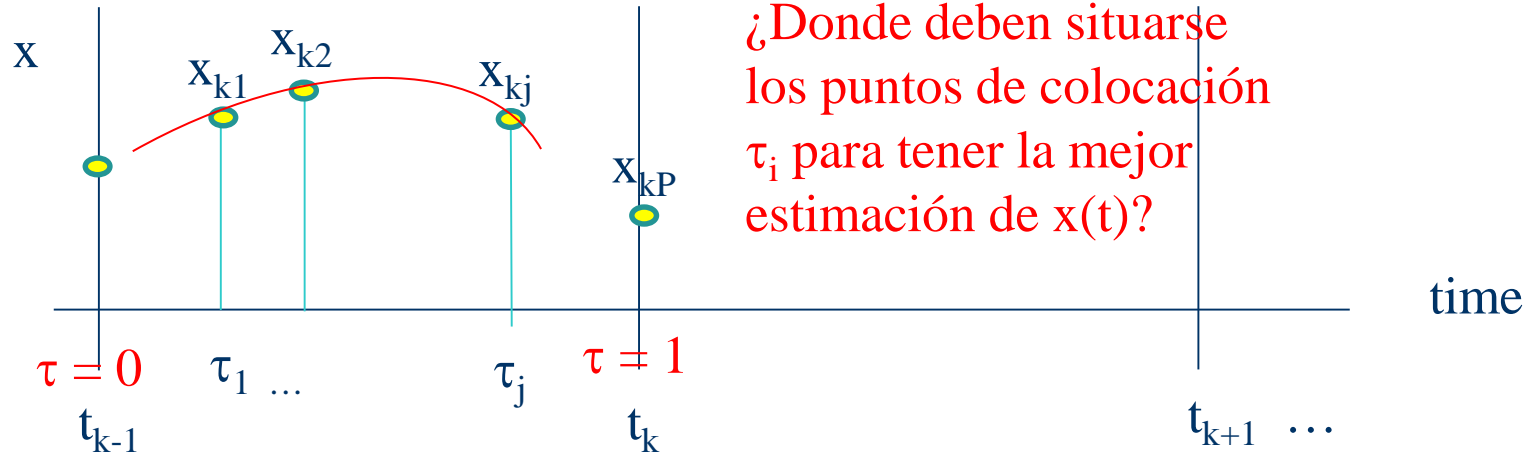
$$F(\dot{x}, x, u(p)) = 0$$

$$F\left(\sum_{j=0}^P \frac{\dot{P}_j(\tau_i) \mathbf{x}_{kj}}{\Delta_k}, \mathbf{x}_{ki}, u(p)\right) = 0 \quad k = 1, \dots, K$$

Los $P+1$ puntos de colocación se sitúan en posiciones fijas τ_i en cada elemento k . Existen diferentes métodos para situarlos



Colocación Ortogonal



$$F\left(\sum_{j=0}^P \frac{\dot{P}_j(\tau_i) \mathbf{x}_{kj}}{\Delta_k}, \mathbf{x}_{ki}, u(p)\right) = 0 \quad \begin{matrix} k = 1, \dots, K \\ i = 1, \dots, P \end{matrix}$$

Para reducir P se escogen polinomios ortogonales

$$\int_0^1 P_j(\tau) P_i(\tau) d\tau = 0 \quad i \neq j$$



Colocación Ortogonal

Shifted Gauss-Legendre and Radau roots as collocation points.

Degree	P	Legendre Roots	Radau Roots
1		0.500000	1.000000
2		0.211325	0.333333
		0.788675	1.000000
3		0.112702	0.155051
		0.500000	0.644949
		0.887298	1.000000
4		0.069432	0.088588
		0.330009	0.409467
		0.669991	0.787659
		0.930568	1.000000
5		0.046910	0.057104
		0.230765	0.276843
		0.500000	0.583590
		0.769235	0.860240
		0.953090	1.000000

τ_0 es siempre = 0

Los puntos de colocación τ_i , $i = 1, \dots, P$ se seleccionan como las raíces de polinomios de tipo Gauss-Jacobi, típicamente:

$$P_P^{\text{Legendre}}(\tau) = \sum_{j=0}^P (-1)^{P-j} \tau^j \gamma_j$$

$$\gamma_0 = 1$$

$$\gamma_j = \frac{(P-j+1)(P+j)}{j^2}$$

Dan mas exactitud

$$P_P^{\text{Radau}}(\tau) = \sum_{j=0}^P (-1)^{P-j} \tau^j \gamma_j$$

$$\gamma_0 = 1$$

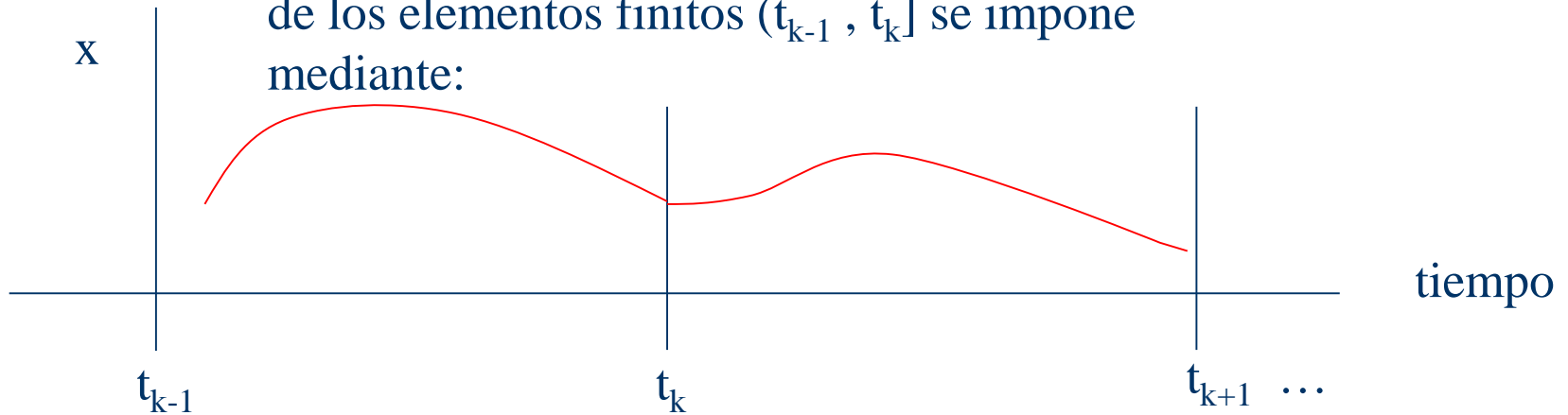
$$\gamma_j = \frac{(P-j+1)(P+j+1)}{j^2}$$

Dan mas robustez



Colocación Ortogonal

La continuidad de las trayectorias a lo largo de los elementos finitos $(t_{k-1}, t_k]$ se impone mediante:



$$F\left(\sum_{j=0}^P \frac{\dot{P}_j(\tau_i) \mathbf{x}_{kj}}{\Delta_k}, \mathbf{x}_{ki}, u(p)\right) = 0 \quad \begin{array}{l} k = 1, \dots, K \\ i = 1, \dots, P \end{array}$$

En lugar de estas ecuaciones, en los puntos $\tau_0 = 0$ se usa la continuidad de los estados, y en $t = 0$ las condiciones iniciales para generar ecuaciones que las sustituyan y que garanticen soluciones acorde a lo deseado

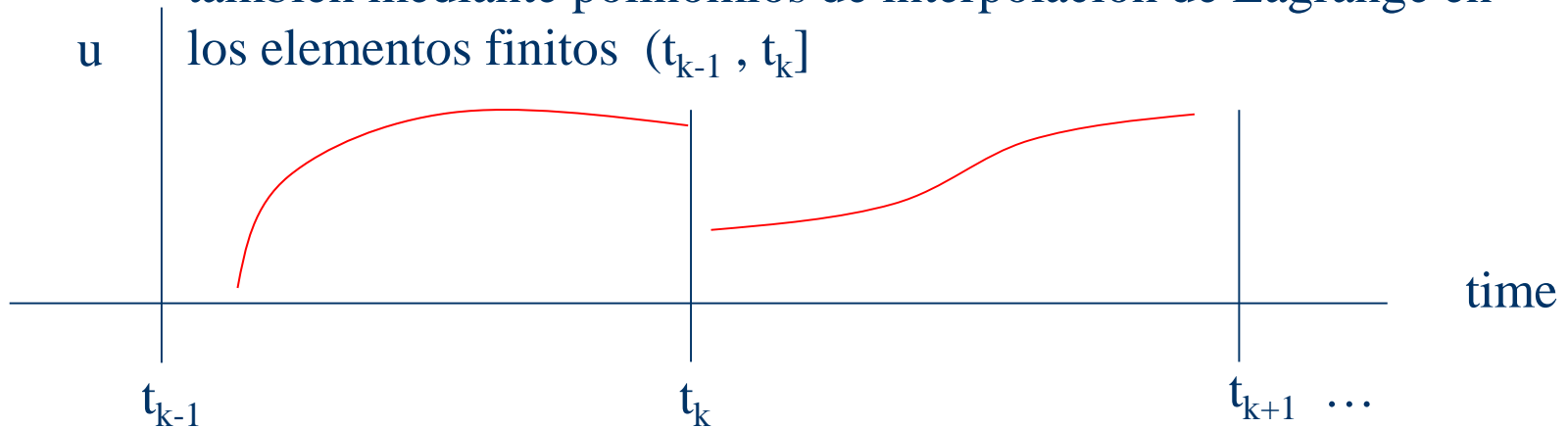
$$\mathbf{x}(t_k) = \mathbf{x}_{k+1,0} = \mathbf{x}_{k,P}$$

$$\mathbf{x}(t_0) = \mathbf{x}_{10} = \mathbf{x}_0$$



Colocación Ortogonal

Si se desea, las variables de control pueden representarse también mediante polinomios de interpolación de Lagrange en los elementos finitos $(t_{k-1}, t_k]$



$$\mathbf{u}(t) \approx \sum_{j=1}^P \bar{P}_j(\tau) \mathbf{u}_{kj}$$

$$\bar{P}_j(\tau) = \prod_{i=1, i \neq j}^P \frac{\tau - \tau_i}{\tau_j - \tau_i}$$

$$t = t_{k-1} + \tau \Delta_k \quad \tau \in (0, 1]$$

No se impone la continuidad de las trayectorias de control en los elementos finitos $(t_{k-1}, t_k]$

Pueden usarse métodos simultáneos de optimización con sistemas inestables



Ejemplo

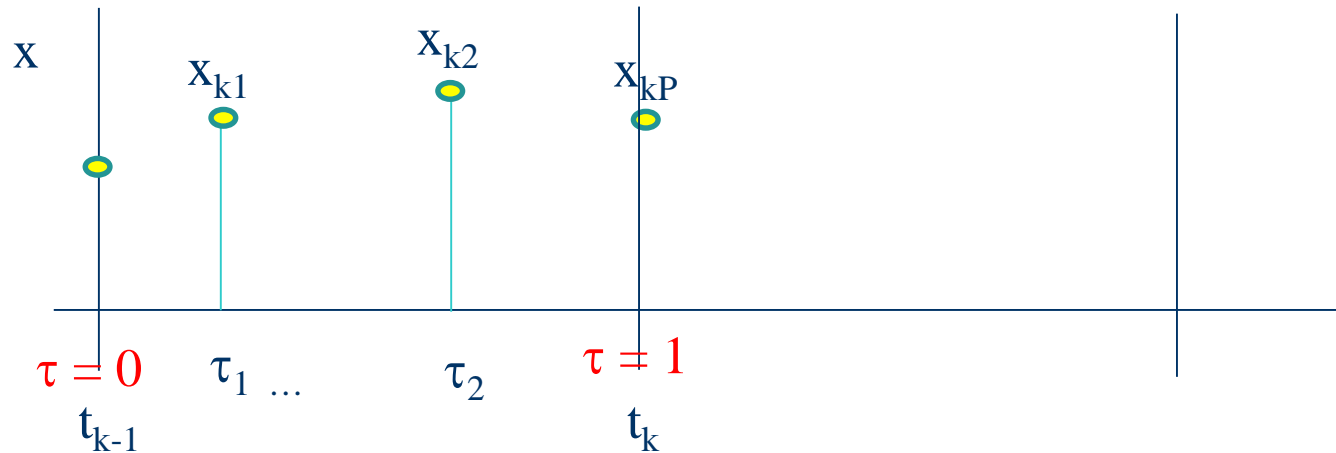
Integrar entre $t = 0$ y 1

$$\dot{x} = x^2 - 2x + 1 \quad x(0) = -3$$

Se seleccionan $K = 2$ elementos finitos de igual tamaño

$$\Delta_k = (1 - 0)/2 = 0.5$$

$P = 3$ puntos de colocación



Los puntos de colocación de Radau para $P = 3$ son:

$$\tau_0 = 0 \quad \tau_1 = 0.155051 \quad \tau_2 = 0.644949 \quad \tau_3 = 1$$



Ejemplo

$$P_j(\tau) = \prod_{i=0, i \neq j}^P \frac{\tau - \tau_i}{\tau_j - \tau_i}$$

Los puntos de colocación de Radau para $P=3$ son:
 $\tau_0 = 0$ $\tau_1 = 0.155051$ $\tau_2 = 0.644949$ $\tau_3 = 1$

$$P_0 = \frac{\tau - \tau_1}{\tau_0 - \tau_1} \frac{\tau - \tau_2}{\tau_0 - \tau_2} \frac{\tau - \tau_3}{\tau_0 - \tau_3} = -10\tau^3 + 18\tau^2 - 9\tau + 1$$

$$P_1 = \frac{\tau - \tau_0}{\tau_1 - \tau_0} \frac{\tau - \tau_2}{\tau_1 - \tau_2} \frac{\tau - \tau_3}{\tau_1 - \tau_3} = 15.5808 \tau^3 - 25.6296\tau^2 + 10.0488\tau$$

$$P_2 = \frac{\tau - \tau_0}{\tau_2 - \tau_0} \frac{\tau - \tau_1}{\tau_2 - \tau_1} \frac{\tau - \tau_3}{\tau_2 - \tau_3} = -8.9141\tau^3 + 10.2963\tau^2 - 1.3821\tau$$

$$P_3 = \frac{\tau - \tau_0}{\tau_3 - \tau_0} \frac{\tau - \tau_1}{\tau_3 - \tau_1} \frac{\tau - \tau_2}{\tau_3 - \tau_2} = 3.3333\tau^3 - 2.6667\tau^2 + 0.3333\tau$$

$$\mathbf{x}(t_{k-1} + \tau_j \Delta_k) = \mathbf{x}_{kj} \quad \mathbf{x}(t) \approx \sum_{j=0}^P P_j(\tau) \mathbf{x}_{kj} \quad t = t_{k-1} + \tau \Delta_k \quad \tau \in (0,1]$$



Ejemplo

$$\dot{\mathbf{x}}(t) \approx \sum_{j=0}^P \frac{\dot{P}_j(\tau) \mathbf{x}_{kj}}{\Delta_k}$$

Los puntos de colocación de Radau para $P=3$ son:

$$\tau_0 = 0 \quad \tau_1 = 0.155051 \quad \tau_2 = 0.644949 \quad \tau_3 = 1$$

$$\dot{P}_0(\tau) = -30\tau^2 + 36\tau - 9$$

$$\dot{x} = x^2 - 2x + 1 \quad x(0) = -3$$

$$\dot{P}_1(\tau) = 46.7423\tau^2 - 51.2592\tau + 10.0488$$

$$\dot{P}_2(\tau) = -26.7423\tau^2 + 20.5925\tau - 1.3821$$

$$\dot{P}_3(\tau) = 10\tau^2 - 5.3333\tau + 0.3333$$

$$\sum_{j=0}^3 \frac{\dot{P}_j(\tau) \mathbf{x}_{kj}}{0.5} = x^2 - 2x + 1$$

$$\mathbf{x}(t_{k-1} + \tau_j \Delta_k) = \mathbf{x}_{kj}$$

$$k = 1, 2$$

$$t = t_{k-1} + \tau \Delta_k \quad \tau \in (0, 1]$$



Ejemplo

$$\dot{\mathbf{x}} = \mathbf{x}^2 - 2\mathbf{x} + 1 \quad \mathbf{x}(0) = -3 \quad \longrightarrow \quad \sum_{j=0}^3 \frac{\dot{\mathbf{P}}_j(\tau) \mathbf{x}_{kj}}{0.5} = \mathbf{x}^2 - 2\mathbf{x} + 1 \quad k = 1, 2$$

En los puntos de colocación τ_i :

$$\sum_{j=0}^3 \frac{\dot{\mathbf{P}}_j(\tau_i) \mathbf{x}_{kj}}{0.5} = \mathbf{x}_{ki}^2 - 2\mathbf{x}_{ki} + 1 \quad k = 1, 2$$
$$i = 1, \dots, 3$$

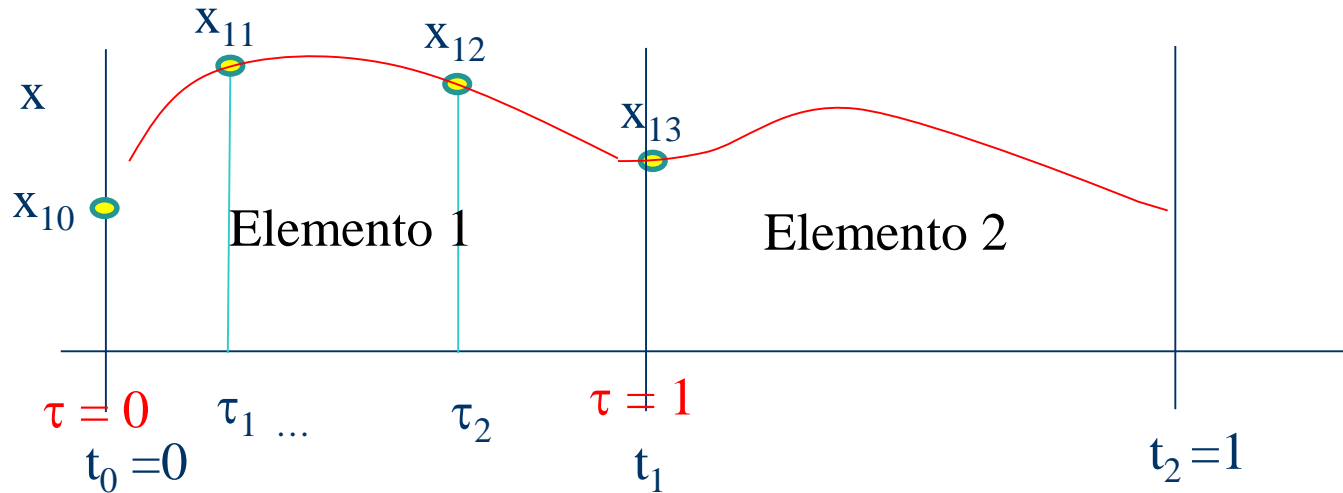
$$\begin{aligned} & (-30\tau_i^2 + 36\tau_i - 9)\mathbf{x}_{10} + (46.7423\tau_i^2 - 51.2592\tau_i + 10.0488)\mathbf{x}_{11} + \\ & + (-26.7423\tau_i^2 + 20.5925\tau_i - 1.3821)\mathbf{x}_{12} + (10\tau_i^2 - 5.3333\tau_i + 0.3333)\mathbf{x}_{13} = \\ & = 0.5(\mathbf{x}_{1i}^2 - 2\mathbf{x}_{1i} + 1) \quad i = 1, 2, 3 \end{aligned}$$

$$\begin{aligned} & (-30\tau_i^2 + 36\tau_i - 9)\mathbf{x}_{20} + (46.7423\tau_i^2 - 51.2592\tau_i + 10.0488)\mathbf{x}_{21} + \\ & + (-26.7423\tau_i^2 + 20.5925\tau_i - 1.3821)\mathbf{x}_{22} + (10\tau_i^2 - 5.3333\tau_i + 0.3333)\mathbf{x}_{23} = \\ & = 0.5(\mathbf{x}_{2i}^2 - 2\mathbf{x}_{2i} + 1) \quad i = 1, 2, 3 \end{aligned}$$

8 incógnitas, 6 ecuaciones



Ejemplo



$$\mathbf{x}(t_k) = \mathbf{x}_{k+1,0} = \mathbf{x}_{k,P} = \sum_{j=0}^P P_j(1) \mathbf{x}_{k,j}$$

$$\mathbf{x}(0.5) = \mathbf{x}_{20} = \mathbf{x}_{13} = \sum_{j=0}^3 P_j(1) \mathbf{x}_{1j}$$

$$\mathbf{x}(t_0) = \mathbf{x}_{10} = \mathbf{x}_0$$

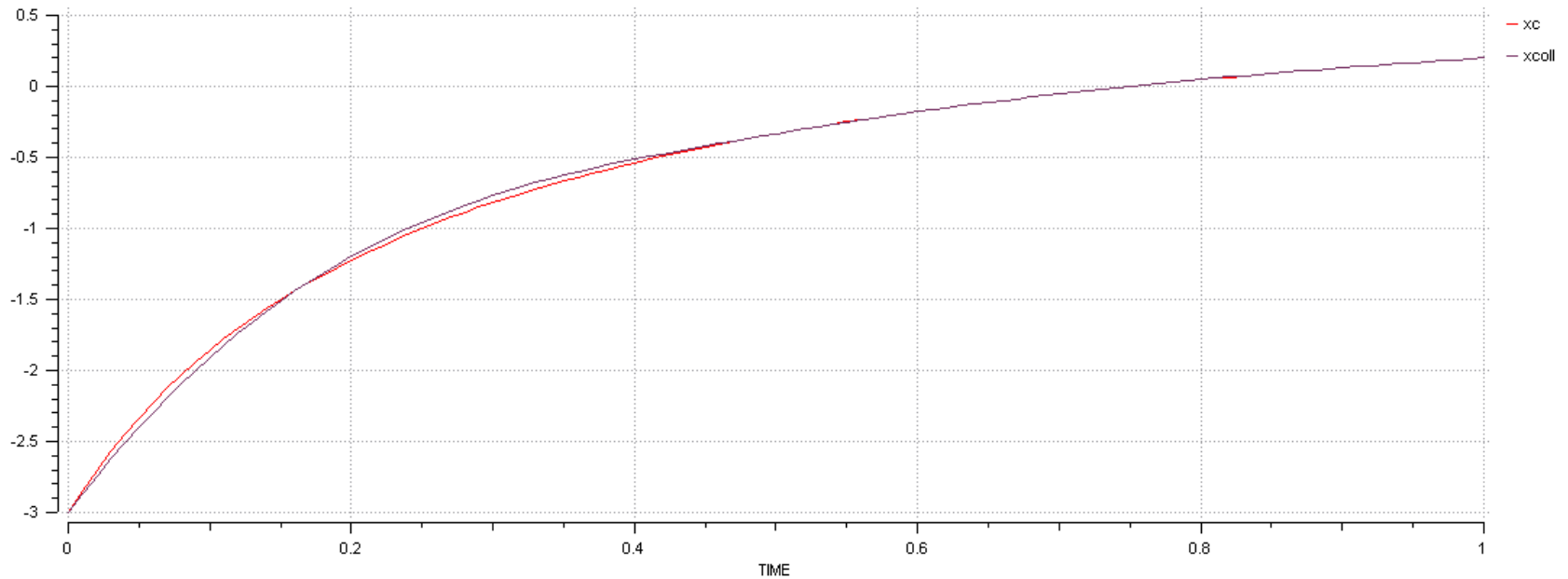
$$\mathbf{x}(0) = \mathbf{x}_{10} = -3$$

8 incógnitas, 8 ecuaciones

Las condiciones iniciales y de continuidad proporcionan las otras dos ecuaciones



Ejemplo



$$\dot{x} = x^2 - 2x + 1 \quad x(0) = -3$$



P = 2

The Radau collocation points for P = 2 are:

$$\tau_0 = 0 \quad \tau_1 = 0.333333 \quad \tau_2 = 1$$

$$P_j(\tau) = \prod_{i=0, i \neq j}^P \frac{\tau - \tau_i}{\tau_j - \tau_i}$$

$$P_0 = \frac{\tau - \tau_1}{\tau_0 - \tau_1} \frac{\tau - \tau_2}{\tau_0 - \tau_2} = 3\tau^2 - 4\tau + 1 \quad \dot{P}_0 = 6\tau - 4$$

$$P_1 = \frac{\tau - \tau_0}{\tau_1 - \tau_0} \frac{\tau - \tau_2}{\tau_1 - \tau_2} = -4.5\tau^2 + 4.5\tau \quad \dot{P}_1 = -9\tau + 4.5$$

$$P_2 = \frac{\tau - \tau_0}{\tau_2 - \tau_0} \frac{\tau - \tau_1}{\tau_2 - \tau_1} = 1.5\tau^2 - 0.5\tau \quad \dot{P}_2 = 3\tau - 0.5$$

$$\mathbf{x}(t_{k-1} + \tau_j \Delta_k) = \mathbf{x}_{kj}$$



Derivative of $P_j(\tau)$ at τ_i

$P= 3$, Radau

Values of the derivative of $P_j(\tau)$ at τ_i can be precomputed for different orders of P

	τ_0	τ_1	τ_2	τ_3
\dot{P}_0	-9.000001008080126	-4.139388773624379	1.739387967160278	-3.000000252020032
\dot{P}_1	10.048810106494384	3.224746191683931	-3.567840077120938	5.531972415060629
\dot{P}_2	-1.382142403745367	1.167839841902244	0.775254648382856	-7.531972331053937
\dot{P}_3	0.333333305331110	-0.253197259961796	1.053197461577804	5.000000168013340

$P= 2$, Radau

	τ_0	τ_1	τ_2
\dot{P}_0	-4	-2	2
\dot{P}_1	4.5	1.5	-4.5
\dot{P}_2	-0.5	0.5	2.5



Software: GAMS

The screenshot displays the GAMS software interface. The left pane shows the GAMS model code for 'caldera.gms', and the right pane shows the execution log.

```
caldera.gms
caldera.lst

Variables
z  funcion objetivo;

Positive Variables
x1, x2, x3;

Equations
energia  define la funcion objetivo
potencia energia producida por hora
emisiones limite de emisiones;

energia..  z =e= 55*x1 + 41*x2 + 28*x3;
potencia.. 61*x1 + 45*x2 + 38*x3 =e= 14.4;
emisiones.. -2.38*x1 - 2.05*x2 + 0.3*x3 =1= 0;

Model caldera /all/;

Solve caldera using lp minimizing z;

Display x1.1, x2.1, x3.1;
```

```
caldera
--- caldera.gms(22) 3 Mb
--- 3 rows 4 columns 10 non-zeros
--- Executing CPLEX: elapsed 0:00:00.066

IBM ILOG CPLEX Jul 4, 2012 23.9.5 WEX 36376.36401 WEI x86_64/MS Windows
Cplex 12.4.0.1

Reading data...
Starting Cplex...
Tried aggregator 1 time.
LP Presolve eliminated 1 rows and 1 columns.
Reduced LP has 2 rows, 3 columns, and 6 nonzeros.
Presolve time = 0.00 sec.

Iteration    Dual Objective      In Variable      Out Variable
1            10.610526           x3               potencia artif
2            10.981182           x2               emisiones slack

LP status(1): optimal

Optimal solution found.
Objective :      10.981182

--- Restarting execution
--- caldera.gms(22) 2 Mb
--- Reading solution for model caldera
--- Executing after solve: elapsed 0:00:00.318
--- caldera.gms(24) 2 Mb
*** Status: Normal completion
--- Job caldera.gms Stop 11/19/12 17:06:32 elapsed 0:00:00.323
```

Entornos de modelado y optimización como GAMS, AIMMS, XPRESS, Gurobi,... pueden usarse tras la discretización

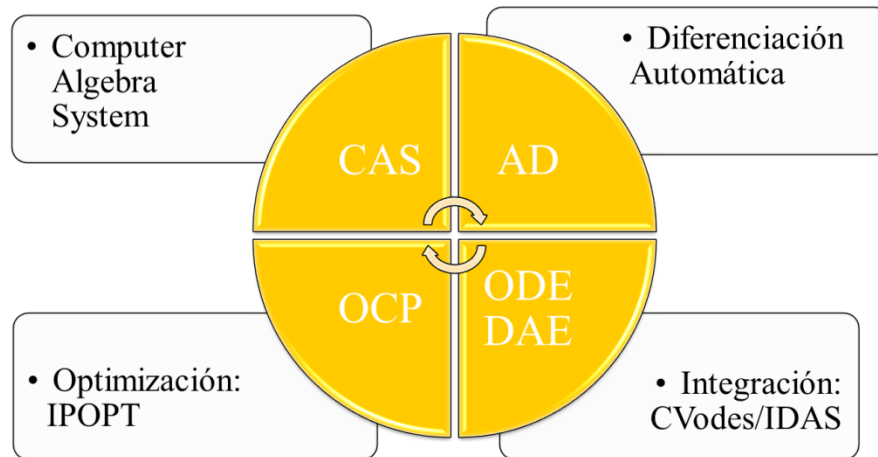


Software

CasADi es un entorno simbólico para optimización numérica que facilita la discretización e implementa diferenciación automática (gradientes y Hessianos).

Genera código C e implementa interfaces a códigos DAE y de optimización como SUNDIALS, IPOPT etc.

Se gestiona desde una interfaz con Python



Solución eficiente de problemas de gran escala

Pero no soporta:

- Discontinuidades
- Optimización mixta-entera

Problemas de memoria

Entorno pobre de modelado

Computational Infrastructure for Operations Research (COIN-OR) Open source codes

Sensibilidades paramétricas



Diferenciación Automática

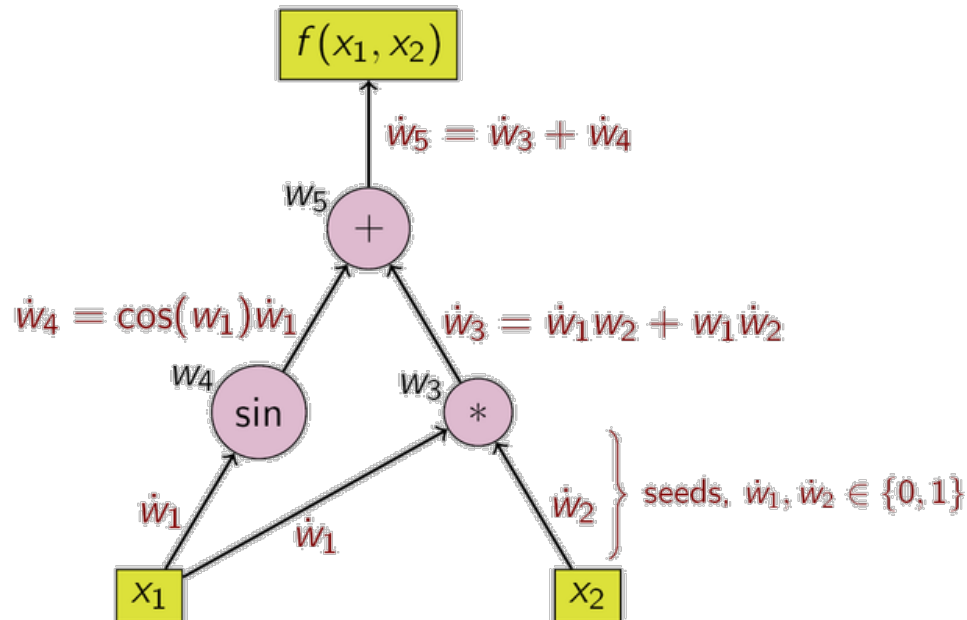
Ejemplo::

$$f = x_1 x_2 + \sin(x_1)$$

$$¿ \frac{\partial f}{\partial x_1} ?$$

Assignment	Derivatives
$w_1 = x_1$	$w_1' = 1$ (<i>seed</i>)
$w_2 = x_2$	$w_2' = 0$ (<i>seed</i>)
$w_3 = w_1 w_2$	$w_3' = w_1' w_2 + w_1 w_2' = x_2$
$w_4 = \sin(w_1)$	$w_4' = \cos(w_1) w_1' = \cos(x_1)$
$w_5 = w_3 + w_4$	$w_5' = w_3' + w_4' = x_2 + \cos(x_1)$

Forward propagation
of derivative values

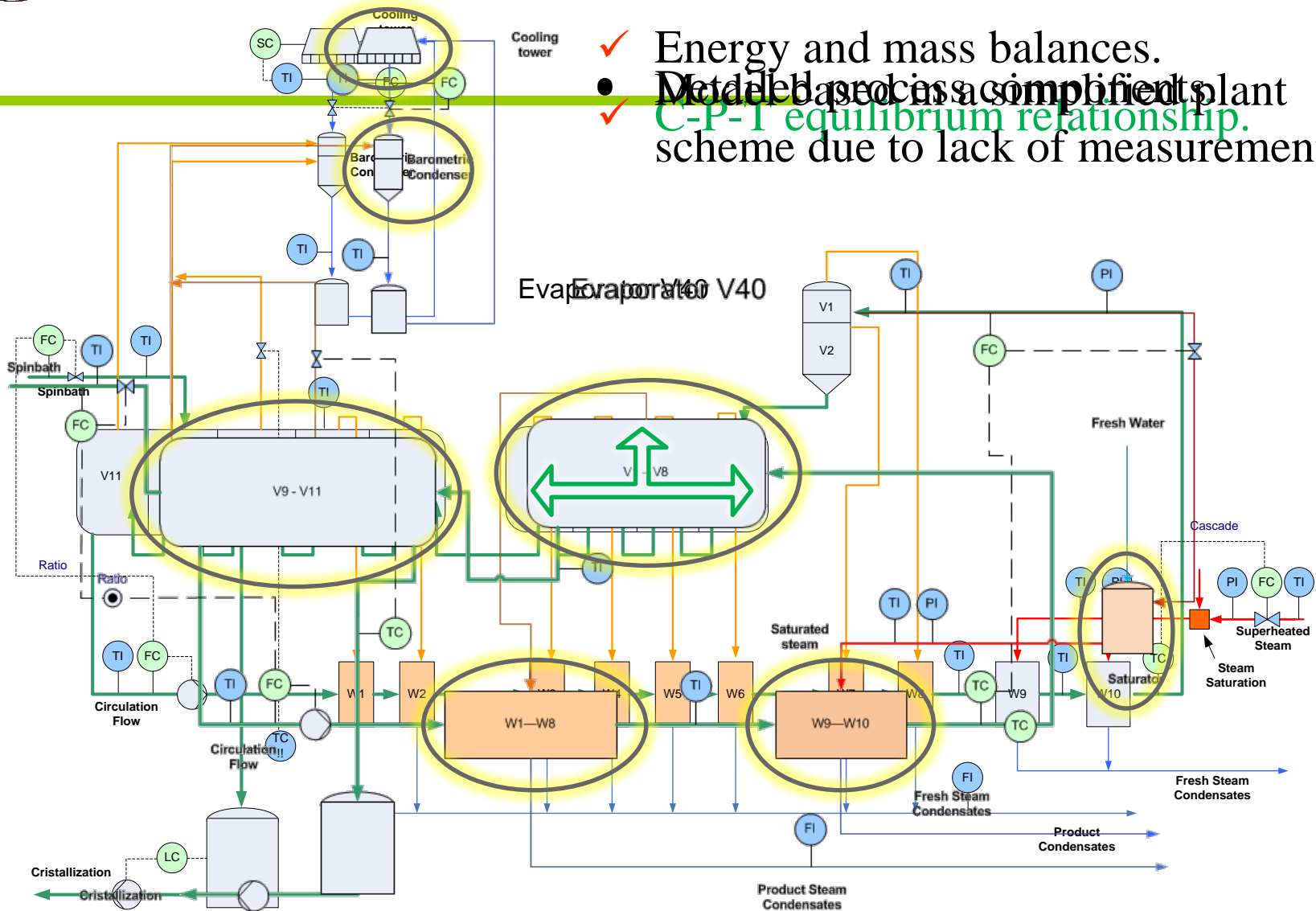




Evaporación, papelera



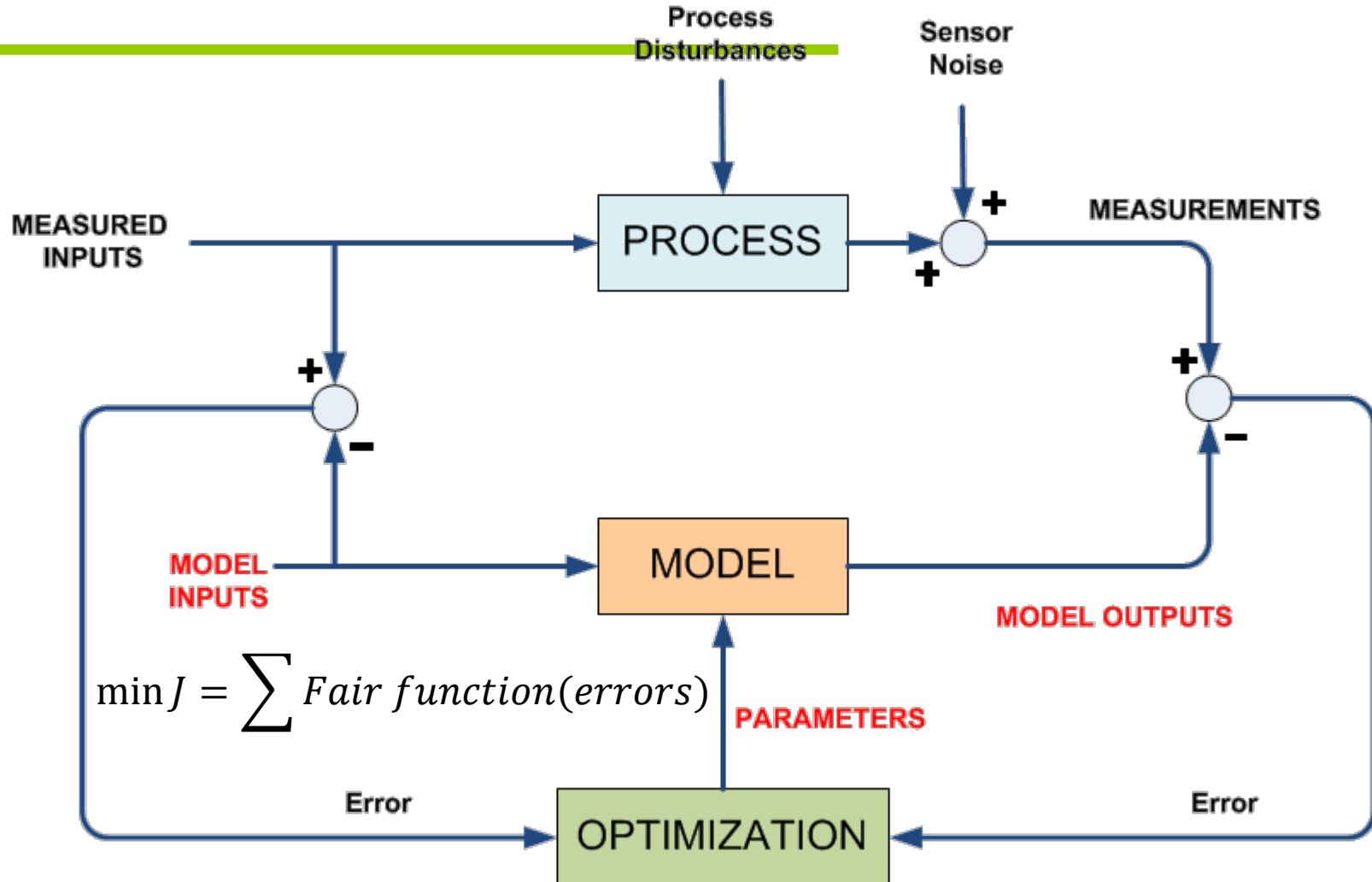
- ✓ Energy and mass balances.
- Model based process is a simplified plant scheme due to lack of measurements.
- ✓ C-P-T equilibrium relationship.



Objetivo: Operar la planta con consumo específico de vapor mínimo 78

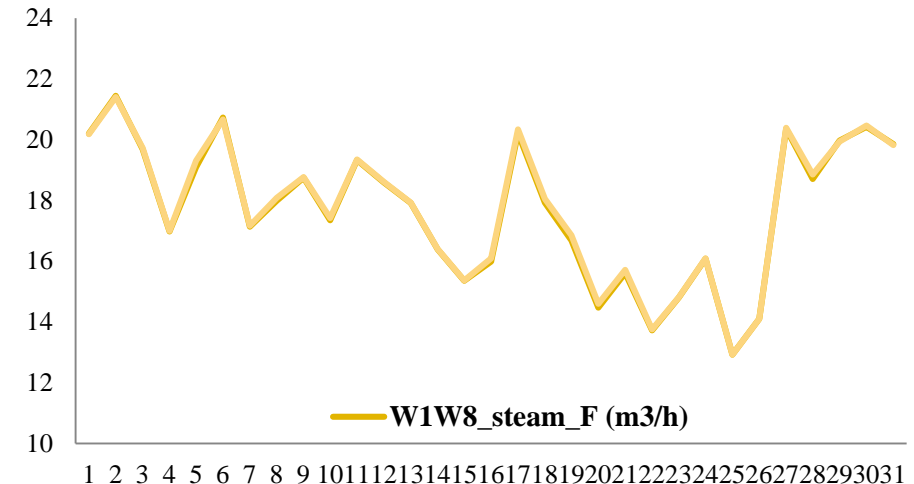
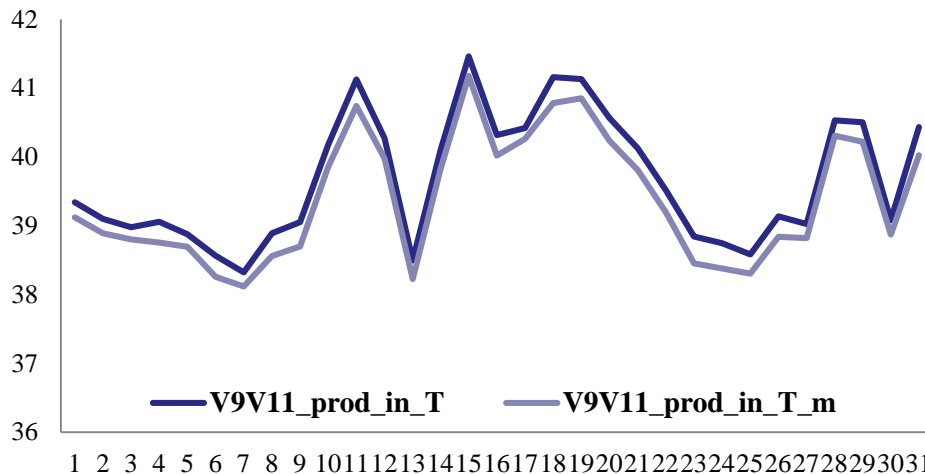
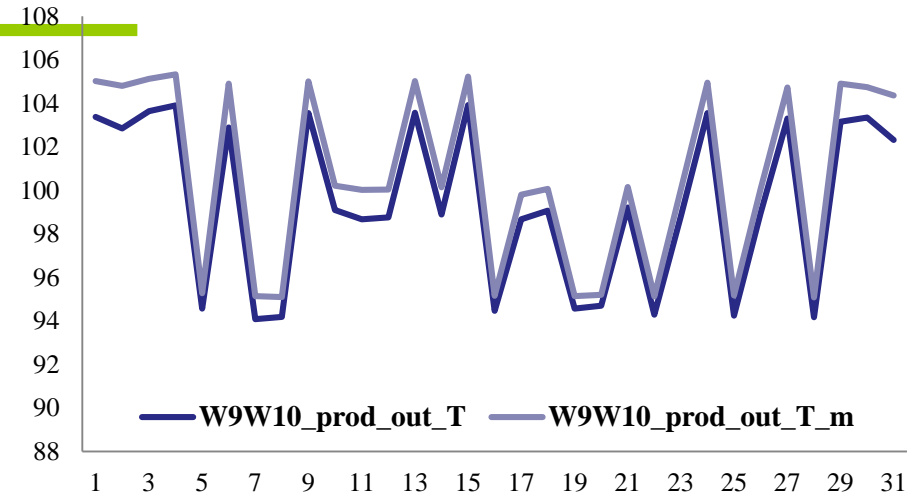
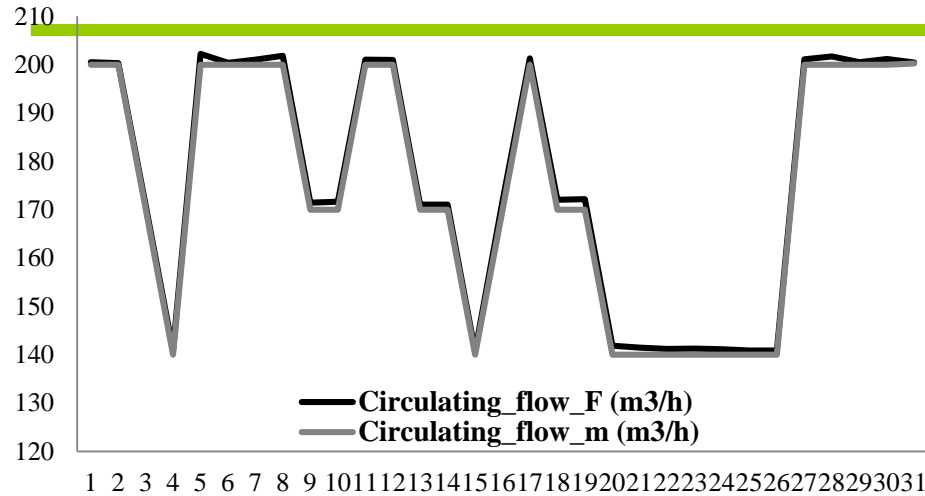


Data reconciliation





Data reconciliation



Measurement fitness



RTO



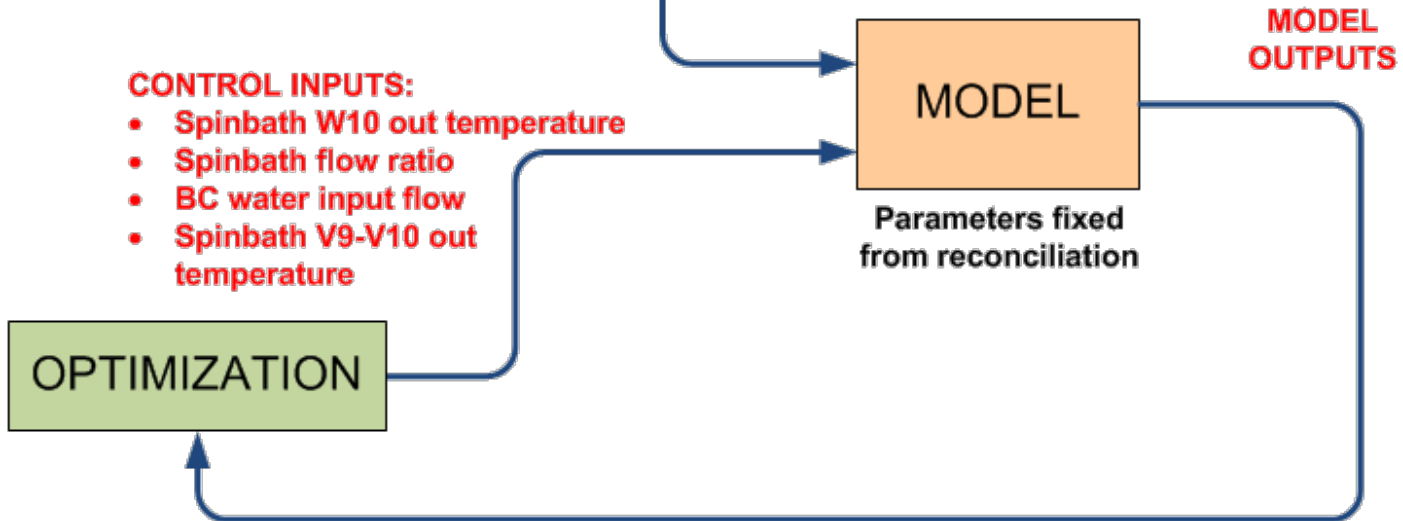
$\min J = \text{Specific steam consumption}$
s.t. $\text{Evaporation rate} \geq \text{target}$
Fixed cooling capacity in the tower

EXTERNAL INPUTS:

- Spinbath input flow
- Spinbath input temperature
- Overheated steam temperature
- Overheated steam pressure
- Saturator water temperature

CONTROL INPUTS:

- Spinbath W10 out temperature
- Spinbath flow ratio
- BC water input flow
- Spinbath V9-V10 out temperature

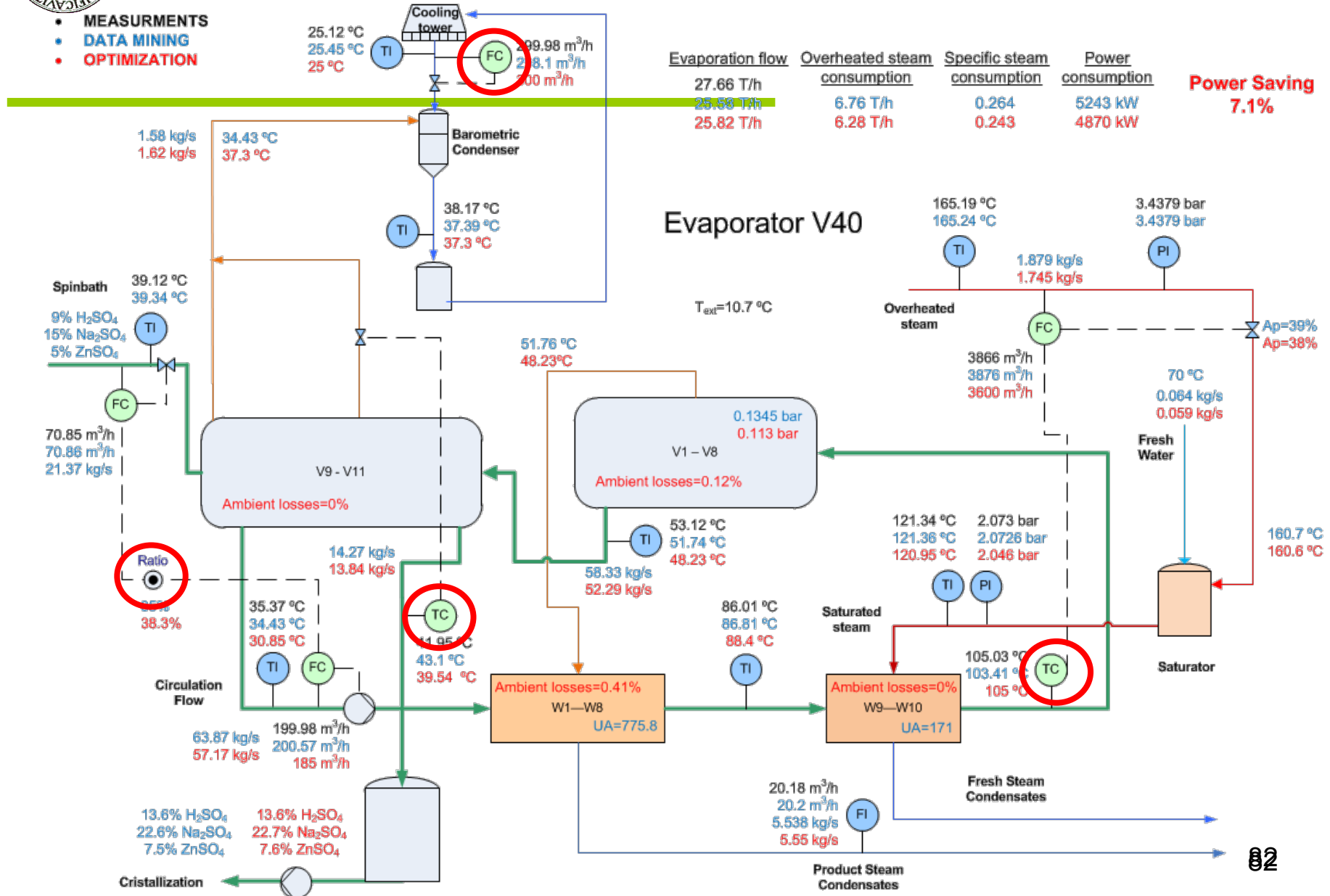




RTO

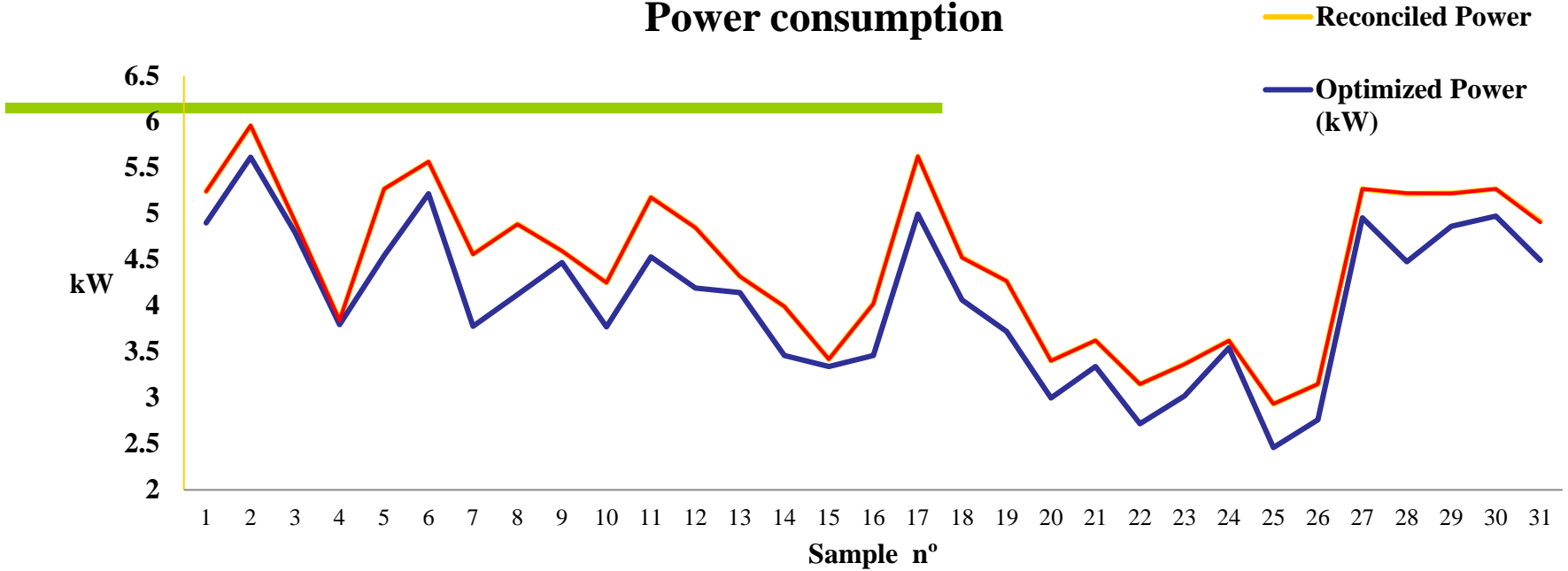


- MEASUREMENTS
- DATA MINING
- OPTIMIZATION

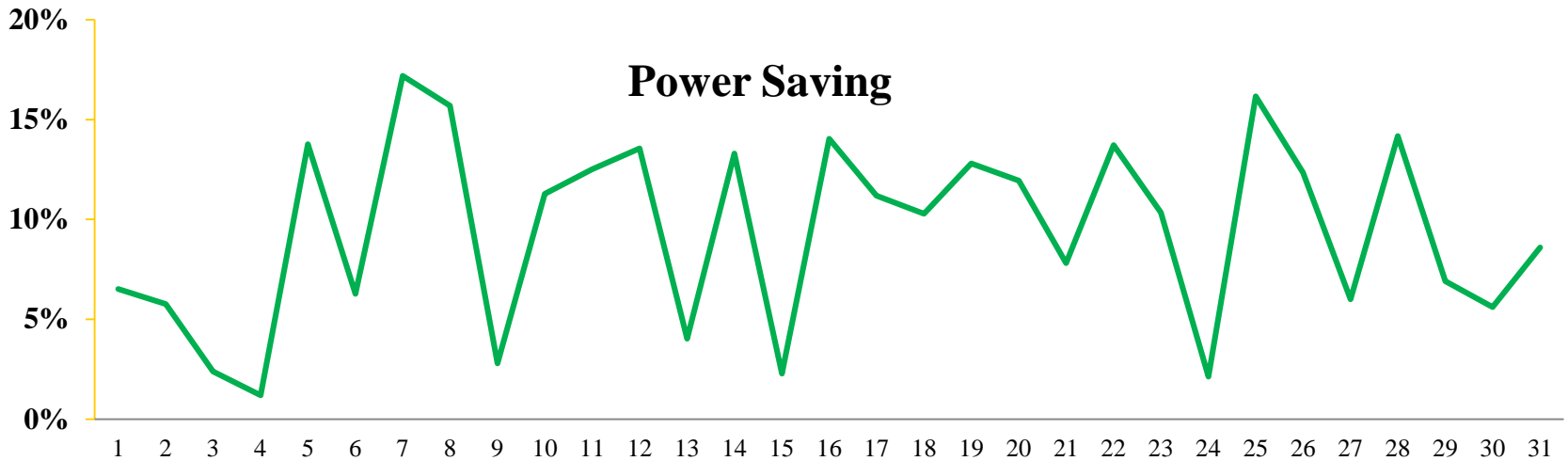




Power consumption

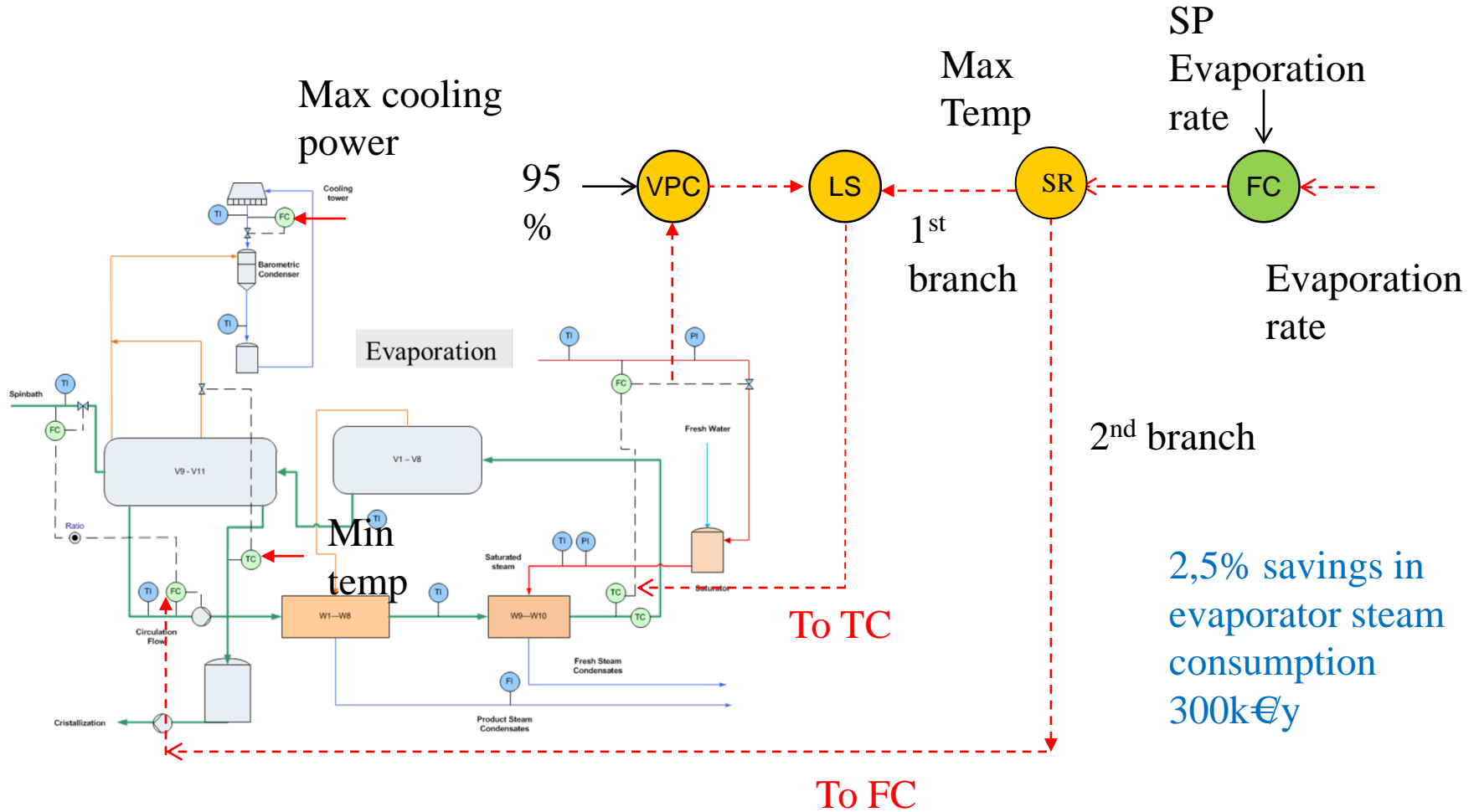


Power Saving





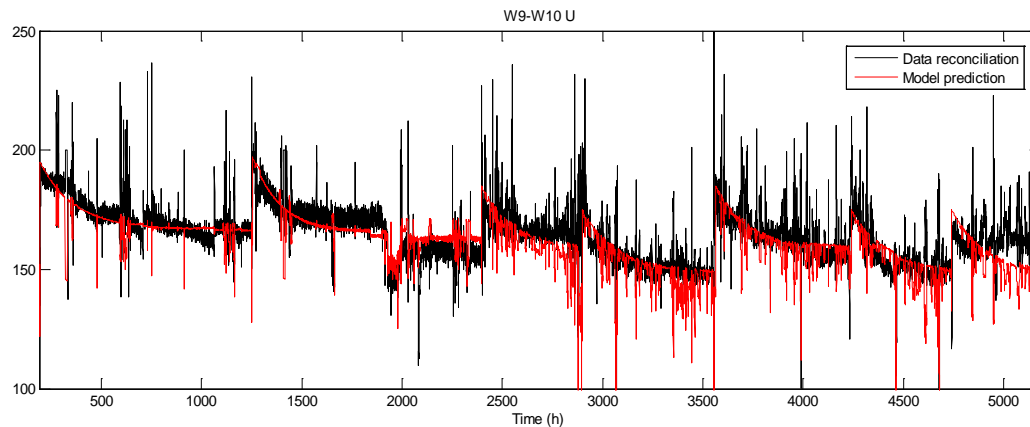
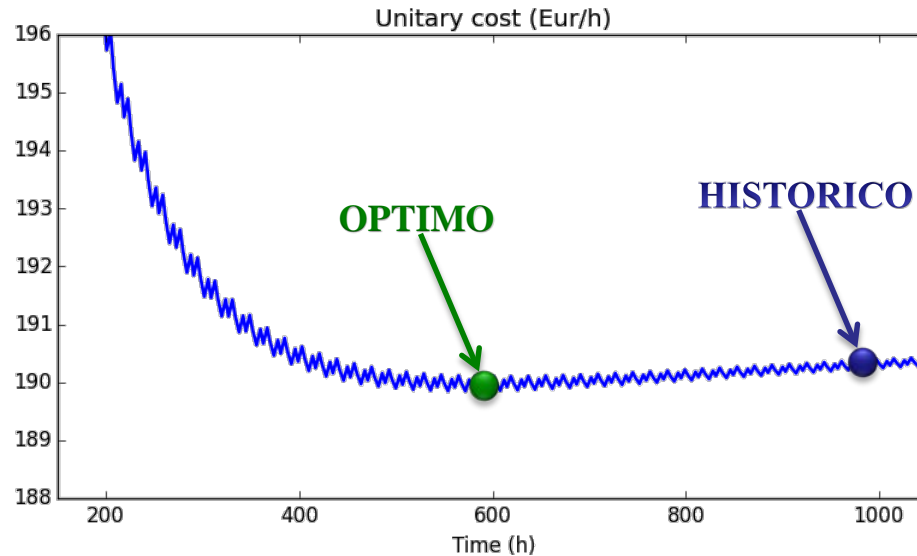
Implementación como sistema de control



2,5% savings in evaporator steam consumption
300k€/y

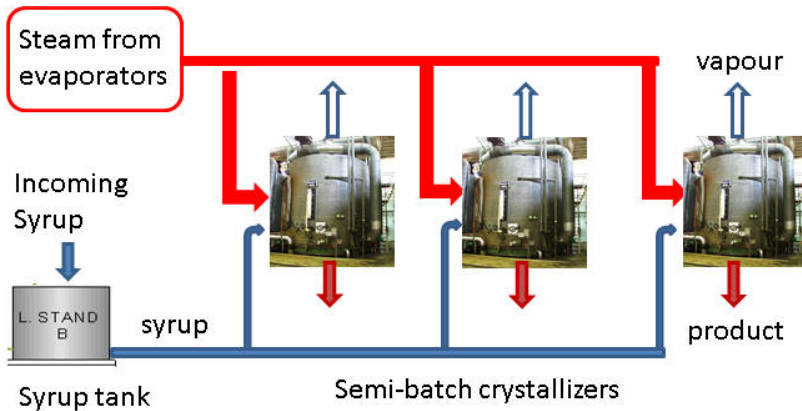


Ensuciamiento / Limpiezas





Problemas abiertos: Sistemas híbridos /Estructura variable



Discontinuidades en las derivadas

En algún caso se pueden transformar en NLP

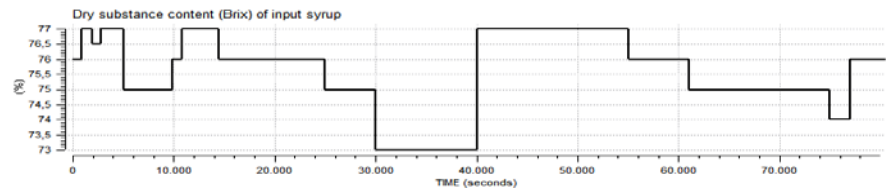
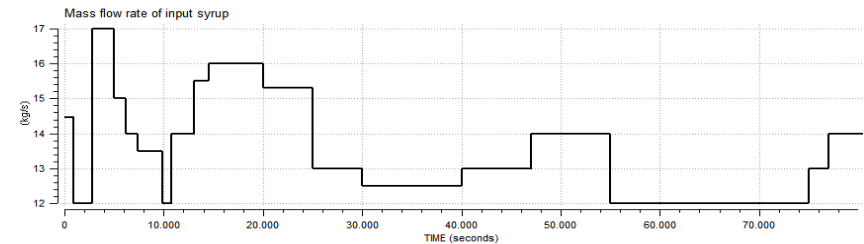
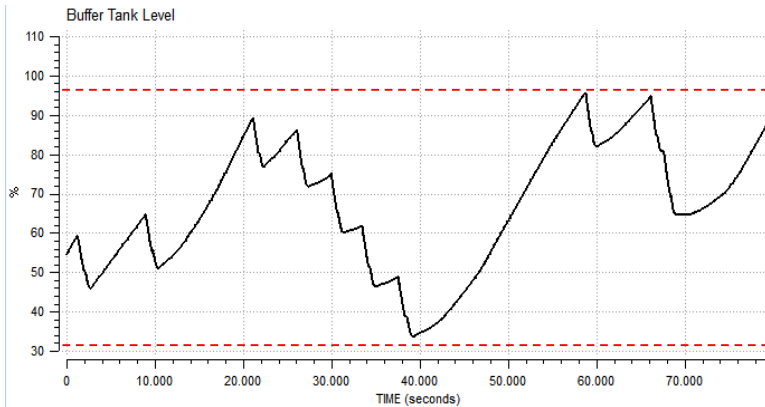
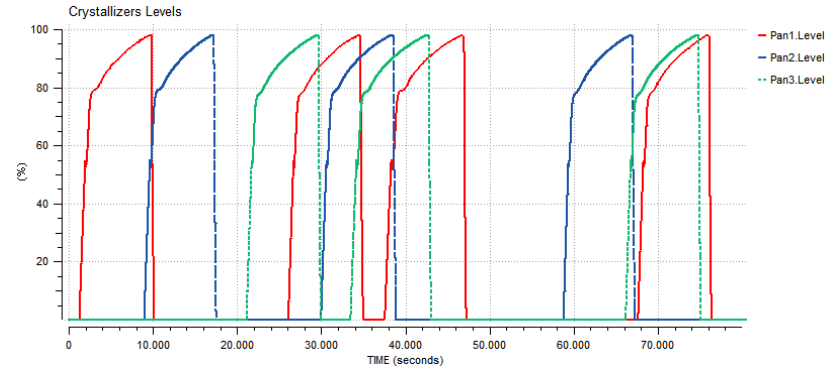
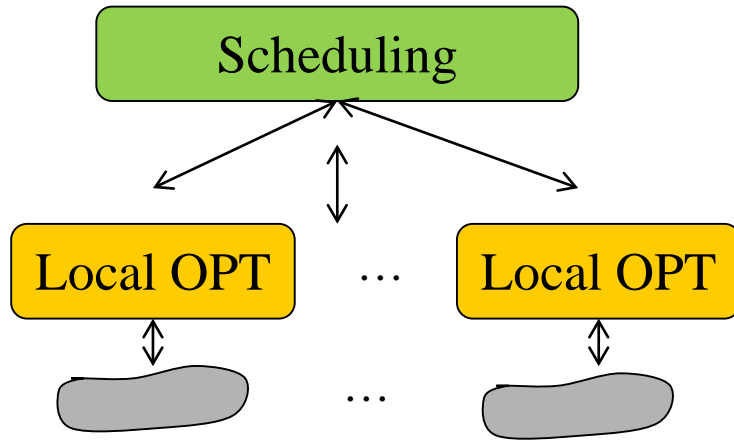
Formulación como problemas MINLP

Descomposición jerárquica en varios tipos de problemas:
Scheduling, optimización local, etc

Scheduling + control óptimo local de los cristalizadores + recursos compartidos + optimización energética / producción



Explotar la estructura para descomponer el problema





Incertidumbre modelo / proceso

$$\min_u J(u) = \int_0^T L(x, u) dt$$

$$F(\dot{x}, x, u) = 0$$

$$g(x, u) \leq 0$$



La optimización calcula el óptimo del modelo, no del proceso

¿Qué ocurre si el modelo no es correcto?

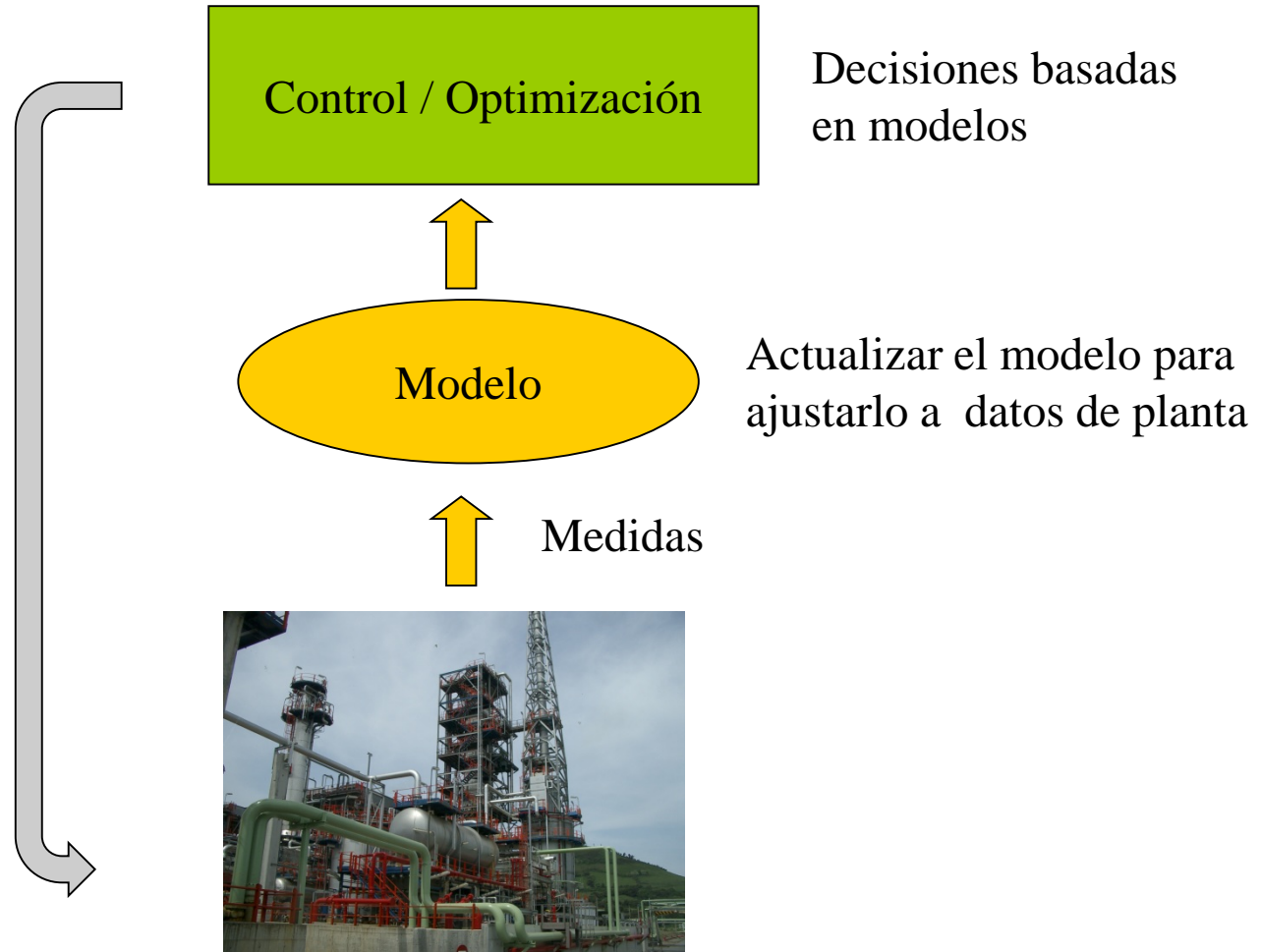
¿Cómo se toman en cuenta las perturbaciones, incertidumbres, etc.?

Enfoques:

- ✓ **Actualizar el modelo**
- ✓ **Modificar la formulación de la optimización**
- ✓ **Optimización estocástica / robusta**



Actualización del modelo





Reconciliación de datos y parámetros

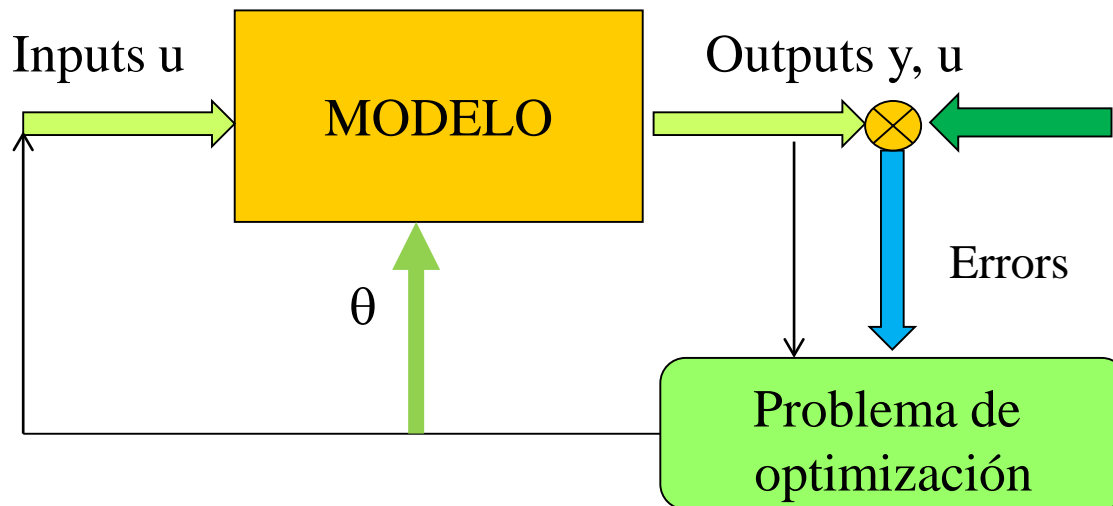


- ✓ Algunas medidas no son consistentes o fiables
- ✓ Hay variables no medidas y parámetros desconocidos
- ✓ Se necesita un cierto grado de redundancia

$$\min_{u, y, \theta} \sum_{i=1}^{N_{\text{measured}}} \alpha_i (y_i - y_{m,i})^2 + \beta_i (u_i - u_{m,i})^2$$

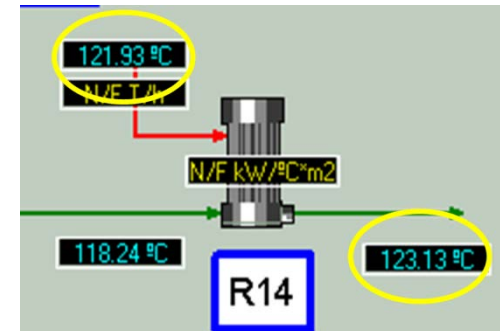
$$\frac{dx}{dt} = f(x, u, \theta) \quad y = h(x, u, \theta)$$

$$g(x, y, u, \theta) \leq 0$$



Valores reconciliados →

Medidas
 y_m, u_m

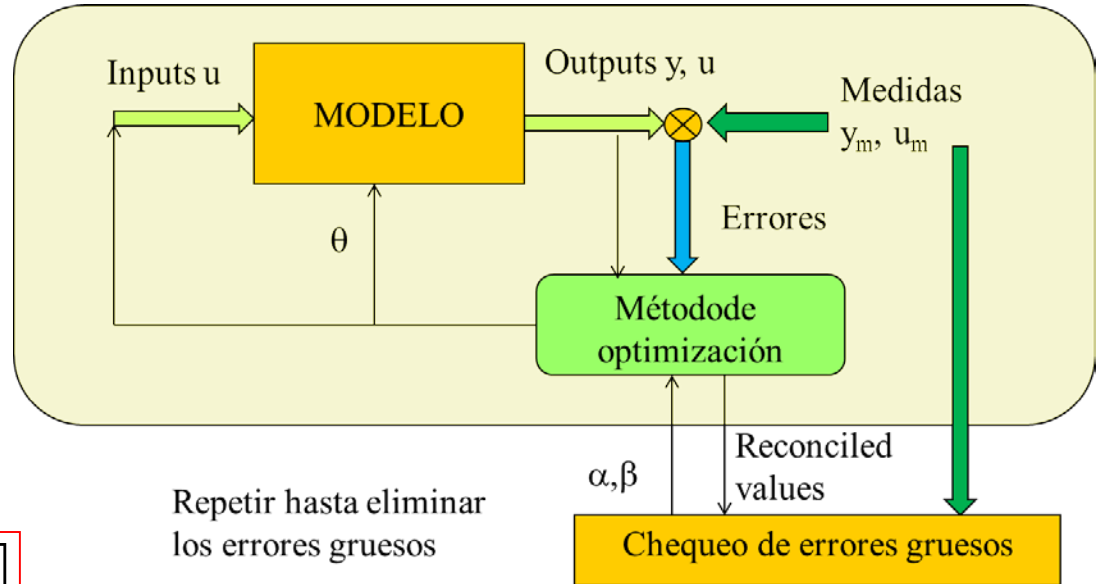




Errores gruesos

La reconciliación de datos se suele plantear en estado estacionario junto al RTO

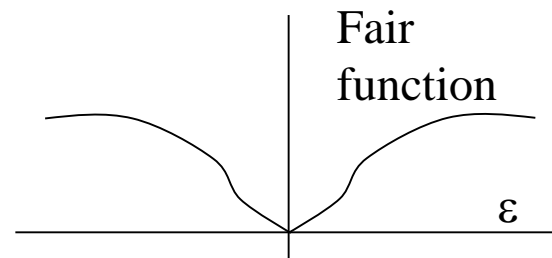
Estimadores robustos



$$\min_x \sum_{j \in M} c^2 \left[\frac{|\varepsilon_j|}{c} - \log \left(1 + \frac{|\varepsilon_j|}{c} \right) \right]$$

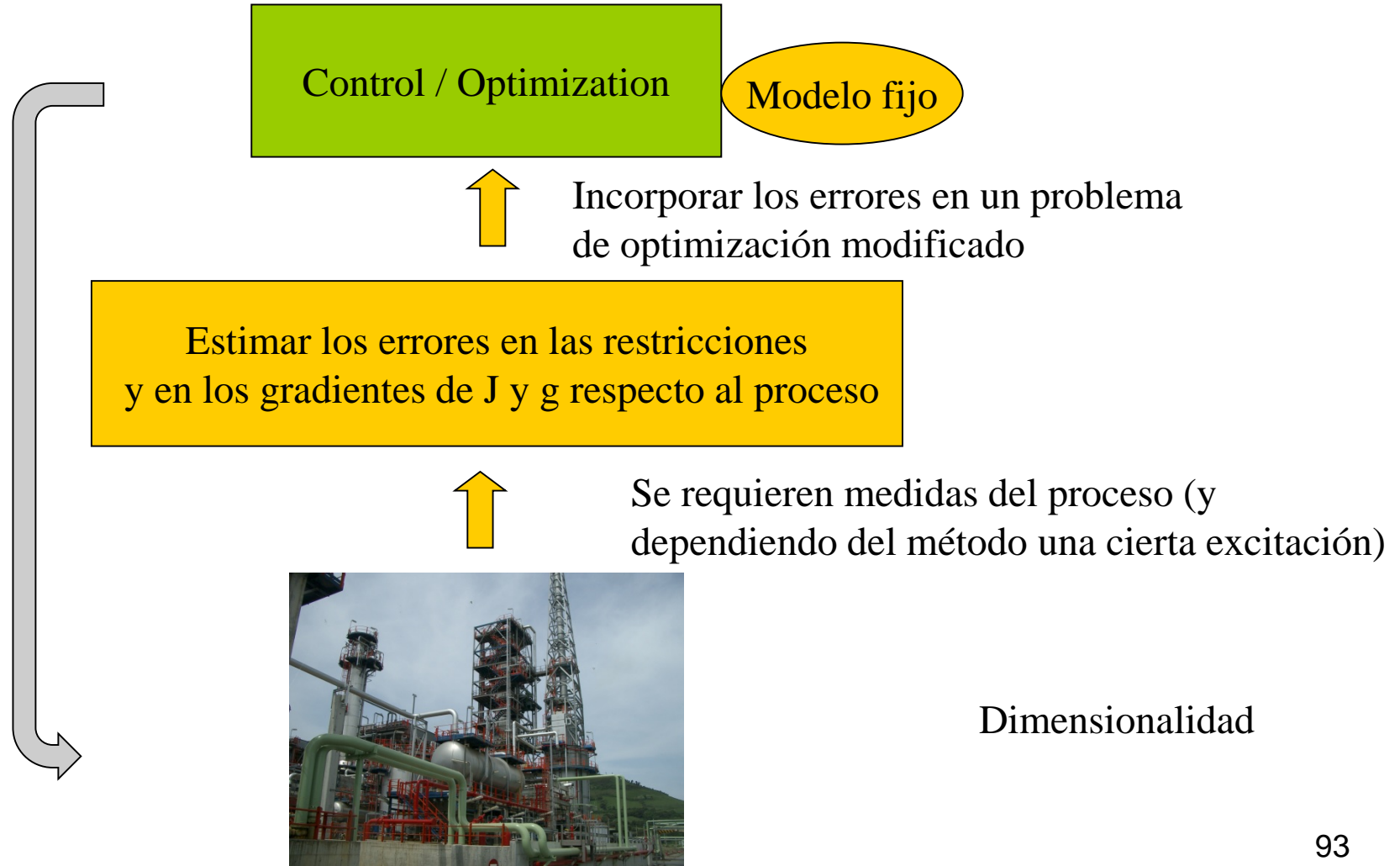
$$\varepsilon_j = \frac{X_j - X_{mj}}{\sigma}$$

$$f_i(x) = 0$$



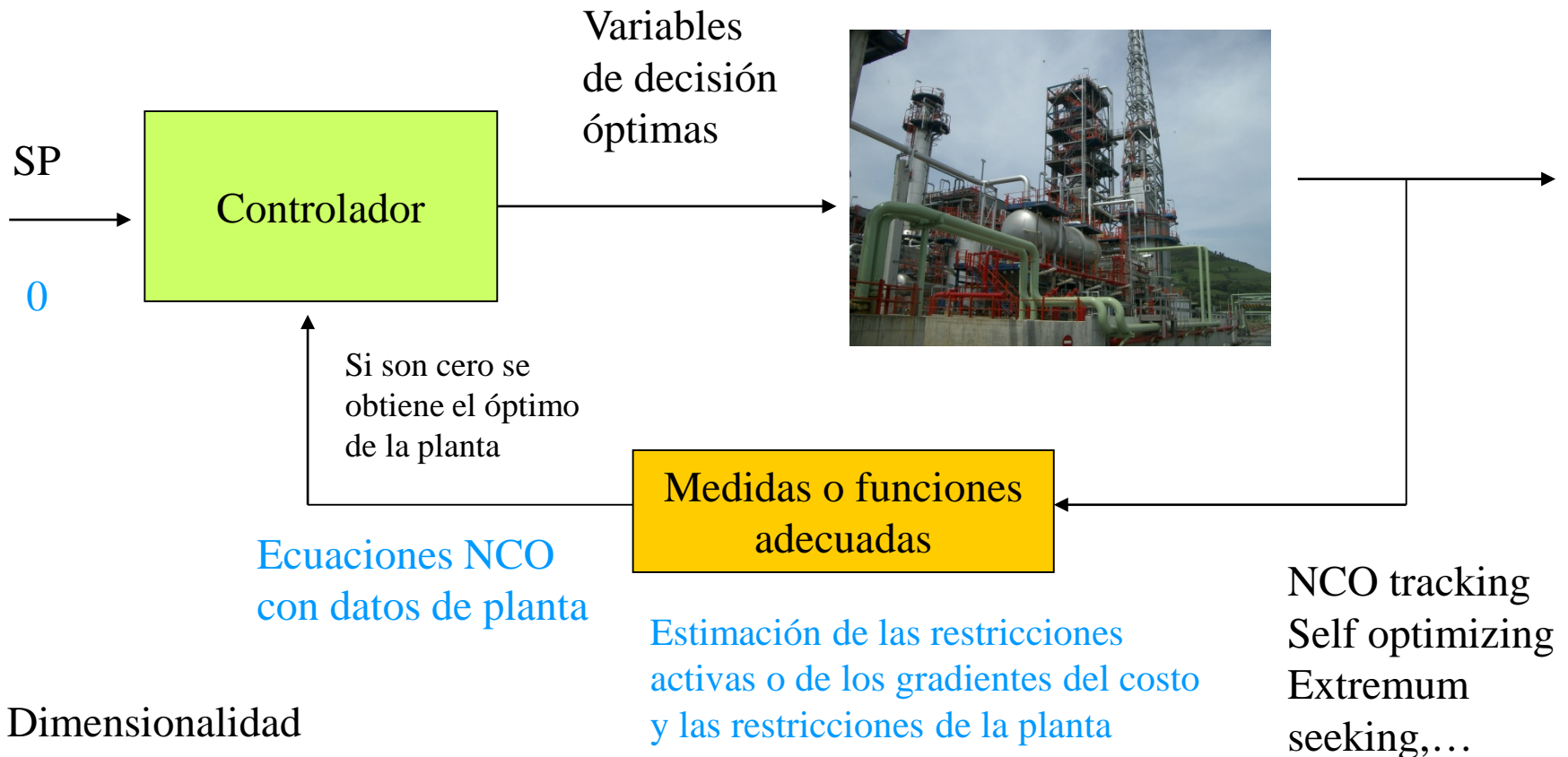


Modifier adaptation





Transformarlo en un problema de control equivalente





Optimización estocástica

$$\min_u J(\mathbf{x}, \mathbf{u}, \xi)$$

$$\frac{d\mathbf{x}}{dt} = \mathbf{f}(\mathbf{x}, \mathbf{u}, \xi)$$

$$\mathbf{h}(\mathbf{x}, \mathbf{u}, \xi) = \mathbf{0}$$

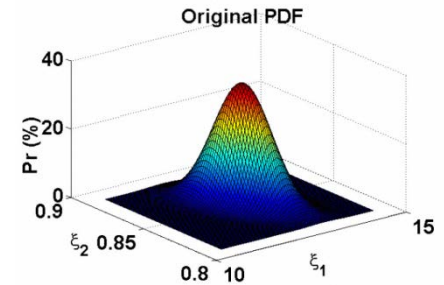
$$\mathbf{g}(\mathbf{x}, \mathbf{u}, \xi) \leq \mathbf{0}$$

ξ Variable estocástica
con una distribución
de probabilidad

Optimización estocástica

Algunas de las variables son de naturaleza estocástica

- ✓ Chance constraints
- ✓ Escenarios
- ✓ Optimización de dos etapas
-



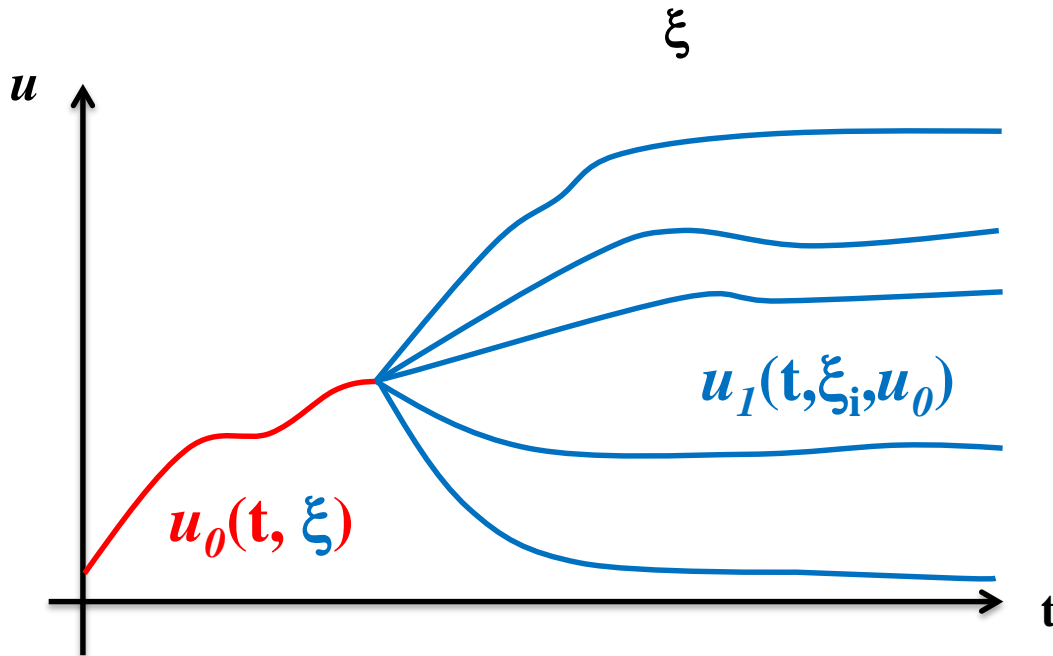
Optimización robusta

$$\min_u \max_{\xi} J(\mathbf{u}, \xi)$$

Solución del
peor caso



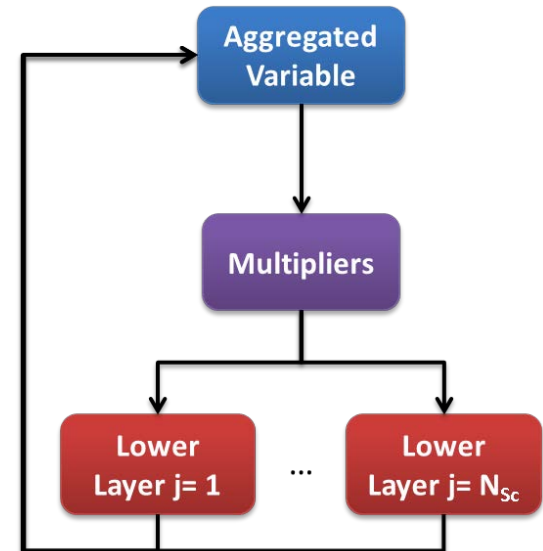
Optimización estocástica multietapa



Tras un tiempo, la nueva información disponible permite determinar la incertidumbre ξ y, por tanto, aplicar un control específico u_1 para esa incertidumbre en la segunda etapa, dando lugar a soluciones menos conservadoras. u_0

Se consideran una serie de escenarios

Enfoques centralizados /
Lagrangiano aumentado



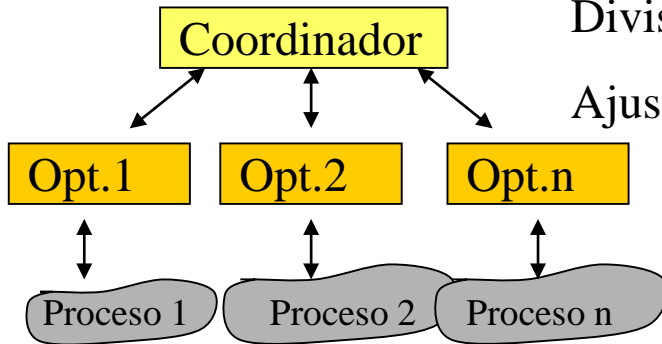


¿Calculo distribuido?

Paralelización

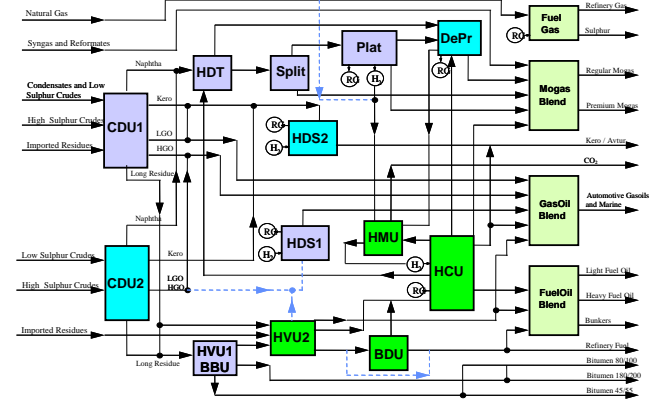


Jerárquicos



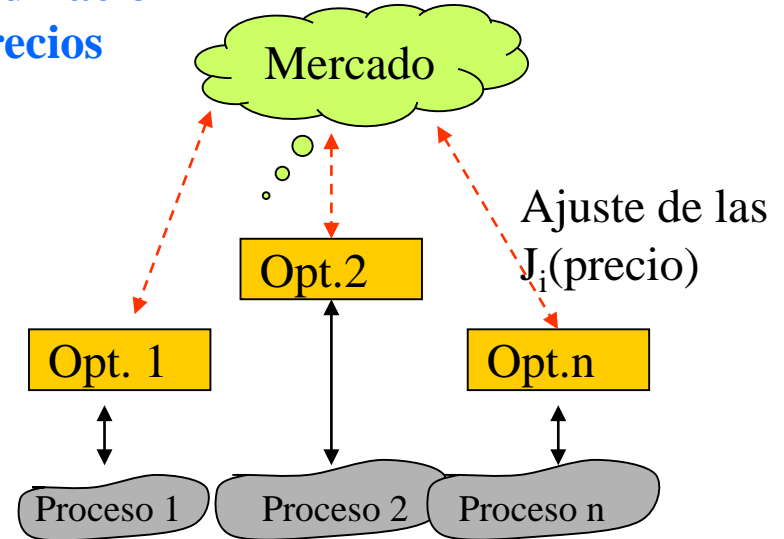
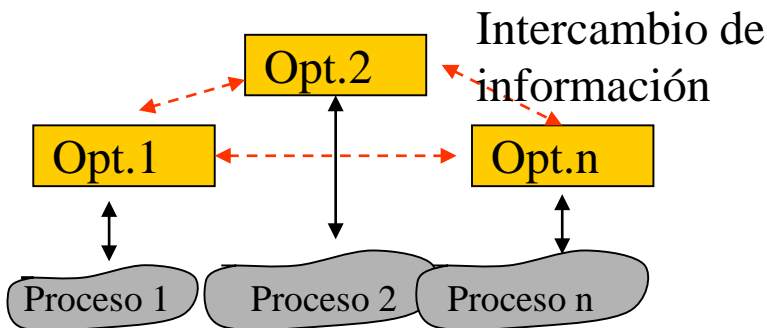
División funcional

Ajuste de consignas, tareas



Coordinación de precios

Distribuidos





Gracias por vuestra atención